

**Rapport 92.232**

**Foreløpig tolkning av aeromagnetiske  
og gravimetriske data fra  
kontinentalsokkelen utenfor Troms**



Postboks 3006 - Lade  
7002 TRONDHEIM  
Tlf. (07) 90 40 11  
Telefax (07) 92 16 20

## RAPPORT

Rapport nr. 92.232	ISSN 0800-3416	Gradering: Fortrolig til 20. juni 97
<b>Tittel:</b> Foreløpig tolkning av aeromagnetiske og gravimetriske data fra kontinentsokkelen utenfor Troms		
<b>Forfatter:</b> Arild Gundersen og Odleiv Olesen		<b>Oppdragsgiver:</b> Norsk Hydro, Oljedirektoratet, Statoil og NGU
<b>Fylke:</b> Troms og Finnmark		<b>Kommune:</b>
Kartbladnavn (M=1:250.000) Helgøy, Hammerfest og Tromsø		Kartbladnr. og -navn (M=1:50.000)
<b>Forekomstens navn og koordinater:</b>		Sidetall: 64  Pris:  Kartbilag: 7
<b>Feltarbeid utført:</b> 1991	<b>Rapportdato:</b> 16.06.92	Prosjektnr.: 61.2574.00  <b>Ansvarlig:</b>
<p><b>Sammendrag:</b></p> <p>En foreløpig tolkning av aeromagnetiske og gravimetriske data på sokkelen utenfor Troms mellom 69°30'N og 71°N presenteres. Det er fokusert på å finne et estimat av dyp til magnetisk basement og forkastninger i basement. I tillegg er det utført aeromagnetisk og gravimetrisk modellering langs profiler.</p> <p>Harstadbassenget kan være adskilt i en sørlig og en nordlig del. Det er mulig at den proterozoiske Bottenvika-Senjaforkastningssonen går i NV-SØ retning under bassenget. Dyp til magnetisk basement sør og nord for denne mulige forkastningen er henholdsvis ca. 3 km og ned mot 10 km. Mot øst avgrenses Harstadbassenget av Troms-Finnmarkforkastningskomplekset i form av forkastningsblokker i basement på 5-9 km dyp. Disse blokkene kan være roterte. Det finnes visse likhetstrekk mellom dette forkastningskomplekset og Vestfjorden-Vannaforkastningskomplekset. Fra gravimetriske data kan opptil 6 km mektige sedimenter tolkes på Finnmarkplattformen. En mulig gravimetrisk kanteffekt er observert sørover fra 17°Ø, 71°N i overgangen mellom kontinentalskråningen og kontinentsokkelen. Denne anomalien kan være overlagret en anomali som representerer en sørlig fortsettelse av Senjaryggen.</p> <p>Ved videre undersøkelser anbefales det å utføre regionalfeltseparasjon for både Bouguer- og frilufts-data, samt å intensivere prøvetaking av bergartsprøver på land slik at modelleringen på kontinentsokkelen kan forbedres. For å skille effekten av en sørlig fortsettelse av Senjaryggen fra en kanteffekt, bør man kjenne forlopet av Moho.</p>		
Emneord: Geofysikk	Berggrunnsgeologi	Petrofysikk
Magnetometri	Gravimetri	Tolkning
		Fagrappor

## INNHOLD

1 INNLEDNING .....	4
2 GEOFYSISKE DATA .....	5
2.1 Petrofysiske data .....	5
2.2 Aeromagnetiske data .....	6
2.3 Gravimetriske data .....	6
2.4 Batymetriske og topografiske data .....	7
3 TOLKNINGSMETODER .....	8
3.1 Autokorrelasjonsmetoden .....	8
3.2 Modellering .....	8
3.3 Konturkart av dyp til magnetisk basement .....	10
3.4 Strukturelt tolkningskart .....	10
4 TOLKNING OG DISKUSJON .....	11
4.1 Harstadbassenget .....	11
4.2 Troms-Finnmarkforkastningskomplekset .....	13
4.3 Finnmarkplattformen .....	15
5 KONKLUSJONER .....	16
6 REFERANSER .....	17
FORTEGNELSE OVER FIGURER .....	19
FORTEGNELSE OVER TABELLER .....	21
VEDLEGG - KART .....	21
APPENDIKS 1 .....	38
APPENDIKS 2 .....	40

## 1 INNLEDNING

Området utenfor Troms og Nordland, fra 69°30'N til 71°N er en relativt lite kjent del av den norske kontinentsokkelen. Dette er bakgrunnen for et samarbeidsprosjekt mellom Norsk Hydro, Oljedirektoratet, Statoil og Norges geologiske undersøkelse. Et område vest for Lofoten - Vesterålen er undersøkt tidligere innenfor prosjektet, "Lofoten Aeromagnetic Survey 1989, LAS-89", (Olesen og Myklebust 1989). Tidligere undersøkelser er foretatt nord for 62°N av Åm (1975), samt av Aalstad i 1965 (Åm 1970) inne i Andfjorden ved Andøya.

Hensikten med denne rapporten er å presentere et estimat av dypet til magnetiske basement og eventuelle forkastninger i basement utenfor Troms. Dypet er estimert ved bruk av autokorrelasjonsmetoden (Phillips 1975, 1978) direkte på totalmagnetiske profiler, og indirekte ved magnetisk og gravimetrisk modellering. Modelleringen foretas ved bruk av petrofysiske data fra land, og ved hjelp av tettheter fra forskjellige geologiske enheter. Disse tetthetene er hentet fra utvalgte brønner nord for 71°N, og brukes til å måle responsen fra sedimentpakkene i modellerte profiler.

Rapporten er delvis utarbeidet av Arild Gundersen i forbindelse med det såkalte 4.års prosjektet i 8. semester ved Bergavdelingen, Norges Tekniske Høgskole. Prosjektet er i sin helhet utført ved Norges geologiske undersøkelse. Rapporten inneholder konfidensielle opplysninger, og vi ber derfor om den oppbevares og behandles konfidensielt.

Norsk Hydro, Oljedirektoratet, Statoil og Norges geologiske undersøkelse har finansiert prosjektet. Egil Rasmussen, Norsk Hydro, Tormod Henningsen og Egil Rundhovde, Statoil har bidratt med tolkninger av seismiske data og andre råd under tolkningsfasen.

Tolkninger av området mellom 67°N og 69°30'N vil bli utført vinteren og våren 1993 sammen med en mer detaljert tolkning av det nordlige området (69°30' - 71°N).

## 2 GEOFYSISKE DATA

De geofysiske data som er anvendt i dette studiet av dyp til basement, og som dermed danner bakgrunnsmaterialet for undersøkelsen kan deles inn i petrofysiske, aeromagnetiske og gravimetriske data.

### 2.1 Petrofysiske data

En enkel deskriptiv statistisk analyse (Appendix 1) er foretatt på målinger fra 1206 bergartsprøver. Bakgrunnen for analysen er at kunnskap om petrofysiske egenskaper på land er nyttig ved aeromagnetiske og gravimetriske studier på kontinentsokkelen. Fra de aeromagnetiske og gravimetriske kartene går det fram at bergartene på land i Troms og Nordland fortsetter under sedimentene på kontinentsokkelen. Prøvene er innsamlet under berggrunnsgeologisk kartlegging og oppfølging av geofysiske anomalier (Olesen 1988, Olesen o.a 1990a) i deler av Troms og Finnmark. Disse dataene er lagret i en petrofysisk database (Olesen og Sæther 1990) ved Norges geologiske undersøkelse.

Hver enkelt prøve er undersøkt med hensyn på tetthet, susceptibilitet og Q-verdi i henhold til måleprosedyrer beskrevet av Olesen (1985) og Torsvik og Olesen (1988). Analyseverdiene av bergartsprøvene er vist i Appendiks 2.

Q-verdi (Königbergers konstant) er definert som forholdet mellom den remanente og den induserte magnetiseringen i bergarten og er presentert i Appendiks 1 og 2 i stedet for intensiteten til den naturlig remanente magnetiseringen, NRM. For bergarter med susceptibilitet mindre enn 0.00150 SI, er Q-verdiene ikke beregnet. Dette skyldes at nøyaktigheten av remanensmålingene er liten for bergarter med lav magnetisering. Denne magnetiseringen er dessuten for lav til å ha betydning i den aeromagnetiske tolkningen.

En midlere Q-verdi lik 0.43, er valgt på grunnlag av statistisk analyse av bergartsprøver til modelleringen av magnetisk basement. Bakgrunnen for dette er at Q-verdiene varierer mellom de litologiske enhetene og blant de ulike metamorfe facies. I området mellom Lofoten og Vesterålen har for eksempel granulitt-facies gneiser en midlere Q-verdi lik 0.27 (Olesen o.a. 1991), mens tilsvarende verdi for amfibolitt-facies er lik 2.0. For bergarter i overgangssonen mellom disse facies er de midlere verdiene lik 0.45. Schlinger (1983, 1985) har forøvrig beregnet variasjonsområdet til å variere fra 0.3 til 0.5, der førstnevnte verdi representerer Q-verdien til høygrads bergarter med en midlere susceptibilitet lik 0.035 SI.

En midlere tetthet til grunnfjellsbergartene i Troms, er beregnet til å være  $2750 \text{ kg/m}^3$ , og brukes som basis for den gravimetriske modelleringen av basement. På grunnlag av 'completion' logger er tetheter estimert for å kunne måle responsen fra sedimentene. Logger fra brønnene 7117/9-1, 7117/9-2, 7119/12-1 og 7120/12-4 er brukt til å beregne tethetsverdier (Tabell 1) fra forskjellige geologiske enheter, og loggene ble stilt til disposisjon av Norsk Hydro og Statoil.

De magnetiske susceptibilitetene som brukes i modelleringen har et variasjonsområde fra 0.020 - 0.070 SI. Disse verdiene er basert på få bergartsprøver fra Kvaløy og Senja, av granitter og granodioritter og utgjør et begrenset datagrunnlag. Det anbefales derfor å samle inn flere prøver fra dette området. Disse granittene og granodiorittene er en del av det Transskandinaviske granitt-porfyrbeltet (Gaal & Gorbatschev 1987) eller også benevnt Protagonibeltet (Henkel 1991).

## 2.2 Aeromagnetiske data

De aeromagnetiske data til sjøs ble innsamlet i 1969 ved en flyhøyde på 200 m og en profilavstand tilnærmet lik 4 km (Aalstad 1970). På land ble de aeromagnetiske målingene foretatt i perioden 1959 - 1972. Troms og områdene nordvest for den kaledonske fronten, ble innsamlet ved en flyhøyde på 800 m, og en linjeavstand på 2 km. De resterende områdene ble flyget i en høyde av 150 m og linjeavstand 2 km. Disse data er utgangspunktet for de aeromagnetiske kartene (Fig. 2, 3 og Kart 2, 3). Kart 2 er basert på interpolasjon med algoritmen minimalisering av flatekurvaturen (Briggs 1974, Swain 1976) av digitaliserte profildata. Kart 3 som også viser data over landområdene, er basert på digitaliserte håndkonturerete kart i målestokk 1:50.000. Begge kartene er konstruert ved hjelp av en pseudo-relieff teknikk (Kihle, u.utarb.) og har 'belysning' fra øst. Denne 'belysningen' forsterker strukturelle trender, lineamenter og kontraster som ellers ikke vises så lett på konvensjonelle konturkart.

## 2.3 Gravimetriske data

De gravimetriske dataene er basert på målinger til sjøs og på land. Data ute på kontinentalsockelen er innsamlet for Oljedirektoratet i forbindelse med seismiske målinger. Områdene nærmest land er dekket med målinger i 1970-71 for Statens Kartverk og de er nivåjustert sammen med de øvrige sjømålinger av Amarok a.s i 1991. Landområdene er dekket med målinger av NGU, Statens Kartverk og Universitetet i Århus (S. Saxov). Det er

hovedsaklig brukt bil og helikopter til transport mellom målepunktene.

De gravimetriske kartene, Bouguer- og frilufts-anomalier (Fig. 4, 5, kart 4, 5) er produsert, ved hjelp av et kartproduksjonssystem (Kihle u. utarb.), fra et rutenett på  $1.5 \times 1.5$  km produsert ved hjelp av algoritmen for minimalisering av flatekurvaturen (Briggs 1974, Swain 1976). Det endelige rutenettet ble glattet ved hjelp av et  $3 \times 3$  punkt Hanning-filter.

## 2.4 Batymetriske og topografiske data

De batymetriske data er levert av Sjøkartverket, SK i Stavanger og består av både moderne multistråle-ekkolodd data, digitaliserte sjøkart og vanndyp-målinger fra seismiske undersøkelser (hvor det ikke finnes sjøkart; hovedsaklig i vest hvor havdypet er stort). Data med høyest kvalitet (multistråle-ekkolodd) finnes i Vestfjorden.

Topografiske data er levert av Statens kartverk på Hønefoss. Både batymetriske og topografiske data består av  $1 \times 1$  km grid. NGU har også anskaffet topografiske data i  $100 \times 100$  m grid fra SK. Disse er egnet til tolkning i målestokk 1:250.000 og vil bli benyttet sammen med satellitdata i fortsettelsen av prosjektet.

### 3 TOLKNINGSMETODER

#### 3.1 Autokorrelasjonsmetoden

Tolkningsprogrammene MAPRAN3 (Thorning 1982) og PDEPTH (Torsvik og Olesen 1992) er begge basert på autokorrelasjonsmetoden til Phillips (1975, 1978) og gir estimat av dypet ned til magnetisk basement direkte fra et totalmagnetisk profil. Både MAPRAN3 og PDEPTH er videreutviklet fra programmet ADEPT (Phillips 1978). Databaseprogrammet GDB (Smethurst 1991) ble kombinert med PDEPTH slik at profiler også kunne tas ut fra et ordnet grid, uavhengig av flylinjene. Magnetisk basement defineres som en to-dimensjonal overflate sammensatt av et stort antall tynne, vertikale ganger, som vist i figur 8. Metoden antar at hver enkelt gang har en uendelig utstrekning i retninger vinkelrett på profiletets retning, og vertikalt nedover. Gangene avsluttes mot en øvre flate som antas å være lik overflaten til basement. Denne dybden kan variere for de ulike gangene, og ved å plassere alle gangene ved siden av hverandre får man et uttrykk for topografien til magnetisk basement.

Dypet ned til basement kan estimeres ved å skyve et kort vindu langs det magnetiske profilet. Winduslengden kan variere og avhenger av anomaliens bølgelengde. Hver vindusposisjon vil da kunne gi et estimat av dypet forutsatt at anomaliene i det bestemte vinduet skyldes kilder fra et bestemt dyp.

To uttrykk for estimatet av dypet er:

$$Z = \frac{n\Delta x}{2} \sqrt{\frac{1}{1/\Phi_n - 1}} \quad (1)$$

$$Z = \frac{\Delta x}{2} \sqrt{\frac{2n+1}{\Phi_n/\Phi_{n+1} - 1} - n^2} \quad (2)$$

der Z er estimert dyp,  $\Delta x$  er samplingsintervallet,  $\Phi$  er autokorrelasjons-funksjonen og n er

antall intervall i autokorrelasjons-forskyvningen. Dypet kan estimeres for hver autokorrelasjons-forskyvning ved hjelp av likning (1). I følge Phillips (1975) vil  $n$  lik 1 gi det beste estimat av dypet. Verdier for større forskyvning,  $n$  lik 2, 3, 4, brukes til å vurdere troverdigheten av dybde-estimatet ved  $n$  lik 1. Dersom de fire dybdekurvene konvergerer, kan estimatet regnes som gyldig. I motsatt fall, når kurvene divergerer, representerer dette et avvik mellom data og den forutsatte modellen i programmet. Dersom dybde-estimatet for høyere forskyvning er betydelig grunnere enn for  $n$  lik 1, kan dette skyldes at kildene til de magnetiske anomaliene er tre-dimensjonale. Følgelig må disse estimatene forkastes. I motsatt tilfelle når dypet blir betydelig større ved økende forskyvning, indikerer dette en en-dimensjonal, veldig flat topografi til magnetisk basement og estimatet må også forkastes.

En annen løsning, vist i likning 2, er basert på autokorrelasjonen av to påfølgende forskyvninger. Denne løsningen gjør det mulig å skille kilder som opptrer ved ulike dyp, med andre ord anomalier fra dype og grunne kropper i det samme profilet. Prinsippet for tolkningsmetoden er vist i figur 9 som indikerer at en grunn magnetisk gang resulterer i en smal anomali. Korrelasjonen av bølgeformen blir dermed liten. Videre vil en dyp gang føre til en anomali med stor bølgelengde og med en høyere grad av autokorrelasjon.

Det magnetiske profilet, P-153, med en NV-SØ trend fra kontinentsokkelen inn mot Kvaløya, er vist i Figur 10, (A). En dybdesyntese, (B), der dypene er angitt i kilometer under observasjonsplanet, er vist nedenfor det magnetiske profilet. Den nederste kurven, (C), indikerer troverdigheten til dybde-estimatene. Dersom differansen, uttrykt i meter, mellom første og fjerde forskyvning er mindre enn en terskelverdi (gitt ved de stiplete linjene), er dybde-estimatet akseptert. Dette indikeres ved en kontinuerlig kurve for dybde-estimatet (B).

### 3.2 Modellering

Modelleringsprogrammet GMM, Gravity and Magnetic Modelling, (Swedish Geological Co. 1991), en modifisert versjon av (Enmark 1981), er brukt til å beregne aeromagnetisk og gravimetrisk respons fra modeller og tilpasse disse modellene slik at responsen blir mest mulig lik det målte feltet. Basismodellen i programmet er 2.5-dimensjonale kropper, det vil si kropper med et polygonalt tverrsnitt som er avkuttet i strøkretningen.

Profilene P-135, P-153 og P-164 er anvendt til aeromagnetisk og gravimetrisk modellering, som vist i Fig. 12 - 14. I modellene er det aeromagnetiske feltet og det gravimetriske feltet angitt henholdsvis i nanotesla (nT) og "gravity unit" (gu), der 1 mGal er lik 10 gu.

Det regionale gravimetriske feltet er ikke beregnet for dette aktuelle området. Dette resulterer

i at modellene ikke er så pålitelige som man skulle ønske. Det anbefales derfor å foreta en regionalfeltseparasjon ved videre tolkninger.

Et generelt trekk vedrørende alle de modellerte profilene er en differanse i dyp til magnetisk basement og mektigheten på sedimentene tolket fra gravimetri. I tegnforklaringen (Tabell 2) angis det hvite området som umagnetisk basement. Dette er en fellesbetegnelse for umagnetiske bergarter som ikke har nevneverdig tethetskontrast i forhold til det underliggende magnetiske basement. Det innebærer at det kan finnes sedimenter over basement med tilnærmet samme tetthet som basement.

Sedimentkroppene og forkastningene i sedimentene, som anvendes i modellene, er hentet fra nærliggende seismiske profiler og tilpasset de utvalgte magnetiske profilene. Profilene P-135, P-153 og P-164 er henholdsvis korrelert med de seismiske profilene T-01-84, T-01-85 og T-06-85. Ved å inkludere begrensninger fra seismiske profiler i den øverste del av tyngdemodellen kan man bedre tolke de dypere strukturene.

Modellene av magnetisk basement avsluttes på omkring 20 kilometers dyp. Dette har sammenheng med at Curie-dypet er beregnet til å være i størrelsesorden 20 km (Kaada 1987). Beregningene er basert på geotermiske graderinger i jordskorpa (Kanestrøm 1980).

### 3.3 Konturkart av dyp til magnetisk basement

Det konturerte kartet over dyp til magnetisk basement (Fig. 6, kart 6) er i all hovedsak basert på en kritisk gjennomgang av dybde-estimat fra autokorrelasjonsmetoden. For hvert dybde-estimat, som er markert som en prikk på kartet, er det forsøkt å se det magnetiske profilet i forhold til anomaliens retning på det aeromagnetiske kartet. I tillegg er dybde-estimatene vurdert opp mot estimat fra nærliggende profiler. Avvikende verdier fra den generelle trenden i området er sjekket spesielt (med manuelle metoder eller modellering med GMM programmet). Unøyaktigheten til dybde-estimatene kan være i størrelsesorden 15% (Skilbrei 1991). Dersom autokorrelasjonsmetodens antakelser ikke er oppfylt, kan dette føre til store feil. For en tre-dimensjonal magnetisk kilde er usikkerheten estimert til omkring 30% av Åm (1972).

### 3.4 Strukturelt tolkningskart

På det strukturelle tolkningskartet (Fig. 7, kart 7) er forkastninger og trender i basement

lokalisert på grunnlag av det aeromagnetiske kartet (Fig. 2, kart 2). Forkastninger er karakterisert av Henkel (1975, 1984) som lineære diskordanser i anomalimønsteret, forskyvning av referanse-strukturer og lineære magnetiske gradienter. Beliggenheten av Bouguer-anomalier, frilufts-anomalier og kraftige aeromagnetiske anomalier er vist på tolkningskartene. Dette er gjort for å kunne se de ulike anomaliene og trendene i forhold til hverandre.

## 4 TOLKNING OG DISKUSJON

Studier av det aeromagnetiske feltet på sokkelen utenfor Troms kan relativt enkelt, på grunnlag av intensiteten til det magnetiske feltet, inndeles i tre adskilte enheter. (1) Troms-Finnmark-forkastningskomplekset skiller (2) Harstadbassenget fra (3) Finnmarkplattformen som blant annet vist i Fig. 6 og 15.

### 4.1 Harstadbassenget

Det magnetiske feltet i Harstadbassenget representerer i all hovedsak et relativt homogent område med enkelte kraftigere anomalier på omlag 200 nT. Disse anomaliene definerer en tilnærmet NØ-SV trend opp mot 70°N.

Sør og nord for 70°N i NV-SØ retning ligger dypene til magnetisk basement på henholdsvis ca. 3 km og ned mot 10 km (Figur 6, kart 6). På tilsvarende måte endres dyptet raskt parallelt med profilene P-153 og P-164. Denne raske endringen medfører en stor gradient og kan være relatert til forkastninger. Denne NV-SØ trenden i dyptet til magnetisk basement kan også være av proterozoisk eller paleozoisk alder og kan muligens relateres til den proterozoiske Bottenvika-Senjaforkastningssonen (Henkel 1991). Disse forkastningene kan følges helt fra Bottenvika, gjennom Sverige og inn på norsk side. De kan følges videre ut gjennom Kvalsundet og Malangen, og muligens ut på kontinental-sokkelen utenfor Troms. Zwaan (1992) har på sørvestsiden av Kvaløya beskrevet den NV-SØ gående Torsnesskjærsonen som antas å være en del av denne forkastningssonen.

Denne mulige proterozoiske forkastningssonen fører dermed til en inndeling av Harstadbassenget i en sørlig og nordlig del litt nord for 70°N (NV-SØ trend). Området sør for denne grensen er preget av et tildels lavt magnetfelt. Det er mulig at et segment av Troms-Finnmarkforkastningskomplekset følger Bottenvika-Senjaforkastningssonen ved omlag 17°Ø, 69°45'N. TFK har i dette området en N-S til NNV-SSØ trend.

De kraftige magnetiske anomaliene øst for Troms-Finnmarkforkastningskomplekset representerer sannsynligvis også en forlengelse og videreføring av anomaliene i Lofoten-området (Fig. 3). Dette kan bety at Senja, Kvaløy og Ringvassøy er en del av Lofoten-høyden som foreslått av Andresen (u. utarb.). Den regionale økningen i Bouguerfeltet begynner også øst for Vestfjorden-Vannaforkastningskomplekset og antyder en tynning av jordskorpa vest for dette forkastningskomplekset. En slik tynning er tidligere påvist ved hjelp av refraksjonseismiske metoder i Lofoten-Vesterålen området (Kjenes 1970).

I det nordlige Harstabassenget, vest for Troms-Finnmarkforkastningskomplekset og nord for 69°45'N, er magnetfeltet preget av lave grader i et relativt homogent område. Konsekvensen av disse lave gradientene, blir at dybde-estimatene hovedsaklig vil være assosiert med overgangen til Troms-Finnmarkforkastningskomplekset, samt en mulig intrusjon (UTM 550, 7840) vest for bassenget. Dybde-estimatene til magnetisk basement, basert på autokorrelasjonsmetoden, ligger fra 5-6 km og ned mot 10 km.

En N-S-gående positiv anomali (40-50mGal) ved 17°Ø sørover fra 71°N på Bouguer- og frilufts-kartene ser delvis ut til å skyldes en kanteffekt fra overgangen mellom havbunns- og kontinent-skorpe. Denne mulige kanteffekten kan trolig følges nedover mot Lofoten. I nord kan den gravimetriske anomalien se ut til å være noe forsterket. Den kan derfor være overlagret en annen positiv anomali som skyldes en fortsettelse av Senjaryggen. Dette vil i så fall bety at Senjaryggen har endret noe retning, fra NØ-SV nord for 71°N som vist i figur 15 (Gabrielsen o.a. 1990), til en mulig N-S trend sør for 71°N. Dersom forløpet av Moho er kjent, kan dette forholdet mellom kanteffekt og eventuell fortsettelse av Senjaryggen modelleres mer detaljert.

Profil P-153 (Figur 13) er det sørligste av de modellerte profilene og markerer overgangen fra Harstabassenget til Troms-Finnmarkforkastningskomplekset ved omlag 115 km fra profilets start. Kvartær er markert med en tydelig refleksjon som kan følges tilnærmedesvis over hele den vestlige delen av seksjonen, T-01-85. Derimot blir det vanskeligere å følge refleksjonene til tertiær og kritt fra skuddpunkt, SP-1800, ved omlag 75 km på P-153. Ved forkastningen (omlag 100 km) på P-153 estimeres tertiær og kritt til å ligge på henholdsvis 2900 og 4200 meters dyp. Vest for forkastningen, allerede ved 90 km, er kritt nede på 5900 m. Dette skjer samtidig med at kvartær og tertiær oppnår større mektighet. Ved omkring 50 km estimeres kvartær, tertiær og kritt på henholdsvis 4200, 6300 og 9800 meters dyp. Sedimentpakken ender forøvrig ned mot ca. 14.000 meters dyp ved profilets nullpunkt basert på den gravimetriske tolkningen. Høyden ved ca. 50 km kan muligens representer en basementhøyde eller mafiske, tertiære intrusjoner.

På profil P-164 (Figur 14) er det god seismisk kontroll av kvartær, men tertiær og kritt har

noe mindre tydelige refleksjoner vest for avsetningen av kvartær ved omlag 75 km. Dette profilet definerer overgangen mellom Harstadbassenget og Troms-Finnmarkforkastningskomplekset vest for høyden ved omlag 80 km. Tertiær terminerer forøvrig omlag 10 km etter avsetningen av kvartær. Ved omkring 55 km ser det på den seismiske seksjonen ut til å eksistere en høyde i kritt ved 4800 meters dyp. Denne høyden kan representerer basement eller andre sedimenter med en liten tetthetskontrast til et eventuelt dypeliggende basement. Videre mot proflets nullpunkt er kvartær modellert relativt konstant og ender i samsvar med T-06-85 på 3500 meters dyp. Kritt øker deretter voldsomt i maktighet (i følge gravimetrimodellen), nedforkastes ved 35 km og ender til slutt ned mot magnetisk basement ved 19.000 meters dyp. Dette skulle kunne indikere at Harstadbassenget er meget dypt, men samtidig må man være oppmerksom på at en økning i tetthetskontrasten vil kunne redusere dypet noe.

Ved profil P-135 (Figur 12) er sedimentene vest for Troms-Finnmarkforkastningskomplekset, og forkastningen i disse sedimentene ned til bunn kritt tilstrekkelig kontrollert av seismikken. Men hvor dypt bunn trias strekker seg, er ikke lett å se ut fra tidsseksjonen, T-01-84. Fra modelleringen ser en sedimentkile ut til å trunkere opp mot trias før forkastningen ved 25 km. I denne posisjonen er kritt og trias modellert til å ligge ned mot henholdsvis omlag 4000 og 6000 meters dyp. Maktighetene modelleres til å øke videre mot proflets nullpunkt og tertiær, kritt og trias ender omrent ved 1600, 6300 og 8100 meters dyp langt ute i bassenget.

Vest for Harstadbassenget sammenfaller negative Bouguer- og friluftsanomalier med fordypninger i havbunnen på kanten av kontinentalskråningen (Fig. 1, Kart 1). De ser ut til å danne en regional NØ-SV trend (sør for 70°N) som etterhvert blir mer N-S gående opp mot 71°N (Fig. 6, kart 6).

## 4.2 Troms-Finnmarkforkastningskomplekset

Troms-Finnmarkforkastningskomplekset (TFK) er representert ved avslutningen av det NV-SØ gående høymagnetiske området (Fig. 2, Kart 2) som representerer det Transskandinaviske granitt-porfyr beltet av proterozoisk alder (Gaal & Gorbatschev 1987). I vest danner forkastningene et meget karakteristisk, regionalt trappemønster med en dominerende NØ-SV trend. Denne trenden går gradvis over til NNØ-SSV mot nord. Forkastningsmønsteret representerer trolig roterte basementblokker forholdsvis dypt i forkastningskomplekset (6-10 km). Nordover mot 71°N avtar dypet gradvis, og ender omkring 4-6 km.

TFK kan muligens settes i sammenheng med Vestfjorden-Vanna-forkastningskompleks (VVK) kartlagt av Andresen (u.utarb.) og vist i Fig. 7 og Kart 7, med retninger tilnærmet lik N20Ø

og N65Ø. Det ser ut til å eksistere en sub-parallelitet mellom disse to forkastningsgruppene på land og til sjøs. Forkastningene på land er i høy grad kontrollert av høy-vinklede, post-kaledonske forkastninger i kontakten mellom prekambriske grunnfjellsbergarter og overliggende kaledonske bergarter. Forkastningssprangene mot øst er minimum 2000-3000 meter. Gneisområdet fra Lofoten til Ringvassøy danner altså en horst mellom TFK og VVK. De to forkastningsretningene innenfor VVK danner rombeformede blokker. I fortsettelsen ut i Vestfjordbassenget gir dette systemet av blokker opphav til magnetiske anomalier som kan tolkes som roterte forkastningsblokker. Disse forholdene vil bli undersøkt nærmere i fortsettelsen av prosjektet. Aldersdateringer ved hjelp av paleomagnetisme kan vise når Vestfjorden-Vanna-forkastningskomplekset var aktivt.

Den østlige delen av profil P-153 (Figur 13) relateres til tidsseksjonen T-01-85, der det eksisterer en relativt god kontroll med sedimentene ned til og med bunn kritt. Men kontrollen med sedimentene under, trolig av trias alder, er mer usikker. Forkastninger er tolket fra de aeromagnetiske data (Figur 2, kart 2) ved ca. 123 km og 126 km. En magnetisk kropp med susceptibilitet lik 0.05 SI er skjematiske plassert i basement for å kunne oppfylle den magnetiske anomalien nær enden av profilet. I dette området ligger magnetisk basement nær overflaten og sedimentene må derfor være tynne. Sedimenttykkelsen til kritt avtar inn mot land slik at den gravimetriske modellen tilsvarer de observerte verdiene ved omlag 138 km på det modellerte profilet.

Helt øst i profil P-164 (Figur 14) er kontrollen av trias, som ligger direkte på basement, god i følge den seismiske seksjonen, T-06-85. Dette gjelder frem til forkastningen ved 120 km på profilet. Vest for forkastningen ligger trias rett over et lag med karbonater. Dette laget er det ikke funnet plass til i modellen. Bunn trias måtte dessuten tilpasses basement. Lengst inne mot land oppnår trias, i følge modellen, en mektighet på hele 3000 m ved 110 km, og terminerer etterhvert ned mot en mulig basementhøyde (80 km) på ca. 4500 meters dyp ved overgangen til Harstadbassenget. Høyden ser forøvrig ut til å være preget av forkastninger på midten og på østsiden. Autokorrelasjonsmetoden viser tre-dimensjonale kropper i området og GMM er derfor benyttet for å modellere dyp til magnetisk basement.

Overgangen mellom Harstadbassenget og Troms-Finnmarkforkastningskomplekset ses ved omlag 28 km på profil P-135 (Figur 12) vest for en hevning av magnetisk basement. Grensen mot Finnmarkplattformen ligger omrent ved 38 km. I den delen av P-135 som ligger over Troms-Finnmarkforkastningskomplekset viser T-01-84 en god seismisk kontroll med trias, og tildels også for perm. Det betyr at bunn trias er estimert og justert på grunnlag av seismikk. Trias ser forøvrig ut til å ha en jevnt økende mektighet mot forkastningen ved 25 km på profilet. Den mulige sedimentkilen fra perm avsluttes ved omkring 30 km på 4000 meters dyp.

### 4.3 Finnmarkplattformen

Finnmarkplattformen er bredest i nord og avtar betydelig sørover mot Senja. I nord opptrer en kraftig N-S gående anomalি, 160 Nt, (Fig. 2) og sør for denne finnes mer høyfrekvente anomalier i et område med generelt lave bakgrunnsverdier. Disse anomaliene representerer sannsynligvis en fortsettelse av Kautokeinogrønnsteinbeltet (Olesen o.a. 1990a). Dette grønnsteinsbeltet er assosiert med et system av proterozoiske skjærsoner kalt Bottenvika-Kvænangenforkastningskompleks (Olesen o.a. 1990a,b). En mulig forkastning (UTM 700,7840) med retning ØNØ-VSV ser ut til å skille den kraftige anomalien fra de mer høyfrekvente. Denne forkastningsretningen er forøvrig nesten parallel med forkastningene til Andresen (u.utarb.) med trend N20Ø.

Dybdekartet indikerer tildels betydelige dyp, fra 2-3 km inne ved land, og opp mot 6 km ved 71°N. Umagnetisk basement gir et betydelig bidrag, slik at dypet til akustisk basement kan være mye grunnere. Grunnfjellsbergartene på land er umagnetiske i dette området.

Sørværbassenget, som ligger utenfor Sørøya, og som kan inneholde sedimenter fra sen paleozoikum (Olesen o.a. 1990a), representeres forøvrig ved en negativ gravimetrisk anomali (Fig. 4, 5, Kart 4, 5).

Den delen av profil P-135 som ligger inne på Finnmarkplattformen har god seismisk kontroll i henhold til T-01-84. En markant reflektor fra trias ligger på basement helt i øst, og refleksjonen fra bunn perm er kraftig. I følge T-01-84 ser perm ut til å ha en relativt konstant mektighet parallelt med trias. Dette trekket var det derimot ikke mulig å realisere ved hjelp av modellen. I stedet for å være parallel, trunkerer den i stedet opp mot trias relativt tidlig. Forkastningen ved 67 km på profil P-135 gir opphav til en mulig sedimentkile, som i følge denne modellen, består av sedimenter fra perm og devon ned mot 5000 meters dyp. På grunn av relativ høy tetthet og dermed høy seismisk hastighet, kan sedimenter fra devon mistolkes til å representerer toppen av krystallinsk basement på seismiske refleksjonsdata (Skilbrei 1991).

## 5 KONKLUSJONER

1. Harstadbassenget kan være adskilt i en sørlig og en nordlig del. Det er mulig at en proterozoisk forkastningssone går på tvers gjennom bassenget. Dyp til magnetisk basement sør og nord for denne mulige forkastningen er henholdsvis omtrent 3 km og ned mot 10 km.
2. Troms-Finnmarkforkastningskompleks representerer en norvestlig avslutning av det Transskandinaviske granitt-porfyrbeltet og er preget av segmenter med to retninger, NØ-SV og ØNØ-VSV. Denne trenden går gradvis over til NNØ-SSV mot nord.
3. En mulig gravimetrisk kanteffekt er observert sørover fra omkring 17°Ø, 71°N i overgangen mellom kontinentalskråningen og kontinentalsokkelen. Denne anomalien kan være overlagret en anomali som representerer en sørlig fortsettelse av Senjaryggen, som kan ha endret til en mer N-S retning sør for 71°N.
4. Opptil 6 km mektige sedimenter er tolket fra gravimetriske data på Finnmarkplattformen.
5. Ved senere undersøkelser i området anbefales det å få bedre kontroll med regionalfeltet, samt å intensivere prøvetaking av bergarter på Senja, Kvaløy og Ringvassøy, slik at modelleringen av bergartskroppene kan bli mer presis.
6. Roterte forkastningsblokker kan opptre i basement på 6-10 km dyp i Troms-Finnmarkforkastningskomplekset og langs Vestfjorden-Vannaforkastningskompleks. Videre i prosjektet vil disse forholdene bli undersøkt nærmere samtidig som forkastningsbevegelsene langs Vestfjorden-Vannaforkastningskompleks vil bli datert ved hjelp av paleomagnetisk metode.

## 6 REFERANSER

- Andresen, A. In prep.: Evidences for an on-land structural continuation of the Meoszoic Vestfjord Basin and Lofoten High, North Norway.
- Bergsager, E. 1986: Future petroleum potential of the Barents Sea. I Spencer o.a. 1986 (red.) Habitat of Hydrocarbons of the Norwegian continental shelf. *Graham & Trotman, London*, 339-354.
- Brekke, H. & Riis, F. 1987: Tectonics and basin evaluation of the Norwegian shelf between 62°N and 72°N. *Nor. Geol. Tidsskr.* 67, 295-322.
- Briggs, I.C. 1974: Machine contouring using minimum curvature. *Geophysics* 39, 39-48.
- Enmark, T. 1981: A versatile interactive computer program for computation and automatic optimization of gravity models. *Geoexploration* 19, 47-66.
- Gaal, G. & Gorbatschev, R. 1987: An outline of the Precambrian evolution of the Baltic Shield. *Precambrian Res.* 35, 15-52.
- Henkel, H., in Witchard,F. 1975: Description of the geological maps Fjallåsen NV,NO,SV,SO. *Sver. geol. unders. Af* 17-20, 97-125.
- Henkel, H. 1984: Nordkalottprosjektet - flymagnetisk tolkning i testområdet. *SGU Rapport 8404*, 22 s.
- Henkel, H. 1991: Magnetic crustal structures in northern Fennoscandian. In: P.Wasilewski and P.Hood (Editors.), Magnetic Anomalies - Land and Sea, *Tectonophysics* 192, 57-79.
- Gabrielsen, R.H., Færseth, R.B., Jensen, L.N., Kalheim, J.E., Riis, F 1990: Structural elements of the Norwegian continental shelf, Part I: The Barents Sea region. *NPD-Bulletin* 6, 33 s.
- Kanestrøm, R. 1980: Jordas fysikk. Forelesningskompendium, Univ. i Bergen.
- Kaada, H. 1987: Et magnetometrisk studium av Lofoten/Vesterålen med tilhørende sokkel (67-69°N). Cand. scient. oppgave, *Univ. i Bergen*, 119 s.
- Kjenes, H. 1970: Seismisk undersøkelse av jordskorpen i Lofoten-Vesterålen området. Upubl. Cand. real oppgave. *Univ. i Bergen*, 75 s.
- Olesen, O 1985: Petrofysiske laboratorium. Brukerbeskrivelse. *NGU Rapport 85.271*, 46 s.
- Olesen, O 1988: Petrofysiske undersøkelser, Finnmark, *NGU Rapport 88.222*, 154 s.
- Olesen, O. & Myklebust, R. 1989: LAS-89, Lofoten aeromagnetic Survey 1989, Interpretation report. *NGU Rapport 89.168*, 59 s.
- Olesen, O., Roberts, D., Henkel, H., Lile, O.B., Torsvik, T.H. 1990a: Aeromagnetic and gravimetric interpretation of regional structural features in the Caledonides of West Finnmark and North Troms, northern Norway. *Nor. geol. unders. Bull.* 419, 1-24.
- Olesen, O., Henkel, H. & Lile, O.B. 1990b: Major fault zones within the Proterozoic Kautokeino Greenstone Belt, Finnmark, Norway: combined interpretation of geophysical data. *NGU Rapport 90.161*, 46 s.
- Olesen, O & Sæther, P.O. 1990: Petrofysisk database, PETBASE 2.0, Brukerbeskrivelse. *NGU Rapport 90.097*, 50 s.
- Olesen, O., Henkel, H., Kaada, K. & Tveten, E. 1991: Petrophysical properties of a prograde

- amphibolite - granulite facies transition zone at Sigerfjord, Vesterålen, northern Norway. In: P. Wasilewski and P. Hood (Eds.), Magnetic anomalies - land and sea. *Tectonophysics* 192, 33-39.
- Phillips, J.D. 1975: Statistical analysis of magnetic profiles and geomagnetic reversal-sequences. Ph.D. avhandling. *Stanford University*, 134 s.
- Phillips, J.D. 1978: ADEPT: A program to estimate depth to magnetic basement from sampled magnetic profiles. *U.S. geol. Surv. Comput. Contr., Open-file report* 79-367. 35 s.
- Schlanger, C.M. 1983: The magnetic petrology of the deep crust and the interpretation of regional anomalies. Ph.D. avhandling, *John Hopkins Univ., Baltimore*, 241 s.
- Schlanger, C.M. 1985: Magnetization of lower crust and interpretation of regional magnetic anomalies: Example from Lofoten and Vesterålen, Norway. *J. Geophysics. Res.* 90, 11484-11504.
- Sigmond, E., Gustavson, M. & Roberts, D. 1984: Berggrunnskart over Norge - M. 1:1,000,000. *Nor. geol. unders., Trondheim*
- Skilbrei, J.R. 1991: Interpretation of depth to the magnetic basement in the northern Barents Sea (south of Svalbard). *Tectonophysics* 200, 127-141.
- Smethurst, M.A. 1991: GDB: Et PC database program for data som er systematisk ordnet i et rutemønster, og profiler gjennom slike rutenett. *NGU Rapport 91.018*, 28 s.
- Swain, C.J. 1976: A Fortran IV program for interpolating irregularly spaced data using the difference equations for minimum curvature. *Computers & Geosciences* 1, 231-240.
- Swedish Geological Co. 1991: GMM, interactive gravity and magnetic modelling program, user's manual. Luleå, Sverige, 41 s.
- Thorning, L. 1982: Processing and interpretation of aeromagnetic data in The Geological Survey of Greenland. *Grønlands geol. unders. Rapport 114*, 42 s.
- Torsvik, T.H & Olesen, O. 1988: Petrophysics and palaeomagnetism initial report of the Norwegian Geological Survey Laboratory. *NGU Rapport 88.171*, 108 s.
- Torsvik, T.H & Olesen, O. 1992: PDEPTH - Calculation of depth to magnetic basement from profile data. *NGU Rapport 92.212*, 26 s.
- Zwaan, K.B. 1988: Nordreisa, berggrunnsgeologisk kart, M. 1:250,000. *Nor. geol. unders., Trondheim*.
- Zwaan, K.B. 1992: Database for alle geologiske opplysninger om forkastninger og skjærsoner som opptrer på kartblad 1:250.000 Tromsø. *NGU Rapport 92.107*, 24 s.
- Zwaan, K.B. u. utarb.: Tromsø, berggrunnsgeologisk kart, M. 1:250,000. *Nor. geol. unders., Trondheim*.
- Aalstad, I. 1970: Magnetisk flymåling, kontinentsokkelen Bodø/Rolfsøy. *NGU Rapport 918*, 14 s.
- Åm, K. 1970: Aeromagnetic investigations on the continental shelf of Norway, Stad - Lofoten (62-69°N). *Nor. geol. unders.* 266, 49-61.
- Åm, K. 1972: The arbitrarily magnetized dyke: interpretation by characteristics. *Geoexploration* 10, 63-93.
- Åm, K. 1975: Aeromagnetic basement complex mapping north of latitude 62°N, Norway. *Nor. geol. unders.* 316, 351-374.

## FORTEGNELSE OVER FIGURER

Figur 1. Kart over batymetri, kart 1 (1:500.000) i redusert målestokk.

Figur 2. Aeromagnetisk kart (pseudo-relieff), kart 2 (1:500.000) i redusert målestokk.

Figur 3. Aeromagnetisk kart (pseudo-relieff), kart 3 (1:500.000) i redusert målestokk.

Figur 4. Kart over Bouguer-anomalier, kart 4 (1:500.000) i redusert målestokk.

Figur 5. Kart over frilufts-anomalier, kart 5 (1:500.000) i redusert målestokk.

Figur 6. Dyp til magnetisk basement, kart 6 (1:500.000) i redusert målestokk.

Figur 7. Strukturelt tolkningskart, kart 7 (1:500.000) i redusert målestokk.

Figur 8. Oversikt over området der brønnene 7117/9-1, 7117/9-2, 7119/12-1 og 7120/12-4 er lokalisert (etter Bergsager 1986).

Figur 9. Geometrien til en kilde som er en tynn plate og platens anomali (etter Phillips 1975). Kilden har uendelig utstrekning i y -og z-retningene, og terminerer ved dypet  $Z_i$  under observasjons planet.

Figur 10. Tolkningsprinsipp til autokorrelasjonsmetoden (etter Phillips 1975).

- (A) En grunn magnetisk gang fører til en smal anomali og en liten grad av autokorrelasjon.
- (B) En dypt plassert gang gir en langbølget anomali med en høy grad av autokorrelasjon. Dypet estimeres ved å trekke et kort vindu langs det magnetiske profilet, og et dyp estimeres for hver posisjon.

Figur 11.(A) Magnetisk profil P-153 med nordvestlig retning inn mot Kvaløya.

(B) Dybdesyntese, uttrykt i kilometer, av magnetfeltet.

(C) Pålitelighet av dybde-estimat, uttrykt i meter.

Figur 12. Modell av profil P-135.

HB - Harstadbassenget

TFK - Troms-Finnmarkforkastningskomplekset

FP - Finnmarkplattformen.

Figur 13. Modell av profil P-135.

HB - Harstadbasseneget

TFK - Troms-Finnmarkforkastningskomplekset.

Figur 14. Modell av profil P-164.

HB - Harstadbasseneget

TFK - Troms-Finnmarkforkastningskomplekset

Figur 15. De viktigste strukturelle elementer i deler av Barentshavet (etter Gabrielsen o.a., 1990).

## **FORTEGNELSE OVER TABELLER**

Tabell 1. Bergartstettheter fra forskjellige geologiske enheter er angitt i g/cm<sup>3</sup>, og er hentet fra brønner i Barentshavet. Verdiene er anvendt i modellering av profilene P-135, P-153 og P-164. Tettheten i devon\* er antatt å være 0.05 g/cm<sup>3</sup> større enn tettheten i perm.

Tabell 2. Stratigrafisk notasjon og fargekoder brukt i modellering av profilene P-135, P-153 og P-164, vist henholdsvis i figur 12 - 14. Blå farge representerer sjø/hav i modellene. (Modifisert etter Gabrielsen o.a., 1990).

## **VEDLEGG - KART**

Kart 1. Kart over batymetri, 1:500.000.

Kart 2. Aeromagnetisk kart (pseudo-relieff), 1:500.000.

Kart 3. Aeromagnetisk kart (pseudo-relieff), 1:500.000.

Kart 4. Bouguer-anomali-kart, 1:500.000.

Kart 5. Frilufts-anomali-kart, 1:500.000.

Kart 6. Dyp til magnetisk basement, 1:500.000.

Kart 7. Strukturelt tolkningskart, 1:500.000.

Tabell 1: Bergartstettheter fra forskjellige geologiske enheter er angitt i g/cm<sup>3</sup>, og er hentet fra brønner i Barentshavet. Verdiene er anvendt i modellering av profilene P-135, P-153 og P-164. Tettheten i devon\* er antatt å være 0.05 g/cm<sup>3</sup> større enn tettheten i perm.

	7117/9-1	7117/9-2	7119/12-1	7120/12-4	Tetthet anvendt i modellene
Kvartær	2.15	2.12	2.0	2.20	2.15
Tertiær	2.05	2.03	2.05	-	2.05
Kritt	2.35	2.26	2.31	-	2.33
Jura	-	-	2.50	-	2.50
Trias	-	-	-	2.29	2.29
Perm	-	-	-	2.55	2.55
Devon*	-	-	-	-	2.60

Tabell 2: Stratigrafisk notasjon og fargekoder som er brukt i modellering av profilene P-135, P-153 og P-164, vist henholdsvis i figur 12 - 14. Blå farge representerer sjø/hav i modellene. (Modifisert etter Gabrielsen o.a., 1990).

Fargekode		Geologisk enhet
	- grå	kvartær
	- gul	tertiær
	- grønn	kritt
	- rosa	trias
	- lilla	perm
	- mørk grønn	devon
	- hvit	umagnetisk basement
	- rød	magnetisk basement
	- rød skravur	intrusiver i mag. basement

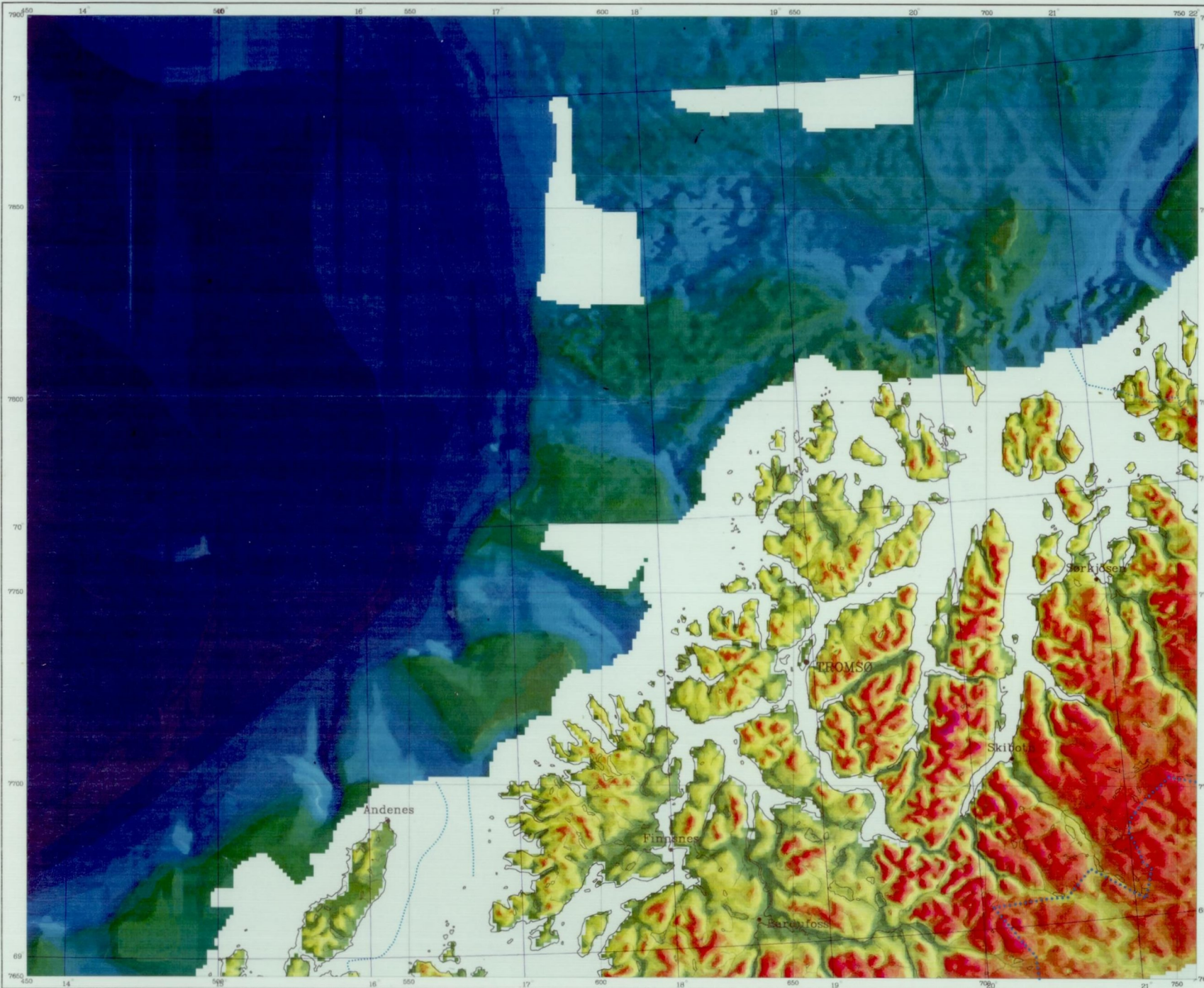
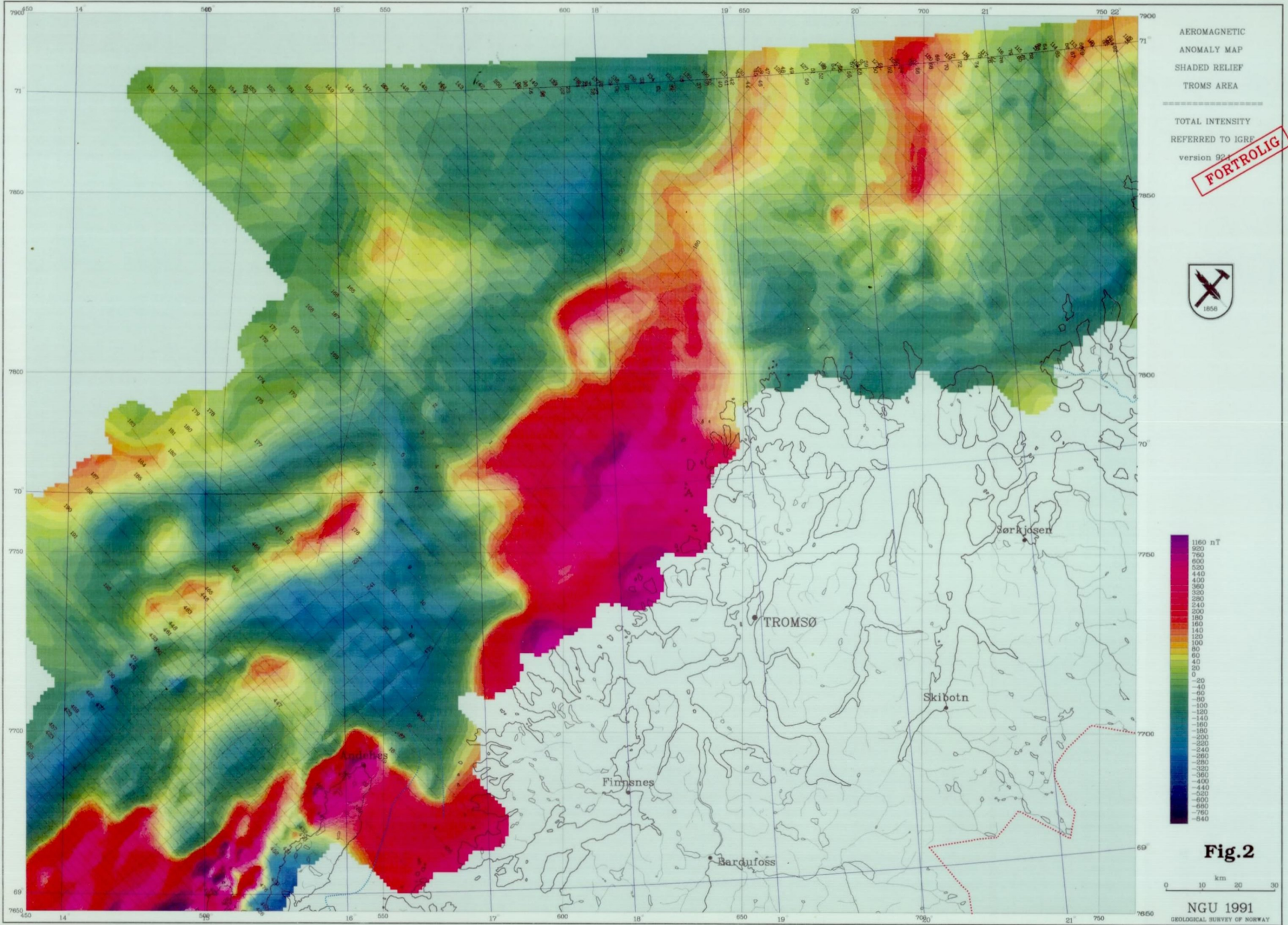
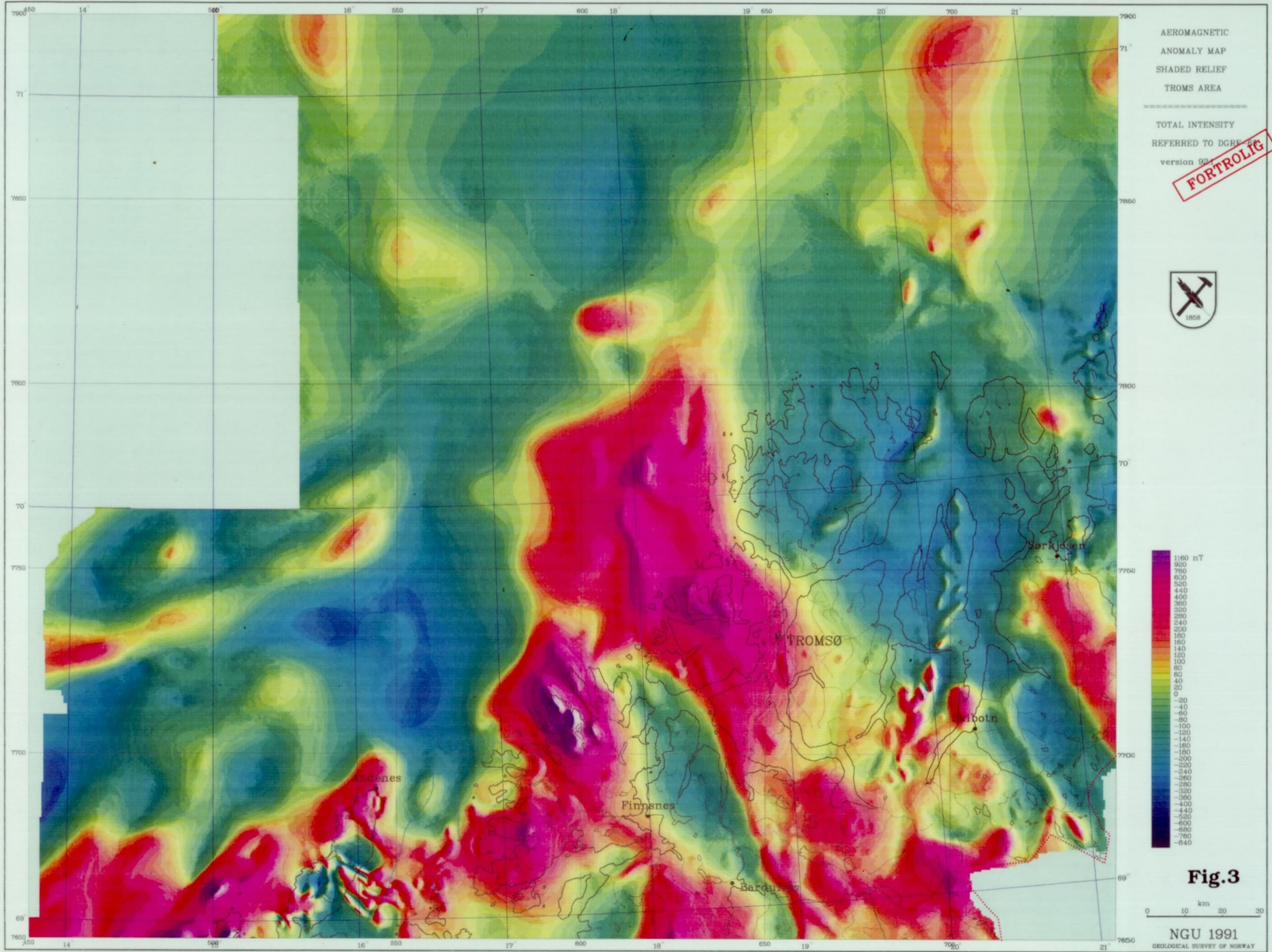


Fig.1

NGU 1991

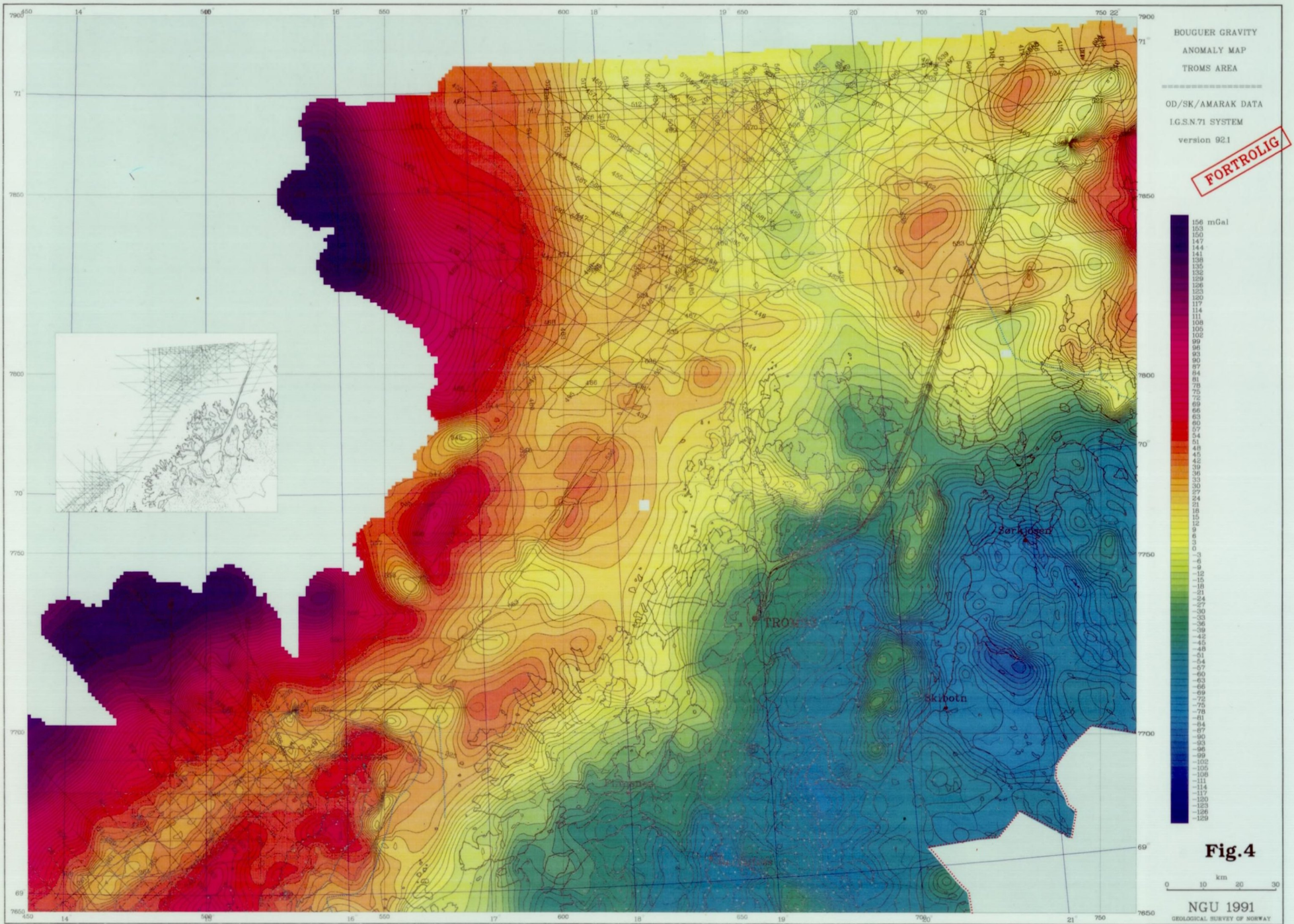
GEOLoGICAL SURVEy OF NORWAY





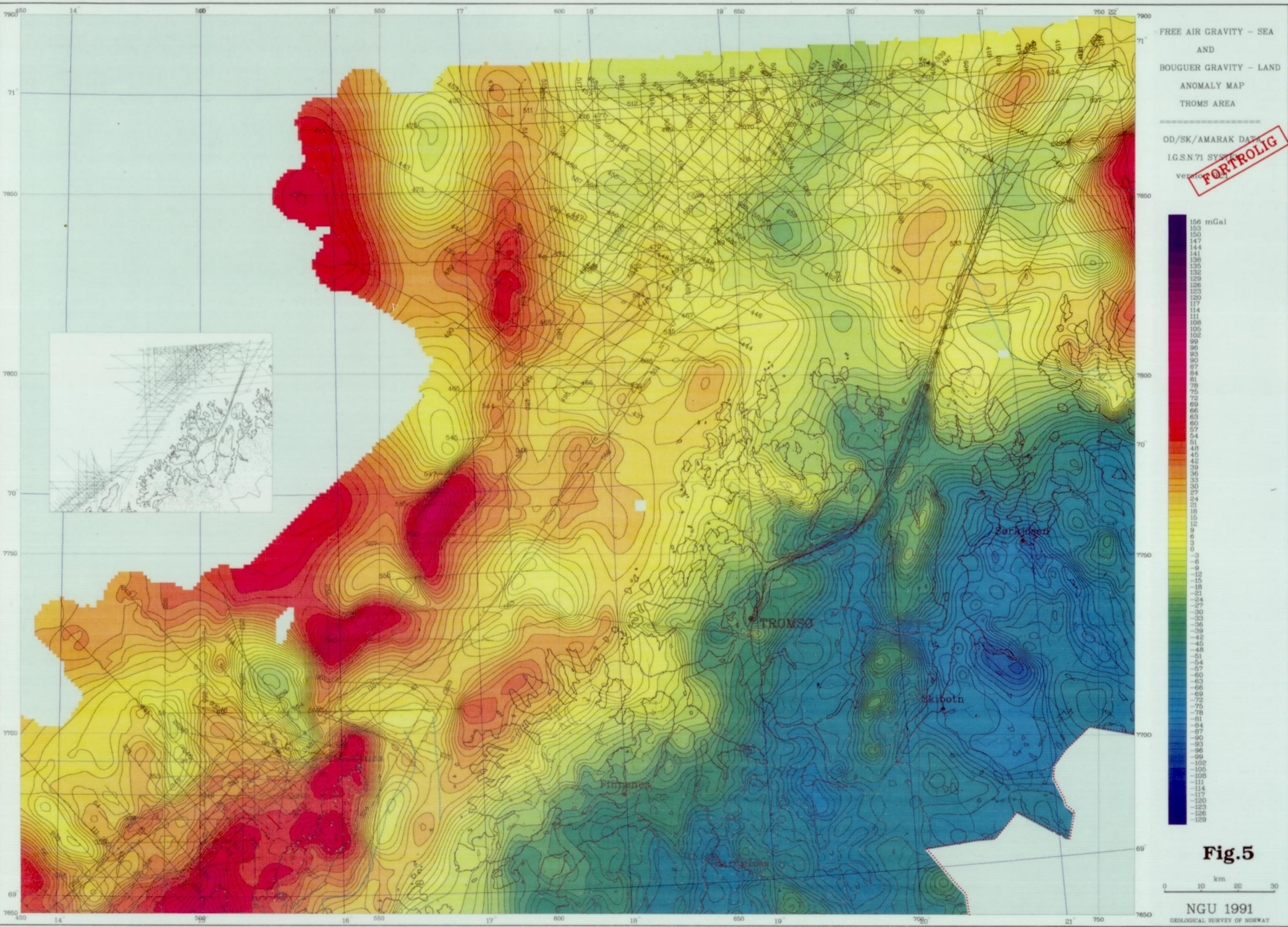
**Fig.3**

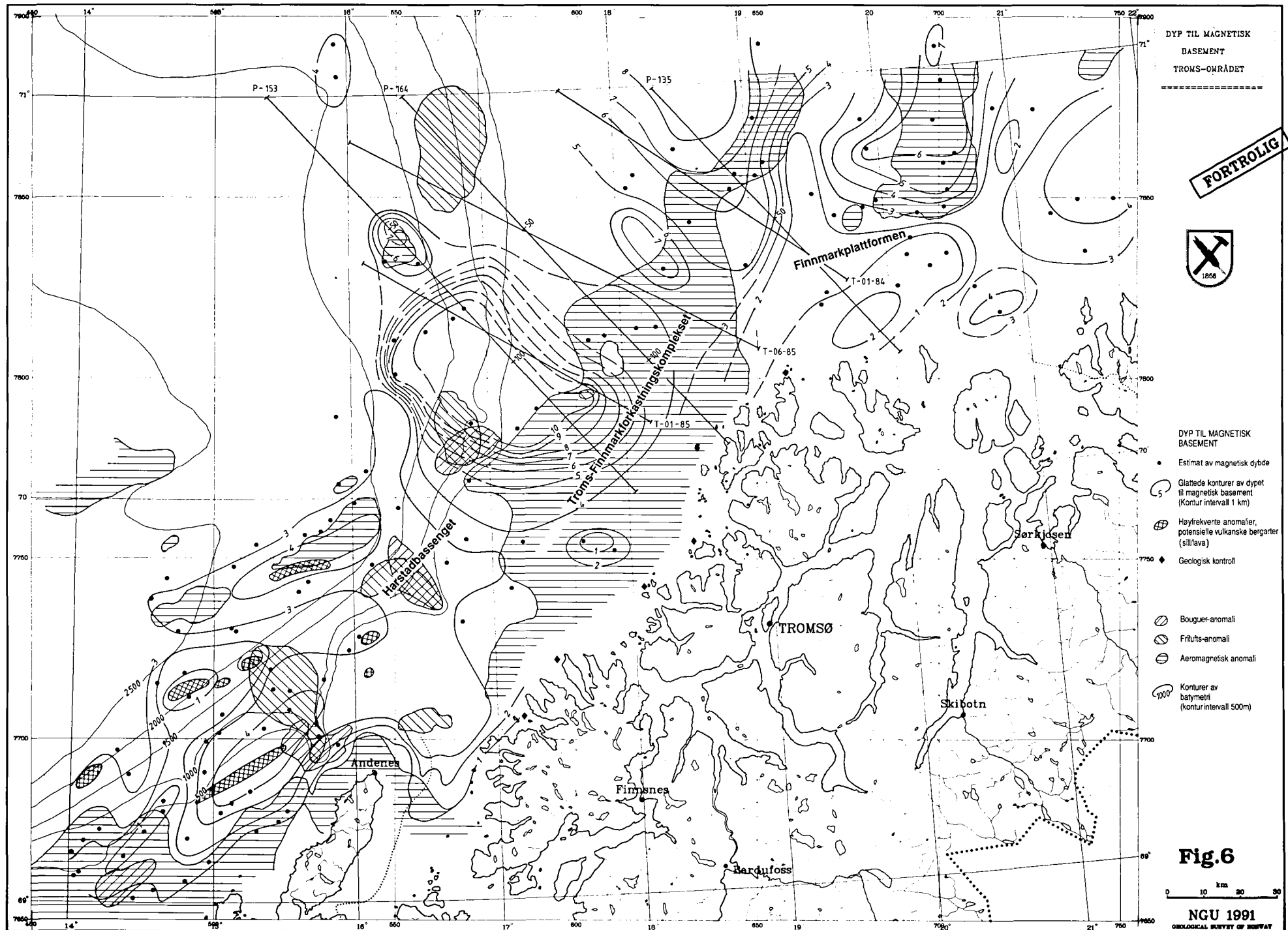
NGU 1991  
GEOLOGICAL SURVEY OF NORWAY

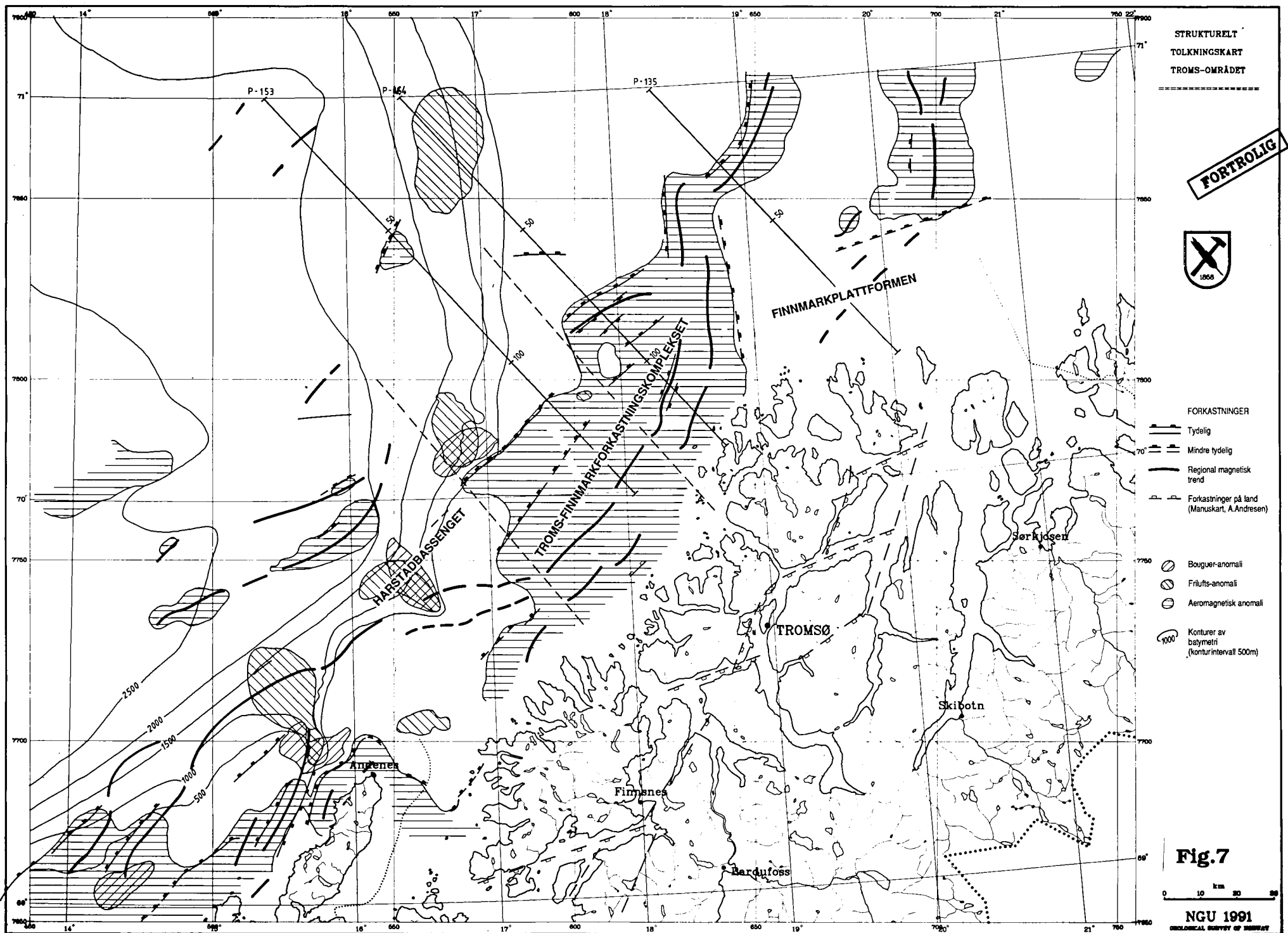


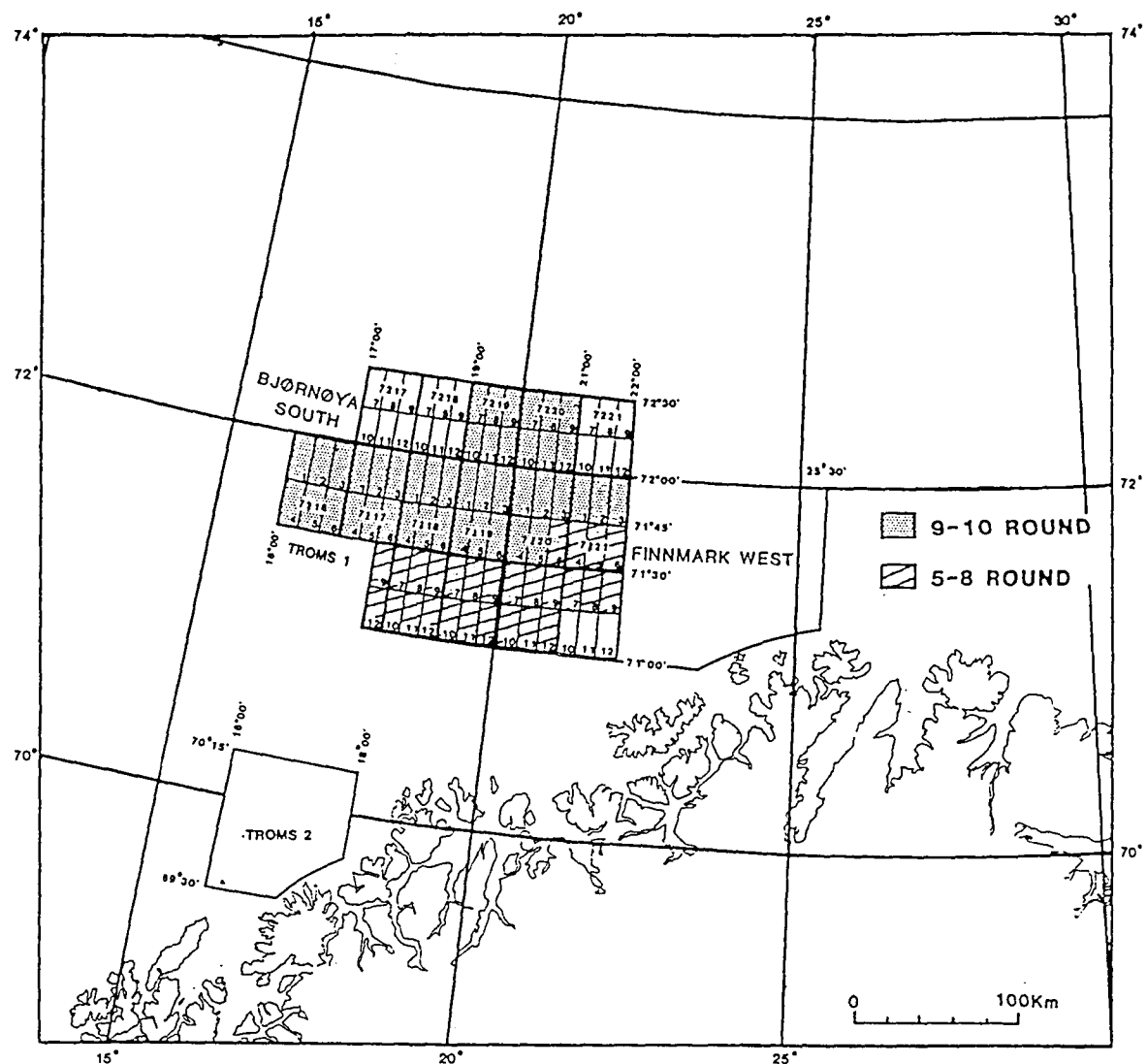
**Fig.4**

km  
10 20 30  
NGU 1991  
GEOLOGICAL SURVEY OF NORWAY

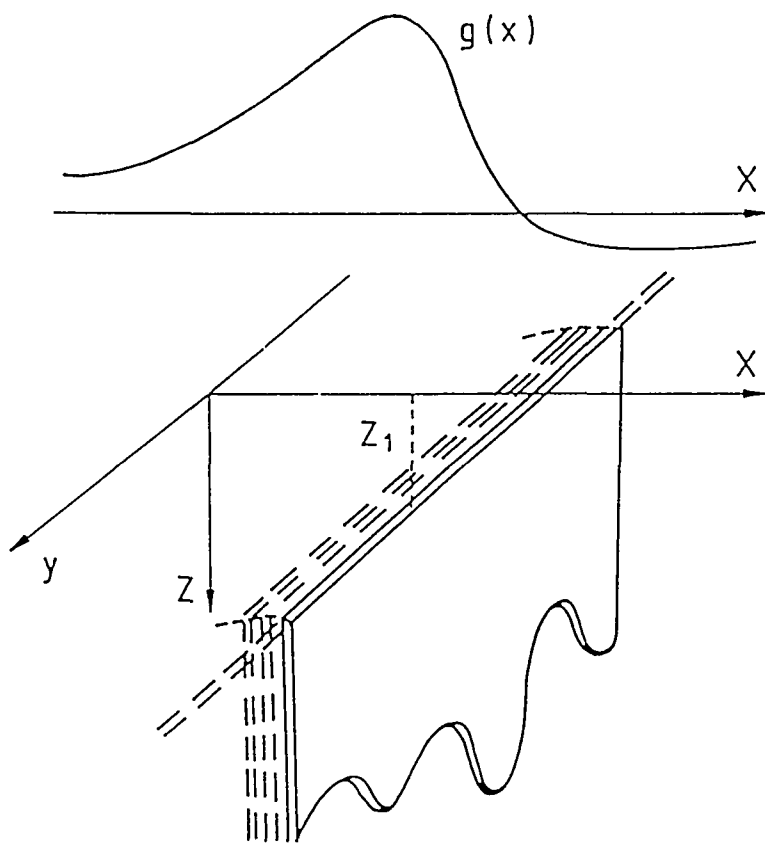




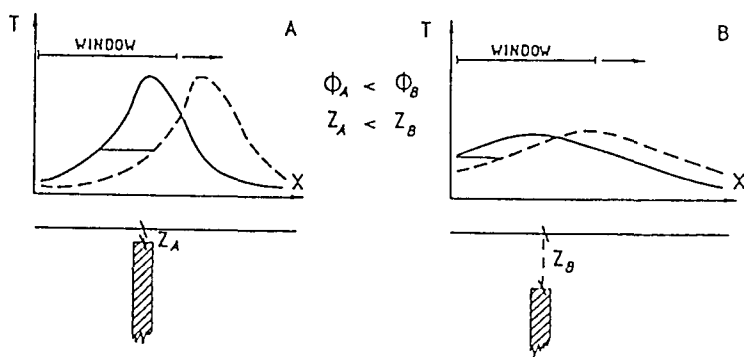




Figur 8. Oversikt over området der brønnene 7117/9-1, 7117/9-2, 7119/12-1 og 7120/12-4 er lokalisert (etter Bergsager 1986).



Figur 9. Geometrien til en kilde som er en tynn plate og platens anomali (etter Phillips, 1975). Kilden har uendelig utstrekning i y -og z-retningene, og terminerer ved dypet  $z_1$  under observasjons planet.



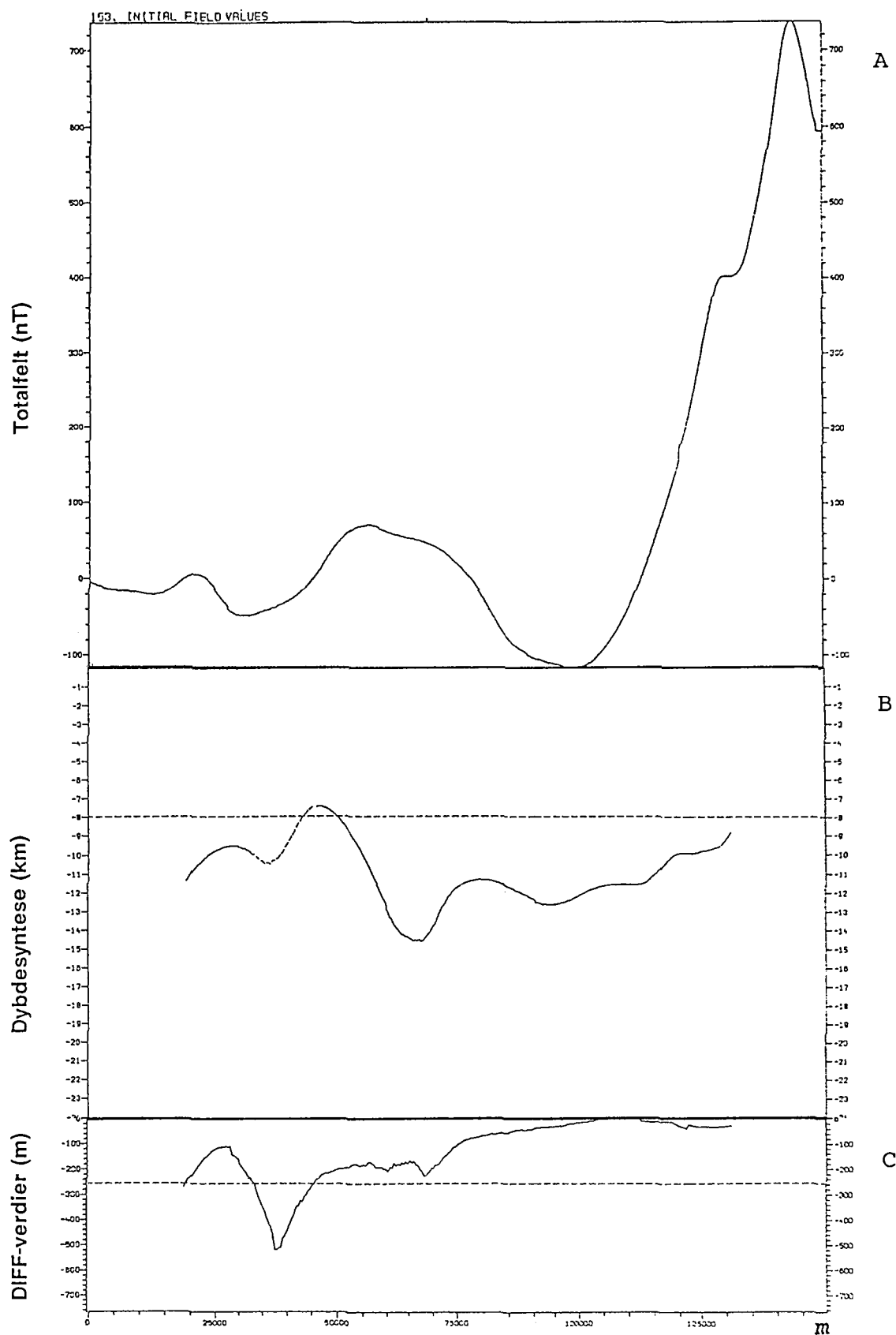
Figur 10. Tolkningsprinsipp til autokorrelasjonsmetoden (etter Phillips, 1975).

- (A) En grunn magnetisk gang fører til en smal anomalি og en liten grad av autokorrelasjon.
- (B) En dypt plassert gang gir en langbølget anomalি med en høy grad av autokorrelasjon.

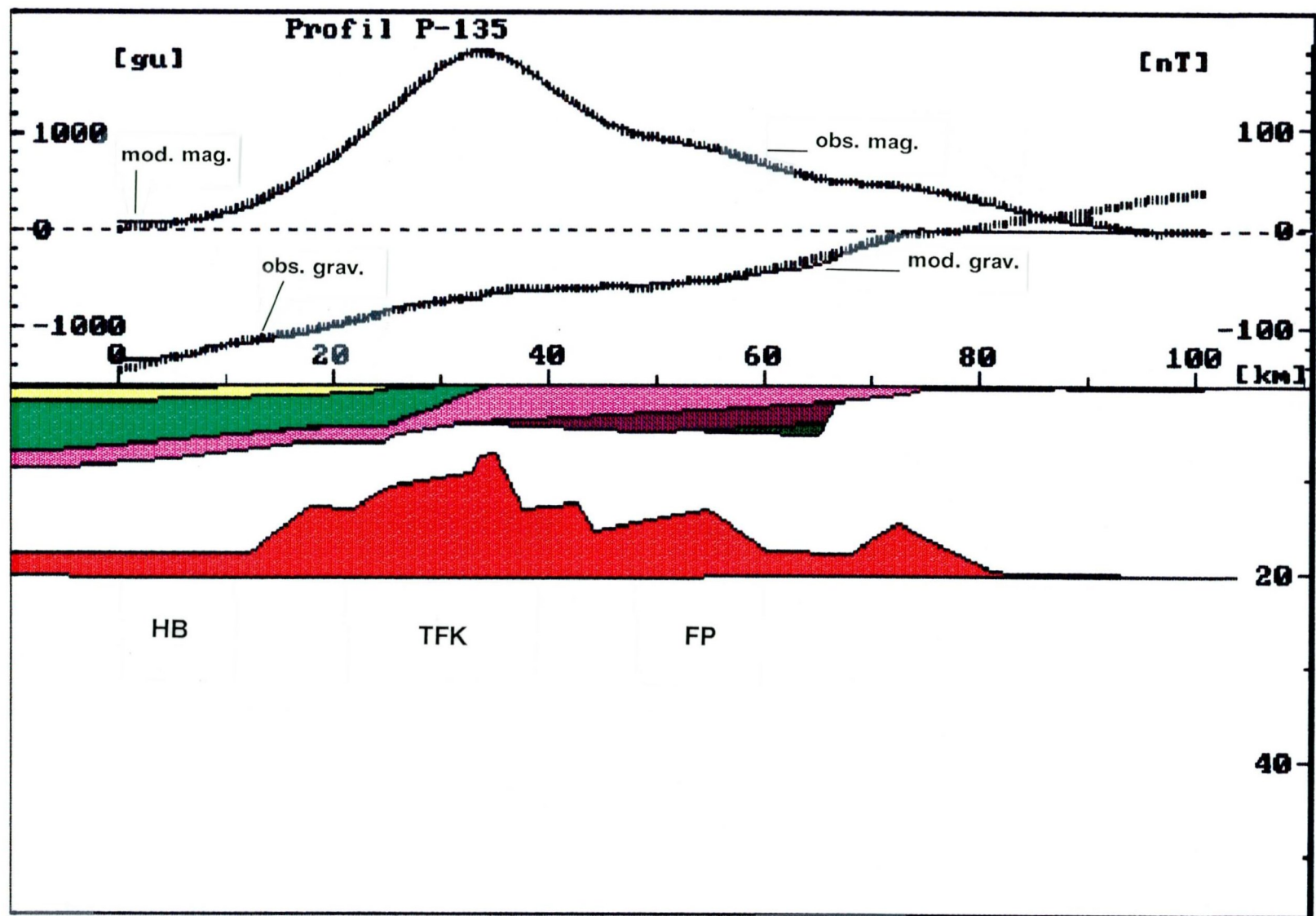
Dypet estimeres ved å trekke et kort vindu langs det magnetiske profilet, og et dyp estimeres for hver posisjon.

# AUTOKORRELASJONS-ANALYSE

## PROFIL P-153



Figur 11. (A) Magnetisk profil P-153 med nordvestlig retning inn mot Kvaløya.  
(B) Dybdesyntese, uttrykt i kilometer, av magnetfeltet.  
(C) Pålitelighet av dybdestimat, uttrykt i meter.

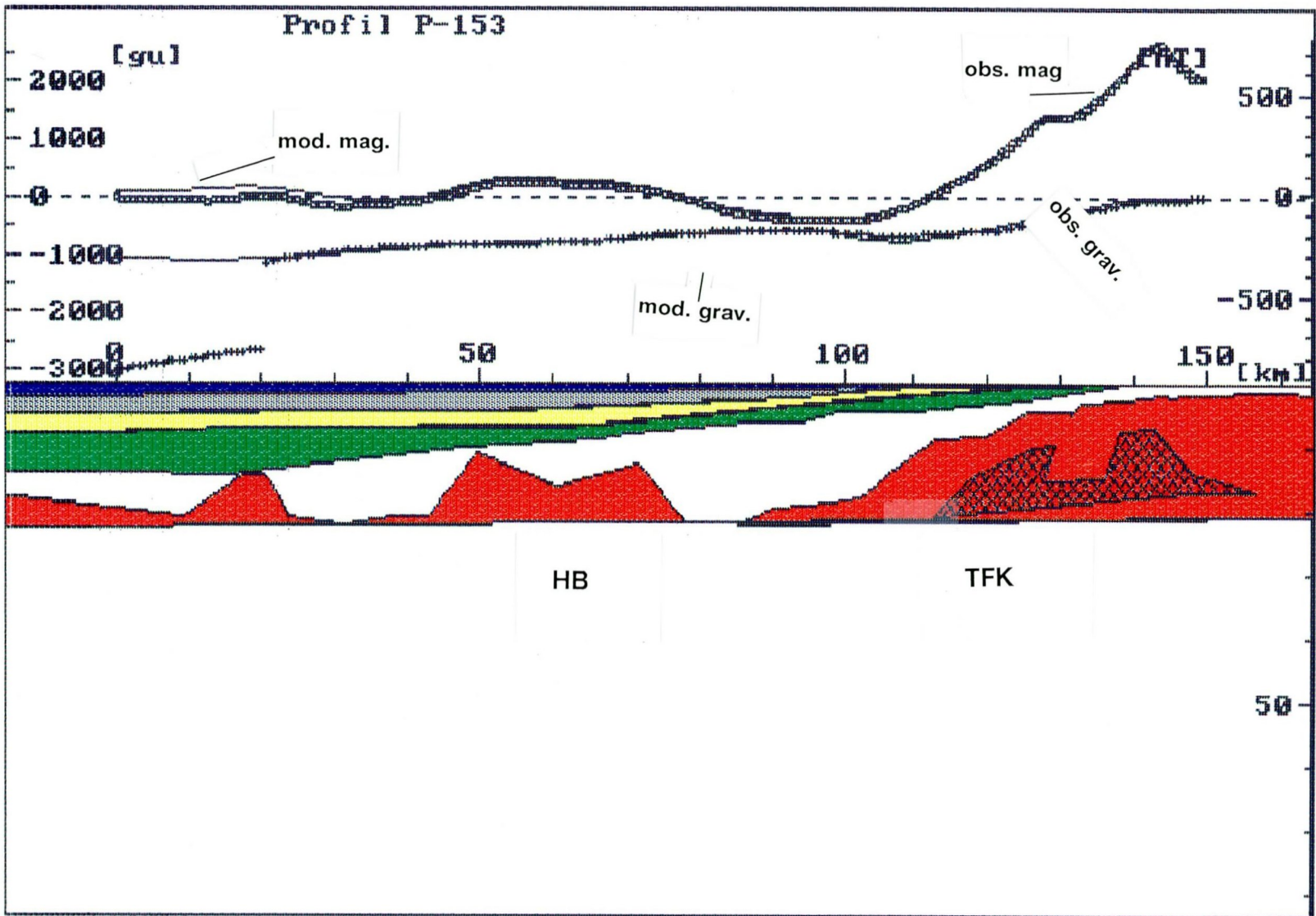


Figur 12. Modell av profil P-135.

HB - Harstadbassenget

TFK - Troms-Finnmarkforkastningskomplekset

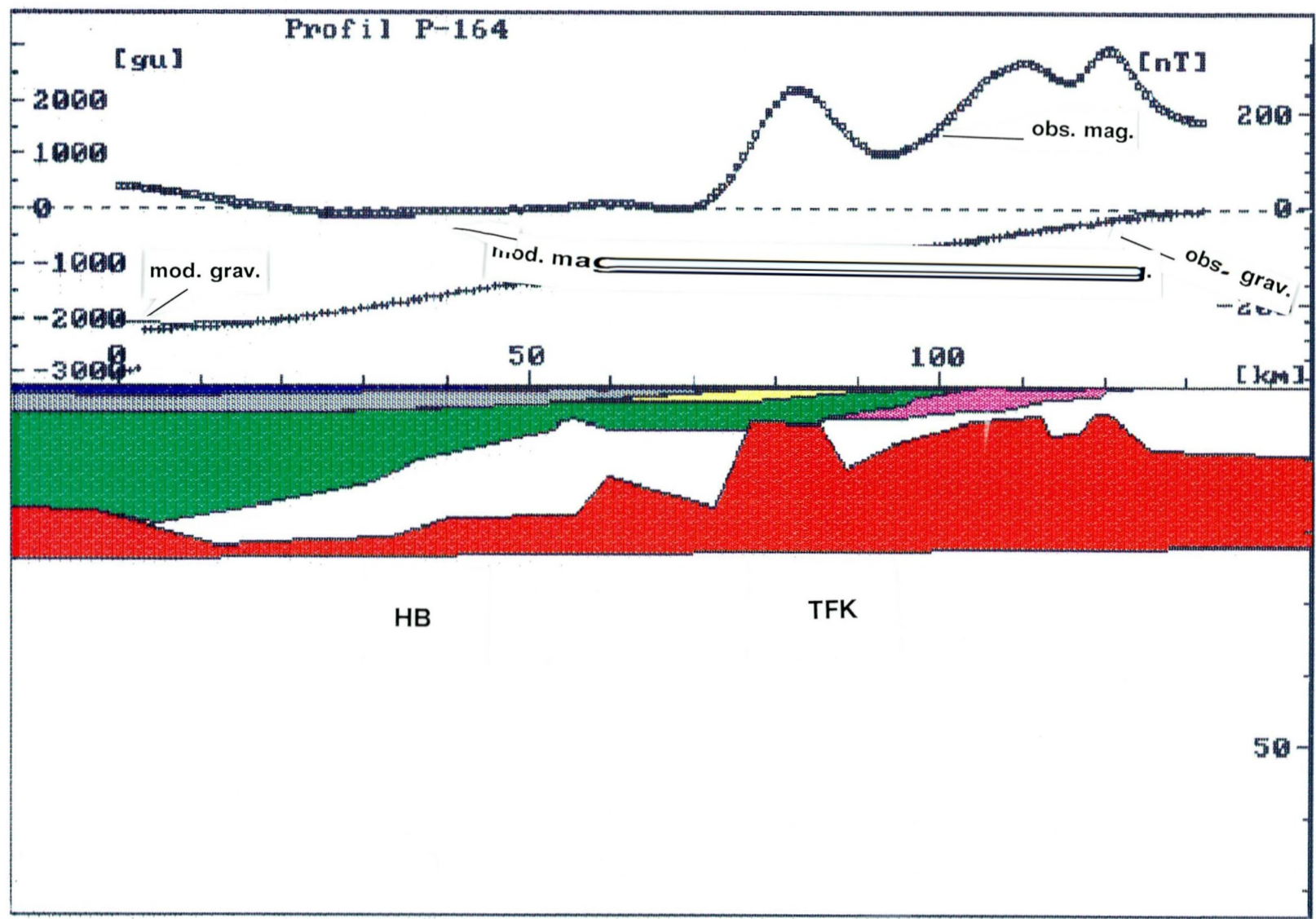
FP - Finnmarkplattformen



Figur 13. Modell av profil P-153.

**HB** - Harstadbassenget

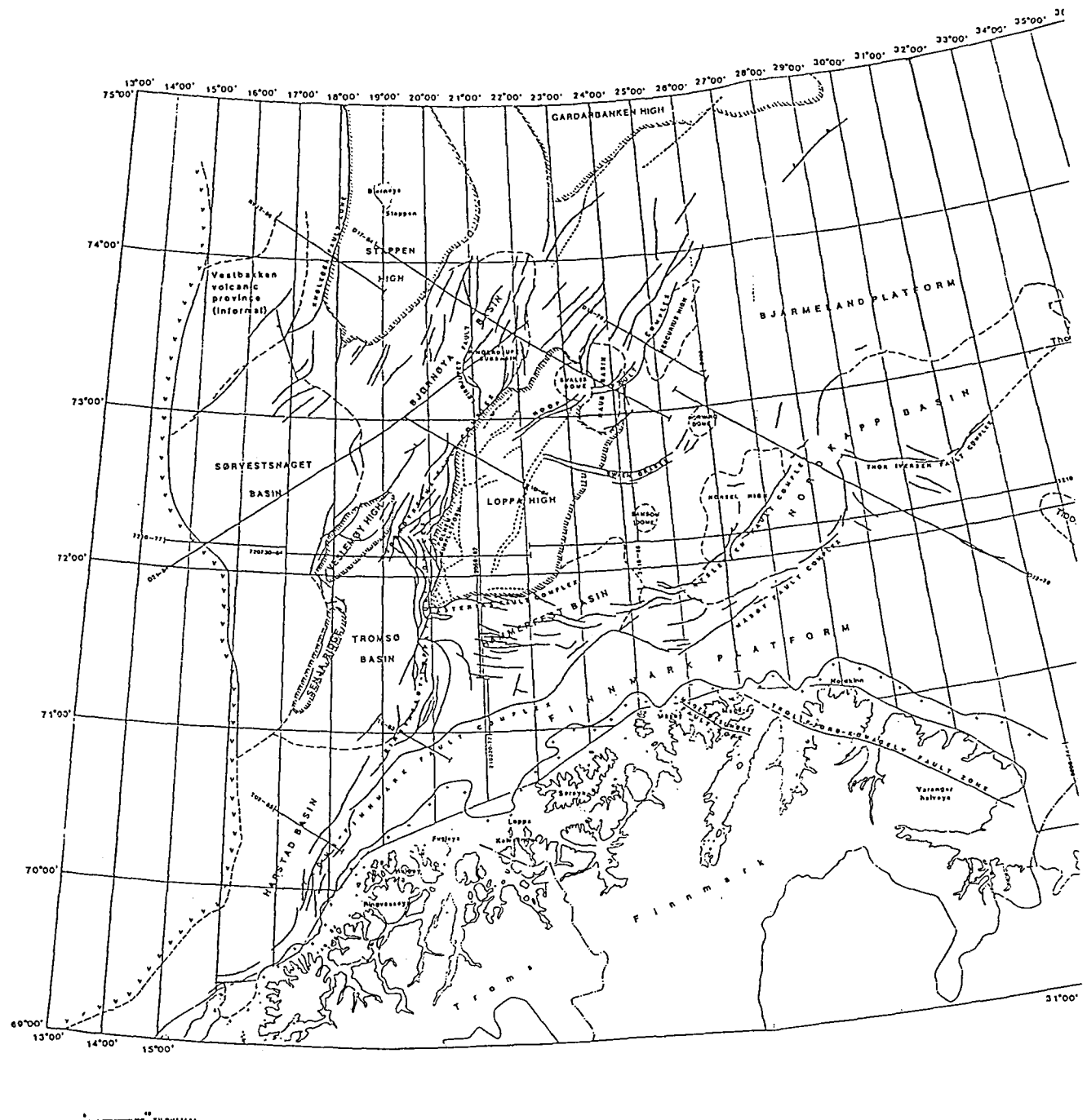
**TFK** - Troms-Finnmarkforkastningskomplekset



Figur 14. Modell av profil P-164.

HB - Harstadbassenget

TFK - Troms-Finnmarkforskastningskomplekset



Figur 15. De viktigste strukturelle elementer i deler av Barentshavet (etter Gabrielsen o.a., 1990).

## APPENDIKS 1

Tabellen på neste side presenterer en statistisk analyse av petrofysiske data; tetthet, susceptibiliteter og Q-verdier for viktige bergartsenheter i Troms (og Finnmark) som refererer seg til Nordreisa berggrunnsgeologisk kart (Zwaan 1988) og foreløpig kartblad Tromsø (Zwaan, u. utarb.). Bokstavene a, b og c i tabellen, indikerer henholdsvis totalt antall prøver, lavmagnetisk fraksjon og høymagnetisk fraksjon. Alle enhetene er angitt i henhold til SI.

BERGARTSENHET/-TYPE	TETTHET				Antall				QVERDI				Antall				SUSCEPTIBILITET			
	Antall	min	max	mid	Antall	min	max	ar.mid	Antall	min	max	ar.mid	std	Antall	min	max	ar.mid	std		
PREKAMB. I LOFOTEN	a	262	2587	3553	2797	152	206	.05	12.75	1.02	2.01	262	.00006	4.94550	.06852	.37				
	b								69			69			.00083	.00				
	c								193			193			.09273	.43				
GRUNNFJELLS-B.A. I TROMS	a	424	2512	3212	2751	149	31	.03	5.28	.43	.92	424	.00000	.31511	.00817	.03				
	b								307			307			.00057	.00				
	c								117			117			.02810	.04				
MÅLSELVDEKKET	a	6	2645	3045	2792	132						6	.00001	.05127	.00889	.02				
	b								5			5			.00041	.00				
	c								1			1			.05127	.00				
REISADEKKEKOMPL.	a	31	2650	3015	2806	66						31	.00015	.00313	.00060	.00				
	b								30			30			.00051	.00				
	c								1			1			.00313	.00				
NORDMANNVIKDEKKET	a	39	2578	3182	2795	137						39	.00000	.02226	.00142	.00				
	b								36			36			.00042	.00				
	c								3			3			.01340	.00				
LYNGSFJELLDEKKET	a	46	2627	3165	2831	140						46	.00001	.40981	.01349	.06				
	b								41			41			.00038	.00				
	c								5			5			.12095	.15				
TROMSØDEKKET	a	7	2734	3137	2838	127	1	.39	.39	.39	.00	7	.00000	.00542	.00126	.00				
	b								6			6			.00056	.00				
	c								1			1			.00542	.00				
KVÆNANGSTINDAN GABBRO	a	14	2888	3072	2977	44						14	.00043	.00880	.00118	.00				
	b								13			13			.00059	.00				
	c								1			1			.00880	.00				
SEILAND MAGMATISK KOMPL.	a	28	2593	3376	3034	175	12	.11	20.53	3.73	5.76	28	.00029	.04152	.00839	.01				
	b								14			14			.00094	.00				
	c								14			14			.01584	.01				
PREKAMB. GNEIS I KALEDON	a	38	2606	3041	2748	105						38	.00007	.35022	.01463	.06				
	b								35			35			.00034	.00				
	c								3			3			.18129	.14				
PREKAM. AMFIB. I KALEDON	a	39	2608	3389	2991	160						39	.00001	.22561	.01128	.04				
	b								36			36			.00099	.00				
	c								3			3			.13473	.08				

## APPENDIKS 2

De litologiske og stratigrafiske kodene (Olesen og Sæther 1990), som er presentert på de to neste sidene, refereres direkte til den etterfølgende tabellen (totalt 23 sider) med petrofysiske data; tetheter, susceptibiliteter og Q-verdier for 1206 bergartsprøver fra Troms og Finnmark. I tabellen er de forskjellige prøvene referert til prøvenummer, kartbladnummer, UTM-sone, UTM-koordinater, litologisk og stratigrafisk kode samt identifikasjon av geolog og årstall.

NR.	PRØVENR.	KARTBL.	UTM-NR.	UTM-SONE	UTM-KOORD. ØST(m)	UTM-KOORD. NORD(m)	LIT.	STRAT.	BERGARTSNAVN	TETTHET KG/M³*3	SUSCEPT. SI (lab)	Q-VERDI	SIDE	1
													GEOL.	ÅR
1	101J	13332	33	587500	7661400	S24	GBT	glimmerskifer	2783	.00116	-99.99	JSA	86	
2	104J	13332	33	593000	7673400	I02	GBT	granitt	2561	.00530	-99.99	JSA	86	
3	123R	13332	33	586500	7675500	M40		magnetitt	4061	8.33082	-99.99	JSA	86	
4	124R	13333	33	571600	7667900	I04	GBT	tonalitt	2631	.00010	-99.99	JSA	86	
5	125R	13333	33	571100	7666700	I04	GBT	tonalitt	2756	.00047	-99.99	JSA	86	
6	126R	13332	33	579000	7680700	I02	GBT	monzogranitt	2602	.01782	-99.99	JSA	86	
7	129R	13332	33	572900	7678600	I02	GBT	monzogranitt	2612	.00538	-99.99	JSA	86	
8	130R	13332	33	572800	7678500	I02	GBT	granitt	2595	.00810	-99.99	JSA	86	
9	133J	13332	33	580500	7670200	I02	GBT	granitt	2625	.01399	-99.99	JSA	86	
10	134J	13332	33	581600	7676700	I02	GBT	monzogranitt	2613	.01276	-99.99	JSA	86	
11	134R	13332	33	573100	7677600	I04	GBT	tonalitt	2745	.01628	-99.99	JSA	86	
12	138J	13332	33	589200	7681900	I02	GBT	granitt	2619	.00876	-99.99	JSA	86	
13	140J	13332	33	586800	7681700	I02	GBT	monzogranitt	2661	.04116	-99.99	JSA	86	
14	145J	13332	33	594800	7683100	I02	GBT	granitt	2600	.00077	-99.99	JSA	86	
15	147J	13332	33	592500	7684200	I02	GBT	granitt	2685	.01594	-99.99	JSA	86	
16	148J	13332	33	592400	7684100	I02	GBT	monzogranitt	2600	.01075	-99.99	JSA	86	
17	14R	13332	33	584100	7661200	I02	GBT	granitt	2565	.00007	-99.99	JSA	86	
18	15R	13332	33	583800	7681200	I02	GBT	monzogranitt	2648	.00031	-99.99	JSA	86	
19	20J	13332	33	585300	7658500	I02	GBT	granitt	2649	.00021	-99.99	JSA	86	
20	22J	13332	33	586900	7660300	I04	GBT	tonalitt	2664	.00014	-99.99	JSA	86	
21	26J	13332	33	581400	7661600	I02	GBT	granitt	2698	.00009	-99.99	JSA	86	
22	3	15333	33	655810	7672420	S14	MÅL	metaarkose	2730	.05127	-99.99	JSA	86	
23	33R	13332	33	584700	7660300	I02	GBT	granitt	2643	.00031	-99.99	JSA	86	
24	36R	13332	33	584500	7660700	M00	GBT	gneis	2757	.00073	-99.99	JSA	86	
25	45R	13332	33	581800	7667200	I55	GBT	gabbro	2863	.00078	-99.99	JSA	86	
26	47R	13332	33	582200	7667100	I02	GBT	granitt	2632	.00070	-99.99	JSA	86	
27	49J	13332	33	580700	7668300	I02	GBT	granitt	2697	.01186	-99.99	JSA	86	
28	49R	13332	33	581500	7667200	I02	GBT	granitt	2563	.00012	-99.99	JSA	86	
29	6	15333	33	660640	7677420	M04	NRD	granatgl.gneis	2823	.00955	-99.99	JSA	86	
30	7J	13332	33	582900	7662000	I55	GBT	gabbro	2884	.00067	-99.99	JSA	86	
31	8	15333	33	661030	7678560	I55	LYN	metagabbro	2979	.00041	-99.99	JSA	86	
32	80BJ	13332	33	592600	7671000	M00	GBT	h)kjerringgneis	2680	.00018	-99.99	JSA	86	
33	84R	13332	33	582600	7670200	I55	GBT	gabbro	3193	.01295	-99.99	JSA	86	
34	92R	13332	33	583300	7672600	I02	GBT	granitt	2604	.01330	-99.99	JSA	86	
35	BE1005B	13331	33	593600	7689000	M41		jernmalm	3270	2.73853	-99.99	JSA	86	
36	BE1047	13331	33	595000	7695800	V23	GBT	amfibolitt	2915	.00070	-99.99	JSA	86	
37	BE1120	13331	33	586100	7689900	I25	GBT	kvartsdioritt	2676	.00685	-99.99	JSA	86	
38	BE1150	13331	33	587800	7698700	I56	GBT	noritt	2908	.00151	-99.99	JSA	86	
39	BE1155A	13331	33	587700	7697700	I25	GBT	kvartsdioritt	2643	.00311	-99.99	JSA	86	
40	BE1155B	13331	33	587700	7697700	I55	GBT	gabbro	2900	.00127	-99.99	JSA	86	
41	BE1168	13331	33	585300	7692100	M00	GBT	gneis	2698	.00392	-99.99	JSA	86	
42	BE1172	13331	33	577700	7696400	I03	GBT	granodioritt	2675	.00131	-99.99	JSA	86	
43	BE1177	13331	33	574800	7697400	I03	GBT	granodioritt	2649	.00046	-99.99	JSA	86	
44	BE1218	13331	33	586000	7711600	I80	GBT	anorthositt	2636	.00006	-99.99	JSA	86	
45	BE1247	13331	33	591500	7685300	I02	GBT	monzogranitt	2600	.01132	-99.99	JSA	86	
46	BE1268	13331	33	594800	7699900	M00	GBT	gneis	2703	.00497	-99.99	JSA	86	
47	BE1508	13331	33	594600	7694600	M00	GBT	gneis	2700	.00479	-99.99	JSA	86	
48	BE1510	13331	33	594800	7693600	M01	GBT	monzogranitt/gneis	2767	.00816	-99.99	JSA	86	
49	BE1535-1	13331	33	579600	7686100	I55	GBT	amfibolitt/gabbro	3003	.00234	-99.99	JSA	86	
50	BE1535-2	13331	33	579600	7686100	I02	GBT	granitt	2644	.01274	-99.99	JSA	86	
51	BE1541	13331	33	582350	7686800	M00	GBT	gneis m/magnetitt	2691	.02275	-99.99	JSA	86	
52	BE1545	13331	33	582150	7691890	M00	GBT	gneis	2733	.00256	-99.99	JSA	86	
53	BE1583	13331	33	582650	7696850	M00	GBT	gneis	2731	.00823	-99.99	JSA	86	
54	BE1594	13331	33	583050	7695050	V30	GBT	ultrabasisk b.a.	3170	.03130	-99.99	JSA	86	

NR.	PRØVENR.	KARTBL.	UTM-	UTM-KOORD.	ØST(m)	NORD(m)	LIT.	STRAT.	BERGARTSNAVN	TETTHET	SUSCEPT.	Q-VERDI	SIDE	2
													GEOL.	ÅR
55 BE1605	13331	33	585250	7693600	M00	GBT	gneis			2785	.02406	-99.99	JSA	86
56 BE1620A	13331	33	591500	7710900	I03	GBT	granodioritt			2597	.01027	-99.99	JSA	86
57 BE1620B	13331	33	591650	7706350	S14	GBT	metaarkose			2608	.00021	-99.99	JSA	86
58 BE1635	13331	33	592800	7702000	M00	GBT	gneis			2743	.01678	-99.99	JSA	86
59 BE1654	13331	33	593400	7700000	S41	GBT	kalkstein/marmor			2828	.00010	-99.99	JSA	86
60 BE1832	13331	33	591000	7691950	M00	GBT	migm.gneis			2652	.00062	-99.99	JSA	86
61 BE1835	13331	33	592650	7693700	M00	GBT	migmatittgneis			2668	.00019	-99.99	JSA	86
62 BE652	13331	33	594950	7700900	M00	GBT	gneis			2656	.00275	-99.99	JSA	86
63 BJ1	13333	33	571200	7665100	I02	GBT	biotittgranitt			2773	.00040	-99.99	JSA	86
64 E1	13332	33	581800	7667150	I55	GBT	gabbro			2931	.02808	-99.99	JSA	86
65 E3	13332	33	581500	7665350	I03	GBT	dioritt			2746	.00127	-99.99	JSA	86
66 G109A	14334	33	608350	7693300	S42	GBT	marmor			2818	.00029	-99.99	JSA	86
67 G109B	14334	33	608350	7693300	V23	GBT	grønsteinamfibolitt			2873	.00033	-99.99	JSA	86
68 G117A	14334	33	613650	7711950	M00	GBT	biotittgneis			2667	.00033	-99.99	JSA	86
69 G117B	14334	33	613650	7711950	S11	GBT	kvartsitt			2613	.00007	-99.99	JSA	86
70 G126	14334	33	615100	7710900	V20	GBT	amfibol b.a.			3036	.00052	-99.99	JSA	86
71 G14	14334	33	617800	7696200	S21	SEN	kv.fs.mu.skifer			2665	.00024	-99.99	JSA	86
72 G146	14334	33	610100	7685950	M00	GBT	biotittgneis			2707	.00026	-99.99	JSA	86
73 G15	14334	33	617700	7702400	V23	GBT	amfibolitt			3212	.00242	-99.99	JSA	86
74 G16	14334	33	616900	7702450	I02	GBT	biotittgranitt			2733	.00090	-99.99	JSA	86
75 G17	14334	33	613800	7706850	I02	GBT	granitt			2722	.00058	-99.99	JSA	86
76 G18	14334	33	612850	7707300	V23	GBT	amfibolitt			2958	.00074	-99.99	JSA	86
77 G19	14334	33	612100	7706850	I02	GBT	granitt			2617	.00731	-99.99	JSA	86
78 G20	14334	33	611250	7707500	M01	GBT	granittgneis			2609	.00006	-99.99	JSA	86
79 G23A	14334	33	608650	7709150	I02	GBT	granitt			2616	.00007	-99.99	JSA	86
80 G23B	14334	33	608650	7709150	V23	GBT	amfibolitt			3003	.00095	-99.99	JSA	86
81 G24	14334	33	607500	7710050	M00	GBT	biotittgneis			2621	.00405	-99.99	JSA	86
82 G25A	14334	33	606600	7709900	V23	GBT	amfibolitt			2995	.00273	-99.99	JSA	86
83 G25B	14334	33	606600	7709900	I28	GBT	monzonitt			2662	.00039	-99.99	JSA	86
84 G25C	14334	33	606600	7709900	I13	GBT	pegmatitt			2696	.00122	-99.99	JSA	86
85 G26A	14334	33	605350	7709500	V23	GBT	amfibolitt			2860	.00069	-99.99	JSA	86
86 G27	14334	33	605350	7708950	I02	GBT	granitt			2629	.00726	-99.99	JSA	86
87 G31A	14334	33	611400	7710450	I02	GBT	granitt			2602	.00005	-99.99	JSA	86
88 G31B	14334	33	611400	7710450	V23	GBT	amfibolitt			3023	.09002	-99.99	JSA	86
89 G31C	14334	33	611400	7710450	I02	GBT	granitt			2639	.01361	-99.99	JSA	86
90 G32	14334	33	611500	7711600	V23	GBT	amfibolitt			2733	.00032	-99.99	JSA	86
91 G33	14334	33	612100	7712900	V23	GBT	amfibolitt			2757	.00059	-99.99	JSA	86
92 G35	14334	33	611350	7698600	I02	GBT	granitt			2634	.00017	-99.99	JSA	86
93 G39A	14334	33	613100	7690400	S43	SEN	dolomitt			2719	.00003	-99.99	JSA	86
94 G39B	14334	33	613100	7690400	S24	SEN	glimmer			2687	.00020	-99.99	JSA	86
95 G41	14334	33	611400	7689850	S21	SEN	kv.gr.bi.skifer			2756	.00036	-99.99	JSA	86
96 G43	14334	33	607850	7690800	M07	GBT	lyegneis			2656	.00033	-99.99	JSA	86
97 G44	14334	33	609200	7690150	M05	SEN	hornblndeskifer			2980	.00075	-99.99	JSA	86
98 G45	14334	33	608150	7689600	S43	SEN	dolomitt			2897	.00022	-99.99	JSA	86
99 G47	14334	33	607400	7687850	S21	SEN	kv.fsp.skifer			2712	.00040	-99.99	JSA	86
100 G48	14334	33	604650	7686800	M07	GBT	lyegneis			2672	.00040	-99.99	JSA	86
101 G49	14334	33	600650	7684900	M07	GBT	lyegneis			2680	.00132	-99.99	JSA	86
102 G50	14334	33	599950	7686000	M00	GBT	kv.bi.gneis			2678	.00166	-99.99	JSA	86
103 G51	14334	33	600050	7687200	M00	GBT	gneis			2634	.00042	-99.99	JSA	86
104 G63	14334	33	615150	7690100	V23	SEN	amfibolitt			3011	.00077	-99.99	JSA	86
105 G7	14334	33	614950	7690750	S24	SEN	kv.mu.gr.skifer			2767	.00034	-99.99	JSA	86
106 G82	14334	33	612450	7691900	S24	SEN	kv.bi.mu.skifer			2731	.00024	-99.99	JSA	86
107 G85	14334	33	605200	7685100	V22	GBT	klorittskifer			3066	.00052	-99.99	JSA	86
108 GRUNNES	14334	33	603000	7685900	M12		kleberstein			2870	.09742	-99.99	JSA	86

NR.	PRØVNR.	KARTBL.	UTM-NR.	UTM-SONE	UTM-KOORD. ØST(m)	NORD(m)	LIT.	STRAT.	BERGARTSNAVN	TETTHET KG/M³	SUSCEPT. SI (lab)	Q-VERDI	GEOL. ID.	ÅR
109	HE 1408	14343	33	610700	7716600	I73	GBT	metaperidotitt	2918	.11070	-99.99	JSA	86	
110	HE 81-V	14343	33	608750	7714400	I70	GBT	ultramafitt	3048	.01692	-99.99	JSA	86	
111	HE 82-10A	14343	33	601200	7718650	I03	GBT	granodioritt	2716	.02764	-99.99	JSA	86	
112	HE 82-20C	14343	33	604750	7721950	I70	GBT	ultramafisk b.a.	3033	.01983	-99.99	JSA	86	
113	HE 82-21	14343	33	602500	7723150	I03	GBT	granodioritt	2624	.01223	-99.99	JSA	86	
114	HE 82-24	14343	33	597500	7716900	I02	GBT	granitt	2605	.01434	-99.99	JSA	86	
115	HE 82-25B	14343	33	598450	7717250	I03	GBT	granodioritt	2596	.02433	-99.99	JSA	86	
116	HE 82-4	14343	33	604000	7718350	S11	GBT	kvartsitt	2701	.00013	-99.99	JSA	86	
117	HE 83-1	14343	33	615100	7728500	I02	GBT	gneis/granitt	2727	.02694	-99.99	JSA	86	
118	HE 83-10	14343	33	612550	7726450	M00	GBT	gneis	2696	.00021	-99.99	JSA	86	
119	HE 83-11	14343	33	610000	7724250	V23	GBT	amfibolitt	2999	.00069	-99.99	JSA	86	
120	HE 83-12	14343	33	610100	7724000	V23	GBT	amfibolitt	3087	.00058	-99.99	JSA	86	
121	HE 83-13	14343	33	610400	7723850	M01	GBT	granittisk gneis	2614	.00005	-99.99	JSA	86	
122	HE 83-14	14343	33	610550	7723250	M00	GBT	gneis m.amfibolitt	2706	.02569	-99.99	JSA	86	
123	HE 83-2	14343	33	613900	7725600	M00	GBT	gneis	2659	.00024	-99.99	JSA	86	
124	HE 83-3	14343	33	613300	7726700	V23	GBT	amfibolitt	3073	.00098	-99.99	JSA	86	
125	HE 83-4	14343	33	612500	7726350	V23	GBT	amfibolitt	3063	.00132	-99.99	JSA	86	
126	HE 83-6	14343	33	612500	7726000	S00	GBT	konglomerat	2686	.00181	-99.99	JSA	86	
127	HE 83-8	14343	33	612350	7726150	S00	GBT	konglomerat	2696	.00258	-99.99	JSA	86	
128	HE1	14343	33	612200	7721800	I02	GBT	granitt	2614	.00723	-99.99	JSA	86	
129	HE1223	14343	33	595200	7712500	V23	GBT	amfibolitt	2863	.00216	-99.99	JSA	86	
130	HE1225	14343	33	596100	7712900	I03	GBT	granodioritt	2677	.02265	-99.99	JSA	86	
131	HE1402	14343	33	611550	7713150	M01	GBT	granittgneis	2603	.00898	-99.99	JSA	86	
132	HE1405	14343	33	611300	7716200	I02	GBT	granitt	2585	.00667	-99.99	JSA	86	
133	HE1407	14343	33	610600	7716400	V23	GBT	amfibolitt	3022	.00066	-99.99	JSA	86	
134	HE1413	14343	33	605200	7715400	I25	GBT	kvartsdioritt	2796	.03711	-99.99	JSA	86	
135	HE1503	14343	33	611250	7714350	M00	GBT	gneis kv.diorittisk	2598	.00013	-99.99	JSA	86	
136	HE1510	14343	33	606250	7715100	S11	GBT	kvartsitt	2628	.00004	-99.99	JSA	86	
137	HE1662	14343	33	595650	7715250	I25	GBT	gr) kvartsdioritt	2875	.10475	-99.99	JSA	86	
138	HE1864	14343	33	605550	7722100	M01	GBT	gneis/granitt	2593	.00139	-99.99	JSA	86	
139	HE2001A	14343	33	616750	7714950	V22	GBT	grinnsstein	3054	.00081	-99.99	JSA	86	
140	HE2001B	14343	33	616750	7714950	V22	GBT	grinnsstein	3080	.00077	-99.99	JSA	86	
141	HE2003A	14343	33	616250	7715150	S00	GBT	konglomerat	2895	.00378	-99.99	JSA	86	
142	HE2006	14343	33	616850	7714750	V20	GBT	putelava	2970	.00088	-99.99	JSA	86	
143	HE82-15	14343	33	600150	7719300	I02	GBT	granitt	2616	.02035	-99.99	JSA	86	
144	HE82-18	14343	33	599000	7721100	S11	GBT	kvartsitt	2602	.00001	-99.99	JSA	86	
145	HE82-19	14343	33	604750	7721950	I03	GBT	granodioritt	2630	.00659	-99.99	JSA	86	
146	HE82-22A	14343	33	596600	7723350	I03	GBT	granodioritt	2687	.02772	-99.99	JSA	86	
147	HE82-22B	14343	33	596600	7723350	M06	GBT	b)ndgneis	2683	.00052	-99.99	JSA	86	
148	HE82-23	14343	33	596800	7721350	I02	GBT	granitt	2623	.01691	-99.99	JSA	86	
149	HE82-26	14343	33	599950	7716550	I03	GBT	granodioritt	2623	.02533	-99.99	JSA	86	
150	HE82-28A	14343	33	601350	7714050	I03	GBT	granodioritt	2587	.00012	-99.99	JSA	86	
151	HE82-28B	14343	33	601350	7714050	I70	GBT	ultramafitt	2968	.08395	-99.99	JSA	86	
152	HE83-9	14343	33	612400	7726050	S14	GBT	metaarkose	2748	.00090	-99.99	JSA	86	
153	KVDI-X	13333	33	572200	7663200	I25	GBT	kvartsdioritt	2780	.00045	-99.99	JSA	86	
154	L12	14331	33	619550	7696790	M00	GBT	gneis	2740	.00009	-99.99	JSA	86	
155	L20	14331	33	619880	7711850	S13	GBT	sandstein	2688	.00014	-99.99	JSA	86	
156	L6	14331	33	620740	7697410	M01	GBT	granittgneis	2668	.00097	-99.99	JSA	86	
157	L82-5	14331	33	618320	7706770	I02	GBT	granitt	2604	.00609	-99.99	JSA	86	
158	L82-6	14331	33	618380	7706680	S11	GBT	kvartsitt	2613	.00005	-99.99	JSA	86	
159	LE1665	14331	33	618900	7695170	S24	SEN	granatglimmerskifer	2848	.00047	-99.99	JSA	86	
160	LE1681	14331	33	620310	7699780	M00	GBT	kv.feltspatisk gneis	2607	.00005	-99.99	JSA	86	
161	LE1859	14331	33	621350	7697930	M07	GBT	lyegneis	2632	.00636	-99.99	JSA	86	
162	M224	14332	33	624940	7659290	M00	SEN	gneis	2627	.00029	-99.99	JSA	86	

SIDE 4  
GEOL. ÅR  
ID.

NR.	PRØVENR.	KARTBL.	UTM-NR.	UTM-KOORD. ØST(m)	UTM-KOORD. NORD(m)	LIT. KODE	STRAT. KODE	BERGARTSNAVN	TETTHET KG/M**3	SUSCEPT. SI (lab)	Q-VERDI	
163	M237	14332	33	624470	7669190	I00	SEN	granittoid	2627	.00008	-99.99	JSA 86
164	M261	14332	33	640320	7672060	I00	GBT	granittoid	2621	.02330	-99.99	JSA 86
165	M263	14332	33	629420	7680680	M05	NRD	hornblendeskifer	3023	.00087	-99.99	JSA 86
166	M297	14332	33	639220	7683710	M00	NRD	gneis	2668	.00010	-99.99	JSA 86
167	M379	14332	33	622670	7667560	V23	SEN	amfibolitt	2980	.40981	-99.99	JSA 86
168	ME1017	14334	33	601100	7685800	I02	GBT	monzogranitt	2615	.01483	-99.99	JSA 86
169	ME1062A	14334	33	595800	7696600	M40		magnetitt/kis	4108	7.18075	-99.99	JSA 86
170	ME1062B	14334	33	595800	7696600	V23	GBT	amfibolitt	2993	.00068	-99.99	JSA 86
171	ME1085	14334	33	598200	7685300	I03	GBT	granodioritt	2632	.00964	-99.99	JSA 86
172	ME1234	14334	33	603400	7702200	M00	GBT	gneis	2628	.00039	-99.99	JSA 86
173	ME1236	14334	33	600000	7702500	V23	GBT	amfibolitt	3036	.00120	-99.99	JSA 86
174	ME1239	14334	33	595600	7703700	V23	GBT	amfibolitt	2927	.00085	-99.99	JSA 86
175	ME1270	14334	33	596300	7699300	M00	GBT	gneis	2608	.00266	-99.99	JSA 86
176	ME1272	14334	33	597100	7699600	V30		ultrabasitt	3084	.04118	-99.99	JSA 86
177	ME1277	14334	33	598100	7699500	M07	GBT	lygneis	2622	.02393	-99.99	JSA 86
178	ME1504	14334	33	600050	7691200	I25	GBT	kvarstdioritt	2732	.03108	-99.99	JSA 86
179	ME1507	14334	33	595250	7694200	I02	GBT	monzogranitt	2616	.00787	-99.99	JSA 86
180	ME1512	14334	33	596650	7696600	I02	GBT	monzogranitt	2631	.04303	-99.99	JSA 86
181	ME1513	14334	33	598250	7697250	I02	GBT	monzogranitt	2655	.00313	-99.99	JSA 86
182	ME1516	14334	33	597900	7697400	S11	GBT	kvartsitt	2624	.00067	-99.99	JSA 86
183	ME1519	14334	33	597050	7684400	I02	GBT	granitt	2623	.00187	-99.99	JSA 86
184	ME1522	14334	33	597200	7685600	I55	GBT	gabbro	2894	.00075	-99.99	JSA 86
185	ME1675	14334	33	596400	7701100	I02	GBT	granitt/granodioritt	2621	.04323	-99.99	JSA 86
186	ME1677	14334	33	597400	7701100	S11	GBT	kvartsitt/metaarkose	2585	.00000	-99.99	JSA 86
187	ME1678	14334	33	597300	7700950	I70		ultramafisk b.a.	3127	.00303	-99.99	JSA 86
188	ME1810	14334	33	605550	7703350	M01	GBT	granittisk gneis	2604	.00919	-99.99	JSA 86
189	ME1825	14334	33	596600	7690650	M40		kv.b)ndet jernmalm	3301	2.87421	-99.99	JSA 86
190	ME1827	14334	33	598350	7690550	I25	GBT	forsk.kvarstdioritt	2698	.00110	-99.99	JSA 86
191	ME1843	14334	33	608400	7705650	M01	GBT	granittisk gneis	2606	.00738	-99.99	JSA 86
192	ME1852	14334	33	608550	7704200	V23	GBT	amfibolitt	2966	.00185	-99.99	JSA 86
193	ME82-11B	14334	33	605600	7702550	I02	GBT	granitt	2612	.02925	-99.99	JSA 86
194	ME82-11C	14334	33	605600	7702550	I13	GBT	pegmatitt	2577	.00209	-99.99	JSA 86
195	ME82-15	14334	33	612250	7703650	S25	GBT	grafittskifer	2512	.00026	-99.99	JSA 86
196	ME82-17	14334	33	612150	7705200	M00	GBT	gr.bi.gneis	2745	.00044	-99.99	JSA 86
197	ME82-18	14334	33	614250	7705300	M40		kv.b)ndet jernmalm	3332	1.08572	-99.99	JSA 86
198	ME82-20	14334	33	606800	7705200	I70		ultramafitt	2924	.07938	-99.99	JSA 86
199	ME82-26A	14334	33	601950	7707950	M02	GBT	granodiorittiskgneis	2676	.00057	-99.99	JSA 86
200	ME82-26B	14334	33	601950	7707950	I13	GBT	pegmatitt	2710	.31511	-99.99	JSA 86
201	ME82-31	14334	33	605150	7708800	I30	GBT	dioritt	2721	.00315	-99.99	JSA 86
202	ME82-35A	14334	33	603650	7712150	M00		b)ndgneis amfbl.	3087	.15468	-99.99	JSA 86
203	ME82-35B	14334	33	603650	7712150	V30	GBT	ultrabasitt	3186	.10957	-99.99	JSA 86
204	ME82-36A	14334	33	604150	7699850	I02	GBT	granitt	2624	.02777	-99.99	JSA 86
205	ME82-36B	14334	33	604150	7699850	M01	GBT	granittgneis	2665	.02214	-99.99	JSA 86
206	ME82-42	14334	33	595600	7688500	I02	GBT	granitt	2641	.01174	-99.99	JSA 86
207	ME82-43A	14334	33	608300	7711250	S11	GBT	kvartsitt	2597	.00003	-99.99	JSA 86
208	ME82-43B	14334	33	608300	7711250	M00	GBT	biotittgneis	2698	.00031	-99.99	JSA 86
209	ME82-43C	14334	33	608300	7711250	I02	GBT	granitt	2570	.00367	-99.99	JSA 86
210	ME82-44B	14334	33	606050	7711900	M01	GBT	granittiskgneis	2597	.00006	-99.99	JSA 86
211	ME82-44C	14334	33	606050	7711900	I02	GBT	granitt	2590	.00771	-99.99	JSA 86
212	ME82-47	14334	33	606700	7708200	I70	GBT	ultramafitt	3110	.04871	-99.99	JSA 86
213	ME82-48A	14334	33	602550	7700550	I02	GBT	granitt	2572	.00005	-99.99	JSA 86
214	ME82-48B	14334	33	602550	7700550	M00	GBT	gneis	2700	.00031	-99.99	JSA 86
215	ME82-49A	14334	33	603850	7698300	S24	GBT	biot.gran.skifer	2936	.00283	-99.99	JSA 86
216	ME82-49B	14334	33	603850	7698200	S21	GBT	skifer(rusten)	2775	.00171	-99.99	JSA 86

SIDE 5

NR.	PRØVENR.	KARTBL.	UTM-	UTM-KOORD.	LIT.	STRAT.	BERGARTSNVN	TETTHET	SUSCEPT.	Q-VERDI	GEOL.	ÅR
		NR.	SONE	ØST(m) NORD(m)	KODE	KODE		KG/M**3	SI (lab)		ID.	
217	ME82-49C	14334	33	603850 7698300	I02	GBT	granitt	2658	.00041	-99.99	JSA	86
218	ME82-50	14334	33	603950 7706200	I02	GBT	granitt	2592	.01318	-99.99	JSA	86
219	ME82-7	14334	33	608250 7693550	S11	GBT	kvartsitt	2631	.00002	-99.99	JSA	86
220	ME8239	14334	33	596250 7687250	I01	GBT	alkaligranitt	2616	.01982	-99.99	JSA	86
221	OK1220	13342	33	593500 7713700	I03	GBT	granodioritt	2632	.01889	-99.99	JSA	86
222	OK1222	13342	33	594300 7712900	M00	GBT	gneis	2644	.00004	-99.99	JSA	86
223	OK1657-1	13342	33	593650 7715250	V23	GBT	amfibolitt	3015	.00274	-99.99	JSA	86
224	OK1657-2	13342	33	593650 7715250	I03	GBT	granodioritt/gneis	2689	.03634	-99.99	JSA	86
225	R2	15344	33	656110 7769390	V23	GBT	amfibolitt	3118	.00169	-99.99	JSA	86
226	R3	15344	33	661300 7766680	V23	GBT	amfibolitt	3027	.00102	-99.99	JSA	86
227	RE1	15341	33	670110 7767050	M05	GBT	hornbl skif.m/amfbl.	2813	.00094	-99.99	JSA	86
228	RN81-2	15341	33	667670 7747010	S24	TRO	glimmerskifer	2832	.00084	-99.99	JSA	86
229	RN81-3	15341	33	671850 7748430	M04	TRO	glimmergneis	2775	.00155	-99.99	JSA	86
230	S1	13332	33	585900 7661450	S11	GBT	kvartsitt	2575	.00000	-99.99	JSA	86
231	S1001	13332	33	573250 7661700	M00	GBT	migmatittgneis	2671	.00015	-99.99	JSA	86
232	S1004	13332	33	580800 7664250	I02	GBT	granitt	2670	.00287	-99.99	JSA	86
233	S13	13332	33	595500 7658600	M04	GBT	glimmergneis	2790	.00041	-99.99	JSA	86
234	S14	13332	33	595700 7658400	I13	GBT	pegmatitt	2575	.00004	-99.99	JSA	86
235	S2	13332	33	586200 7661800	I55	GBT	metagabbro	2882	.00064	-99.99	JSA	86
236	S81-202B	13332	33	576500 7659200	V23	GBT	amfibolitt	3021	.00173	-99.99	JSA	86
237	S81-209	13332	33	588300 7664500	S24	GBT	glimmerskifer	2851	.00049	-99.99	JSA	86
238	S81-210	13332	33	588500 7664600	I02	GBT	granittoid	2739	.00054	-99.99	JSA	86
239	S82-1	13332	33	581100 7667800	I55	GBT	gabbro	2991	.08010	-99.99	JSA	86
240	T101B	14333	33	602600 7676750	M00	GBT	tranlygranitt	2613	.00013	-99.99	JSA	86
241	T114	14333	33	605900 7674200	V23	GBT	amfibolitt	3064	.00680	-99.99	JSA	86
242	T12B	14333	33	612700 7682700	S24	SEN	glimmerskifer	2730	.01438	-99.99	JSA	86
243	T233	14333	33	616900 7684350	M00		plag.rik gneis	2673	.00021	-99.99	JSA	86
244	T235	14333	33	616450 7683950	V21		metabasalt ?	2782	.00036	-99.99	JSA	86
245	T23A	14333	33	596650 7676750	M01	GBT	gneisgranitt	2640	.00099	-99.99	JSA	86
246	T23B	14333	33	596650 7676750	M04	GBT	glimmergneis	2789	.00041	-99.99	JSA	86
247	T244	14333	33	602650 7667150	M00	NRD	mikroklinrik gneis	2611	.00016	-99.99	JSA	86
248	T251	14333	33	598150 7666000	M04	NRD	glimmergneis	2688	.00026	-99.99	JSA	86
249	T255	14333	33	596600 7665550	M04	GBT	glimmergneis	2782	.00040	-99.99	JSA	86
250	T296	14333	33	617550 7668500	M01	NRD	granittisk gneis	2618	.00007	-99.99	JSA	86
251	T300	14333	33	613750 7669150	V23		amfibolitt m/magnat.	3191	1.84802	-99.99	JSA	86
252	T302	14333	33	618300 7671700	M00	NRD	biotittgneis	2774	.00030	-99.99	JSA	86
253	T318	14333	33	611400 7665000	V23	NRD	amfibolitt	2883	.00052	-99.99	JSA	86
254	T319	14333	33	610100 7665350	M00	NRD	ambifolittgneis	2840	.00050	-99.99	JSA	86
255	T347	14333	33	615500 7668950	M00		magnetittrik gneis	3308	4.23174	-99.99	JSA	86
256	T349	14333	33	615900 7670450	M00	NRD	lys gneis	2690	.00019	-99.99	JSA	86
257	T359	14333	33	611200 7665000	I00	NRD	granittisk b.a.	2669	.00021	-99.99	JSA	86
258	T364	14333	33	609800 7663450	M00	NRD	gneis	2593	.00009	-99.99	JSA	86
259	T401A	14333	33	618200 7683750	M05	SEN	hornblendegneis	2977	.02705	-99.99	JSA	86
260	T401B	14333	33	618700 7683750	M04	NRD	glimmergneis	2772	.00839	-99.99	JSA	86
261	T405	14333	33	601550 7665750	M00	NRD	skapolittgneis	2818	.00046	-99.99	JSA	86
262	T410	14333	33	601850 7664200	M00	NRD	gneis	2751	.00113	-99.99	JSA	86
263	T415	14333	33	600950 7667000	M00	NRD	amfibolittisk gneis	3026	.00147	-99.99	JSA	86
264	T424	14333	33	618400 7683750	I02		granitt	2655	.00005	-99.99	JSA	86
265	T436	14333	33	607650 7661900	M04	NRD	glimmergneis	2811	.00040	-99.99	JSA	86
266	T437	14333	33	606850 7661650	M04	NRD	glimmergneis	2744	.00025	-99.99	JSA	86
267	T47	14333	33	618450 7674000	S24	SEN	kv.bi.mu.gr.skifer	2746	.00030	-99.99	JSA	86
268	T470	14333	33	602400 7676600	I02	GBT	granitt	2620	.00857	-99.99	JSA	86
269	T473	14333	33	596150 7672850	M00	GBT	grunnfj. gneis	2809	.02520	-99.99	JSA	86
270	T474	14333	33	597350 7672450	I02	GBT	granitt	2681	.01465	-99.99	JSA	86

NR.	PRØVENR.	KARTBL.	UTM-NR.	UTM-SONE	UTM-KOORD. ØST(m)	NORD(m)	LIT. KODE	STRAT. KODE	BERGARTSNAVN	TETTHET KG/M³*3	SUSCEPT. SI (lab)	Q-VERDI	GEOL.	ÅR ID.
271	T503A	14333	33	613950	7675800	I02	NRD	metagranittoid	2658	.00017	-99.99	JSA	86	
272	T510A	14333	33	616350	7676700	V20	NRD	basisk b.a.	2993	.00047	-99.99	JSA	86	
273	T511B	14333	33	616600	7676850	M00	NRD	gneis	2654	.00007	-99.99	JSA	86	
274	T515	14333	33	618900	7678450	S24	NRD	glimmerskifer	2737	.00032	-99.99	JSA	86	
275	T52A	14333	33	615000	7661450	S24	SEN	glimmerskifer	2733	.00040	-99.99	JSA	86	
276	T64	14333	33	619100	7662400	S24	SEN	kv.bi.mu.gr.skifer	2740	.00034	-99.99	JSA	86	
277	T70	14333	33	609300	7663950	M00	GBT	gneis	2887	.00051	-99.99	JSA	86	
278	T72	14333	33	609300	7659150	M00	GBT	gneis	2686	.00017	-99.99	JSA	86	
279	T81	14333	33	600500	7665900	V23	GBT	amfibolitt	2841	.00053	-99.99	JSA	86	
280	T85	14333	33	598250	7659850	M00	GBT	kv.sp.bi.gneis	2718	.00023	-99.99	JSA	86	
281	TD281	15332	33	684350	7677530	M00	NRD	gneis	2898	.00062	-99.99	JSA	86	
282	TD296	15332	33	688520	7680660	V23	SEN	granat amfibolitt	3165	.00083	-99.99	JSA	86	
283	TD315	15332	33	682570	7675250	M04	SEN	glimmergneis	2911	.00036	-99.99	JSA	86	
284	TD330	15332	33	680950	7688610	M12	LYN	serpentinitt	2773	.14768	-99.99	JSA	86	
285	TD346B	15332	33	686570	7686150	M00	NRD	gneis	2795	.00030	-99.99	JSA	86	
286	TD368	15332	33	690370	7672090	M00	NRD	biotittgneis	2807	.00116	-99.99	JSA	86	
287	TD405	15332	33	678060	7687920	I55	LYN	metagabbro	3074	.00053	-99.99	JSA	86	
288	TD410	15332	33	685990	7670610	M00	SEN	biotittgneis	2793	.00033	-99.99	JSA	86	
289	TD411	15332	33	687950	7669090	M00	SEN	gneis	2755	.00034	-99.99	JSA	86	
290	TD412	15332	33	688360	7668480	M00	SEN	gneis	2805	.00026	-99.99	JSA	86	
291	TD413	15332	33	688380	7667730	M00	SEN	amfibolittgneis	3056	.00089	-99.99	JSA	86	
292	TD431	15332	33	684670	7674800	M00	NRD	heiagneis	2743	.00102	-99.99	JSA	86	
293	TD447B1	15332	33	673380	7674600	I70		ultramafitt	3112	.00160	-99.99	JSA	86	
294	TD447B2	15332	33	673380	7674600	I70		ultramafitt	3141	.00111	-99.99	JSA	86	
295	TD453	15332	33	691170	7663430	S14	SEN	metaarkose	2630	.00005	-99.99	JSA	86	
296	TD454	15332	33	691060	7663010	S24	SEN	glimmerskifer	2802	.00049	-99.99	JSA	86	
297	TD456	15332	33	688590	7664030	M00	SEN	gneis	2651	.00007	-99.99	JSA	86	
298	TU10	14342	33	617310	7720540	I02	GBT	granitt	2612	.00015	-99.99	JSA	86	
299	TU13	14342	33	617330	7721350	M00	GBT	gneis	2672	.01436	-99.99	JSA	86	
300	TU2	14342	33	628410	7739470	I02	GBT	granitt	2632	.01647	-99.99	JSA	86	
301	TU3004	14342	33	617700	7714100	S24	GBT	glimmerskifer	2800	.00039	-99.99	JSA	86	
302	TU3A	14342	33	628560	7725670	V23	GBT	amfibolitt	2993	.00065	-99.99	JSA	86	
303	TU3B	14342	33	628560	7725670	I30	GBT	dioritt	2609	.00142	-99.99	JSA	86	
304	TU3C	14342	33	628560	7725670	V23	GBT	amfibolitt	3047	.00100	-99.99	JSA	86	
305	TU4A	14342	33	626830	7726900	M00	GBT	gneis	2675	.00033	-99.99	JSA	86	
306	TU4B	14342	33	626830	7726900	V23	GBT	amfibolitt	2968	.00064	-99.99	JSA	86	
307	TU4C	14342	33	626830	7726900	V23	GBT	amfibolitt	2848	.00050	-99.99	JSA	86	
308	TU4D	14342	33	626830	7726900	I13	GBT	pegmatitt	2588	.00035	-99.99	JSA	86	
309	TU6	14342	33	619380	7720990	M00	GBT	gneis	2691	.00016	-99.99	JSA	86	
310	TU9	14342	33	618960	7714470	S14	GBT	arkose	2722	.00018	-99.99	JSA	86	
311	TV136	15333	33	662230	7660290	M07	GBT	lygneis	2672	.00054	-99.99	JSA	86	
312	TV148	15333	33	646880	7661540	V23	SEN	amfibolitt	3026	.00067	-99.99	JSA	86	
313	TV161	15333	33	644800	7672490	M00	GBT	gneis	2715	.00096	-99.99	JSA	86	
314	TV164	15333	33	645790	7672090	V23	GBT	amfibolitt	2820	.00052	-99.99	JSA	86	
315	TV165	15333	33	644680	7673190	V23	GBT	amfibolitt	2905	.02903	-99.99	JSA	86	
316	TV169	15333	33	647120	7668750	I03	GBT	granodioritt	2646	.00016	-99.99	JSA	86	
317	TV173	15333	33	650700	7664030	I03	GBT	granodioritt	2691	.00039	-99.99	JSA	86	
318	TV181	15333	33	654160	7664620	M30		b)ndet mylonitt	2634	.00013	-99.99	JSA	86	
319	TV185	15333	33	643550	7684130	M00	SEN	amfibolittisk gneis	3098	.00087	-99.99	JSA	86	
320	TV186	15333	33	643400	7684170	M04	NRD	gr.glimmergneis	3182	.00098	-99.99	JSA	86	
321	TV187	15333	33	643340	7685270	M04	NRD	glimmergneis	2914	.00049	-99.99	JSA	86	
322	TV196	15333	33	653850	7666240	V22	GBT	gr nnstein	2861	.03963	-99.99	JSA	86	
323	TV2	15333	33	662880	7660750	M00	GBT	gneis	2684	.00018	-99.99	JSA	86	
324	TV20	15333	33	661890	7668850	S24	SEN	glimmerskifer	2771	.00038	-99.99	JSA	86	

NR.	PRØVENR.	KARTBL.	UTM-NR.	UTM-SONE	UTM-KOORD. ØST(m)	NORD(m)	LIT.	STRAT.	BERGARTSNVN	TETTHET KG/M³	SUSCEPT. SI (lab)	Q-VERDI	GEOL.	ÅR ID.
325	TV205	15333	33	645520	7678950	M00	SEN	biotittgneis	2879	.00034	-99.99	JSA	86	
326	TV214	15333	33	645760	7676960	V23	MÅL	amfibolitt	3045	.00094	-99.99	JSA	86	
327	TV245B	15333	33	660330	7665780	M30		mylonitt	2732	.00364	-99.99	JSA	86	
328	TV253	15333	33	658400	7661870	M41		svovelkisimpregnasj.	3436	.00141	-99.99	JSA	86	
329	TV260	15333	33	650970	7669530	V22	GBT	grønnstein,b}ndet	2756	.00034	-99.99	JSA	86	
330	TV263	15333	33	650130	7668300	V22	GBT	grønnstein	2988	.00095	-99.99	JSA	86	
331	TV265	15333	33	652510	7681490	S21	LYN	klorittskifer	2827	.00585	-99.99	JSA	86	
332	TV274B	15333	33	661160	7660930	M10	GBT	grønnskifer	2852	.03780	-99.99	JSA	86	
333	TV275A	15333	33	664020	7660460	M00	GBT	gneis	2631	.00185	-99.99	JSA	86	
334	TV275B	15333	33	664020	7660460	M00	GBT	gneis	2715	.00100	-99.99	JSA	86	
335	TV37B	15333	33	664680	7676260	M04	NRD	granatglimmer gneis	2825	.00045	-99.99	JSA	86	
336	TV522	15333	33	653730	7669050	M00	GBT	blastomylon.gneis	2625	.00014	-99.99	JSA	86	
337	TV564	15333	33	649490	7676370	M00	GBT	mylonittisk gneis	2641	.00020	-99.99	JSA	86	
338	TV578	15333	33	658520	7676000	M00	NRD	gneis	2578	.02226	-99.99	JSA	86	
339	TV592	15333	33	649070	7673470	I55	MÅL	metagabbro	2875	.00076	-99.99	JSA	86	
340	TV6	15333	33	645980	7666030	I25	GBT	kvartsdioritt	2725	.00093	-99.99	JSA	86	
341	TV653	15333	33	660490	7678510	M00	NRD	gneis ortho	2845	.00025	-99.99	JSA	86	
342	T\2	15343	33	641040	7736750	I02	GBT	granitt	2675	.02501	-99.99	JSA	86	
343	U1	15342	33	678250	7729860	S24	TRO	kv. glimmerskifer	2789	.00054	-99.99	JSA	86	
344	2007	17343	33	745920	7736470	S14	KLU	metaarkose	2657	.00388	-99.99	PR	74	
345	2008	17343	33	746010	7736530	S14	KLU	metaarkose	2656	.00478	-99.99	PR	74	
346	2013AA	17343	33	747090	7736790	S14	KLU	metaarkose	2716	.00035	-99.99	PR	74	
347	2028A	17343	33	748240	7728250	M06	KPG	båndet gneis	2660	.00013	-99.99	PR	74	
348	2042	17343	33	750120	7733120	M07	KPG	øyegneis	2832	.00044	-99.99	PR	74	
349	2052B	17343	33	747800	7729120	M11	KLU	amfibolitt	3060	.00082	-99.99	PR	74	
350	2150A	17331	33	770780	7724990	S14	KLU	metaarkose	2632	.00011	-99.99	PR	74	
351	2153	17331	33	770780	7724990	S14	KLU	metaarkose	2676	.00017	-99.99	PR	74	
352	2156	17331	33	771910	7721230	S14	KLU	metaarkose	2704	.00025	-99.99	PR	74	
353	2157	17331	33	771080	7720900	S14	KLU	metaarkose	2639	.00085	-99.99	PR	74	
354	2159	17331	33	767890	7718580	M06	KPG	båndet gneis	2714	.00024	-99.99	PR	74	
355	2161	17331	33	767240	7716500	M06	KPG	båndet gneis	2720	.00044	-99.99	PR	74	
356	2168A	17331	33	764100	7716290	M06	KPG	båndet gneis	2886	.00045	-99.99	PR	74	
357	2169	17331	33	762860	7718580	M00	KPG	gneis	2641	.00007	-99.99	PR	74	
358	2175	17331	33	774790	7717950	S14	KLU	metaarkose	2669	.00055	-99.99	PR	74	
359	2176A	17331	33	774860	7717750	M06	KPG	båndet gneis	2662	.00021	-99.99	PR	74	
360	2177A	17331	33	774950	7717410	M06	KPG	båndet gneis	2640	.00013	-99.99	PR	74	
361	2188	17331	33	774620	7711040	S11	KLU	kvartsitt	2634	.00010	-99.99	PR	74	
362	2191A	17331	33	771200	7713620	M11	KRP	amfibolitt metagabbr	3167	.00158	-99.99	PR	74	
363	2205	17331	33	761860	7723210	M11	KRP	amfibolitt	3132	.00114	-99.99	PR	74	
364	2207A	17331	33	761060	7723080	M14	KRP	granatgl. skifer	3187	.00145	-99.99	PR	74	
365	2209	17331	33	760770	7723050	M11	KRP	amfibolitt	3007	.00098	-99.99	PR	74	
366	2214B	17331	33	759350	7722060	S24	KRP	glimmerskifer	2815	.00059	-99.99	PR	74	
367	2222A	17331	33	762240	7719830	M11	KRP	amfibolitt	2871	.00119	-99.99	PR	74	
368	2230	17331	33	765300	7713740	M11	KRP	amfibolitt	3114	.00092	-99.99	PR	74	
369	2242	17331	33	770690	7711160	S14	KLU	metaarkose	2714	.00007	-99.99	PR	74	
370	2244	17331	33	770970	7711340	M11	KRP	amfibolitt	3098	.00101	-99.99	PR	74	
371	2245	17331	33	771050	7711540	M31	KRP	kvartslinse	2608	.00073	-99.99	PR	74	
372	2251	17331	33	770500	7713550	M11	KRP	amfibolitt	3025	.00093	-99.99	PR	74	
373	2252	17331	33	770580	7713810	I55	KRP	metagabbro	3120	.00169	-99.99	PR	74	
374	2255A	17331	33	769100	7714520	M06	KPG	båndet gneis	2656	.00030	-99.99	PR	74	
375	2255BA	17331	33	769100	7714520	M11	KRP	amfibolitt	2740	.00023	-99.99	PR	74	
376	2257B	17331	33	768540	7714570	M11	KRP	amfibolitt	3102	.00096	-99.99	PR	74	
377	2267B	17343	33	753470	7737870	M14	KRP	granatgl. skifer	3125	.00119	-99.99	PR	74	
378	2275A	17343	33	751330	7738720	S14	KLU	meta-arkose	2769	.00020	-99.99	PR	74	

SIDE 8  
GEOL. ID.

NR.	PRØVNR.	KARTBL. NR.	UTM- SONE	UTM-KOORD. ØST(m) NORD(m)	LIT. KODE	STRAT. KODE	BERGARTSNAVN	TETTHET KG/M³*3	SUSCEPT. SI (lab)	Q-VERDI	
379	2276	17343	33	751730 7738710	M06	KPG	båndet gneis	2868	.00045	-99.99	PR 74
380	2277A	17343	33	751580 7738240	S24	KLU	glimmerskifer	2665	.00025	-99.99	PR 74
381	2280	17343	33	752620 7737340	M11	KRP	amfibolitt	3072	.00144	-99.99	PR 74
382	2280C	17343	33	752620 7737340	M11	KRP	amfibolitt	2960	.00118	-99.99	PR 74
383	2286B	17342	33	757900 7736850	M11	KRP	amfibolitt	2966	.02546	-99.99	PR 74
384	2288	17342	33	758560 7736760	S10	KLU	arenitt	2667	.00020	-99.99	PR 74
385	2289B	17342	33	758320 7735580	S24	KRP	glimmerskifer	2769	.00052	-99.99	PR 74
386	2295A	17342	33	758160 7733710	M11	KRP	amfibolitt	3083	.00143	-99.99	PR 74
387	2300A	17343	33	754670 7733870	S14	KLU	metaarkose	2713	.00026	-99.99	PR 74
388	2302AA	17343	33	754360 7734440	S14	KLU	metaarkose	2674	.00008	-99.99	PR 74
389	2306AA	17343	33	754960 7735000	S24	STV	glimmerskifer	3037	.00041	-99.99	PR 74
390	2306B	17343	33	754960 7735000	M11	KRP	amfibolitt	3034	.00132	-99.99	PR 74
391	2310	17343	33	751890 7737110	M11	KRP	amfibolitt	3098	.00226	-99.99	PR 74
392	2317	17343	33	750070 7737740	I55	KLU	metagabbro	3224	.00137	-99.99	PR 74
393	2318	17343	33	749930 7737620	M01	KPG	granittisk gneis	2708	.00089	-99.99	PR 74
394	2319	17343	33	749880 7737620	M11	KRP	amfibolitt	3174	.00099	-99.99	PR 74
395	2320	17343	33	750670 7737700	M01	KPG	granittisk gneis	2697	.00017	-99.99	PR 74
396	2321AA	17343	33	749460 7737730	M00	KPG	gneis (lagdelt)	2682	.00024	-99.99	PR 74
397	2322	17343	33	749490 7736980	S14	KLU	metaarkose	2792	.00043	-99.99	PR 74
398	2329	17343	33	752050 7735520	S14	KLU	metaarkose	2693	.00024	-99.99	PR 74
399	2331	17343	33	752400 7735450	S14	KLU	metaarkose	2632	.00014	-99.99	PR 74
400	2334	17343	33	752470 7734810	S14	KLU	metaarkose	2682	.00010	-99.99	PR 74
401	2336B	17343	33	752970 7735310	S14	KLU	metaarkose (rosa)	2713	.00016	-99.99	PR 74
402	2341BA	17343	33	753960 7737520	M40	KRP	magnetitt	3389	.22561	-99.99	PR 74
403	2350A	17343	33	749850 7740480	S14	KLU	metaarkose	2831	.00052	-99.99	PR 74
404	2352A	17343	33	747180 7739010	M07	KPG	øyegneis	2707	.00034	-99.99	PR 74
405	2355A	17343	33	751110 7726680	M11	KRP	amfibolitt	3070	.00111	-99.99	PR 74
406	2357A	17343	33	751590 7726830	S24	KRP	glimmerskifer	3084	.00125	-99.99	PR 74
407	2360	17343	33	752380 7727050	S14	KLU	metaarkose	2671	.00018	-99.99	PR 74
408	2363A	17343	33	756030 7728220	S14	KLU	metaarkose	2662	.00018	-99.99	PR 74
409	2364	17343	33	756180 7728280	M11	KRP	amfibolitt	3048	.00283	-99.99	PR 74
410	2365B	17343	33	756370 7728400	S24	KRP	glimmerskifer	2730	.00027	-99.99	PR 74
411	2366	17343	33	756750 7728590	S14	KLU	arkose	2716	.00020	-99.99	PR 74
412	2377	17342	33	760700 7728830	M11	KRP	amfibolitt	2923	.00111	-99.99	PR 74
413	2378B	17342	33	760840 7728940	S24	KRP	glimmerskifer	2830	.15311	-99.99	PR 74
414	2383A	17342	33	759300 7726230	S24	KRP	glimmerskifer	2831	.00062	-99.99	PR 74
415	2399AA	17343	33	744710 7733940	S14	KLU	metaarkose	2818	.00030	-99.99	PR 74
416	3232	17343	33	737340 7741410	M06	KPG	båndet gneis	2735	.00045	-99.99	PR 74
417	3247	17343	33	742500 7736990	I62	OKS	diabas	2828	.00052	-99.99	PR 74
418	3253	17343	33	742460 7738950	I81	OKS	karbonatitt	2758	.00029	-99.99	PR 74
419	3257	17343	33	741340 7739090	S24	OKS	glimmerskifer	2835	.00067	-99.99	PR 74
420	3280	17343	33	738680 7740490	S24	OKS	glimmerskifer	2876	.00045	-99.99	PR 74
421	3281	17343	33	739250 7740890	S24	OKS	glimmerskifer	2836	.00053	-99.99	PR 74
422	3321	17331	33	764680 7698550	S14	KLU	meta-arkose	2697	.00003	-99.99	PR 74
423	3332	17331	33	763450 7697270	S11	KLU	kvartsitt	2671	.00025	-99.99	PR 74
424	3349	17331	33	764800 7700470	S14	KLU	meta-arkose	2712	.00041	-99.99	PR 74
425	3351	17331	33	764020 7700750	S14	KLU	meta-arkose	2735	.00024	-99.99	PR 74
426	3373	17331	33	770970 7701630	S14	KLU	meta-arkose	2651	.00010	-99.99	PR 74
427	3374	17331	33	774870 7701360	S14	KLU	meta-arkose	2658	.00439	-99.99	PR 74
428	3450	16342	33	722110 7733680	S15	SKB	meta-gråvakke	2811	.00045	-99.99	PR 74
429	3511A	16342	33	718380 7735370	S24	SKB	glimmerskifer	2747	.00035	-99.99	PR 74
430	3512A	16342	33	715520 7735240	S14	SKB	meta-arkose	2784	.00313	-99.99	PR 74
431	3514	16342	33	715120 7736760	S14	SKB	meta-arkose	2739	.00177	-99.99	PR 74
432	3515	16342	33	714630 7737610	S24	SKB	glimmerskifer	2809	.00058	-99.99	PR 74

NR.	PRØVNR.	KARTBL.	UTM-NR.	UTM-SONE	UTM-KOORD. ØST(m)	NORD(m)	LIT. KODE	STRAT. KODE	BERGARTSNVN	TETTHET KG/M³*3	SUSCEPT. SI (lab)	Q-VERDI	GEOL.	ÅR ID.
433	3530	16342	33	718510	7743680		S24	SKB	glimmerskifer	2762	.00066	-99.99	PR	74
434	3534	16342	33	718070	7743080		S24	SKB	glimmerskifer	2810	.00039	-99.99	PR	74
435	3541A	16342	33	720480	7745080		S24	SKB	glimmerskifer	2810	.00047	-99.99	PR	74
436	3550	16342	33	717750	7744810		S13	SKB	meta-sandstein	2777	.00028	-99.99	PR	74
437	3562	16342	33	716520	7742930		M00	SKB	gneis	2855	.00074	-99.99	PR	74
438	3581B	16341	33	714930	7750460		S24	SKB	glimmerskifer	3015	.00069	-99.99	PR	74
439	3587	16342	33	713590	7744600		S24	SKB	glimmerskifer	2796	.00020	-99.99	PR	74
440	3590	16342	33	713370	7740760		M00	SKB	gneis	2819	.00100	-99.99	PR	74
441	4012	17344	33	738120	7771200		S24	OKS	glimmerskifer	2759	.00021	-99.99	PR	74
442	4053	17344	33	737110	7772710		S24	KVÆ	glimmerskifer	2675	.00013	-99.99	PR	74
443	4067	17344	33	737330	7777660		S24	OKS	glimmerskifer	2843	.00015	-99.99	PR	74
444	4086I	17344	33	745110	7770130		V41	KVT	phonolitt	2973	.00071	-99.99	PR	74
445	4088A	17344	33	7444500	7769670		M00	KVT	gneis	2888	.00043	-99.99	PR	74
446	4089	17344	33	743910	7769610		V41	KVT	phonolitt	3072	.00056	-99.99	PR	74
447	4103	17344	33	743570	7771490		M00	KVT	gneis	2931	.00067	-99.99	PR	74
448	4104	17344	33	743370	7771520		M00	KVT	gneis	2974	.00056	-99.99	PR	74
449	4121	17344	33	737550	7775970		S41	KVÆ	kalkstein	2704	.00003	-99.99	PR	74
450	4154	17344	33	741810	7766390		S24	OKS	glimmerskifer	2899	.00047	-99.99	PR	74
451	4159	17344	33	741280	7765180		M00	KPG	gneis	2881	.00052	-99.99	PR	74
452	4191	17344	33	749190	7770030		I55	KVT	meta-gabbro	3018	.00063	-99.99	PR	74
453	4195I	17344	33	748850	7769490		I55	KVT	meta-gabbro	2973	.00085	-99.99	PR	74
454	4213I	16342	33	726140	7733570		S14	SKB	metaarkose	2702	.00018	-99.99	PR	74
455	4220	16342	33	721050	7732210		S15	SKB	meta-gråvakke	2789	.00052	-99.99	PR	74
456	4241	17344	33	744470	7776600		I55	KVT	meta-gabbro	2991	.00056	-99.99	PR	74
457	4277C	17344	33	737800	7778460		M12	OKS	serpentinit	2872	.00110	-99.99	PR	74
458	4282	17344	33	752500	7765490		I02	KVÆ	granitt	2655	.00015	-99.99	PR	74
459	4286	17344	33	749400	7765480		S24	OKS	glimmerskifer	2881	.00042	-99.99	PR	74
460	4298	17344	33	736110	7764560		S24	KLU	glimmerskifer	2723	.00020	-99.99	PR	74
461	4301A	17344	33	747680	7766970		M00	KPG	gneis	2873	.00041	-99.99	PR	74
462	4304	17344	33	747970	7768650		I55	KVT	meta-gabbro	2950	.00044	-99.99	PR	74
463	4309	17344	33	745150	7768260		I55	KVT	meta-gabbro	3000	.00055	-99.99	PR	74
464	4316	17344	33	749790	7771170		M00	OKS	gneis	2837	.00051	-99.99	PR	74
465	4319	17344	33	749550	7771800		M00	OKS	gneis	2856	.00044	-99.99	PR	74
466	4321	17344	33	751040	7771770		S41	KVÆ	kalkstein	2728	.00009	-99.99	PR	74
467	4324	17344	33	751470	7770410		S15	OKS	meta-gråvakke	2734	.00034	-99.99	PR	74
468	4348	17344	33	738550	7771900		M00	OKS	gneis	2740	.00037	-99.99	PR	74
469	4365	17344	33	749340	7775160		M08	KVÆ	megamatitt	2795	.00083	-99.99	PR	74
470	4370	17344	33	746750	7771530		M11	KVT	amfibolitt	2955	.00047	-99.99	PR	74
471	4377	17344	33	747160	7775600		S24	OKS	glimmerskifer	2771	.00038	-99.99	PR	74
472	4380	17344	33	746860	7775530		I55	KVT	gabbro	2977	.00046	-99.99	PR	74
473	4383	17344	33	731880	7763870		M04	KLU	glimmergneis	2684	.00014	-99.99	PR	74
474	4392	17344	33	733100	7761160		S24	KVÆ	glimmerskifer	2783	.00032	-99.99	PR	74
475	4436	17344	33	753080	7752230		I55	KVT	meta-gabbro	3037	.00880	-99.99	PR	74
476	4445	17344	33	745010	7754830		S10	OKS	meta-arenitt	2650	.00026	-99.99	PR	74
477	5358	17344	33	747450	7778440		S24	KVÆ	glimmerskifer	2725	.00030	-99.99	PR	74
478	10	12322	33	526100	7612700		M06		båndgneis	2782	.00137	1.28	KK	85
479	102	11322	33	501260	7618000	I80			anortositt	2868	.04231	.56	KK	85
480	103	12323	33	502850	7620650	M00			gneis(uinndelt)	3000	.02343	.12	KK	85
481	13	12323	33	519000	7613000	M06			båndgneis	2726	.00075	.49	KK	85
482	14	12323	33	517850	7612800	M00			gneis(uinndelt)	2802	.00175	.60	KK	85
483	15	12323	33	517100	7612800	M00			gneis(uinndelt)	2825	.00693	.34	KK	85
484	17	12323	33	516050	7610500	M06			båndgneis	2693	.05098	.27	KK	85
485	17-1	12323	33	516000	7610220	M06			båndgneis	2711	.02710	.40	KK	85
486	17-2	12323	33	516000	7610220	M06			båndgneis	2781	.05200	.18	KK	85

NR.	PRØVENR.	KARTBL.	UTM-NR.	UTM-SONE	UTM-KOORD. ØST(m)	NORD(m)	LIT. KODE	STRAT. KODE	BERGARTSNAVN	TETTHET KG/M**3	SUSCEPT. SI (lab)	Q-VERDI	GEOL.	ÅR ID.
487	211	11322	33	497100	7608550	I28			mangeritt retro.	2636	.00125	.52	KK	85
488	212	11322	33	496140	7608420	I28			mangeritt	2744	.01666	.24	KK	85
489	213	11322	33	495340	7608550	I28			mangeritt	2644	.02556	.07	KK	85
490	214	11322	33	493760	7611880	I28			mangeritt	2754	.07791	.27	KK	85
491	215	11322	33	492720	7613200	I28			mangeritt	2780	.01542	.25	KK	85
492	216	11322	33	492860	7613750	I28			mangeritt	2854	.09308	9.38	KK	85
493	218	11322	33	493770	7615150	I28			mangeritt	2827	.08092	.39	KK	85
494	219	11322	33	496100	7615480	I28			mangeritt	2903	.13037	.27	KK	85
495	220	11322	33	497440	7616980	I28			mangeritt	3015	.17054	4.04	KK	85
496	221	11322	33	499980	7617580	I80			anortositt	2802	.02007	.64	KK	85
497	222	12323	33	500880	7618150	I80			anortositt	2835	.04725	2.07	KK	85
498	223	12323	33	501700	7617700	I80			anortositt	2809	.02294	.27	KK	85
499	224	12323	33	502580	7619340	M00			gneis(uinndelt)	3277	.10997	.52	KK	85
500	225	12323	33	503240	7620950	M00			gneis(uinndelt)	3184	.09999	.28	KK	85
501	226	12323	33	504580	7621500	I02			granitt	2609	.00463	1.11	KK	85
502	227	12323	33	506220	7620620	I02			granitt	2610	.00008	.00	KK	85
503	228	12323	33	505880	7622020	M11			amfibolitt	3110	.00173	.60	KK	85
504	229	12323	33	506120	7622820	M11			amfibolitt	2823	.03360	.38	KK	85
505	230	12324	33	506670	7627600	M06			båndgneis	2702	.01022	.43	KK	85
506	231	12324	33	510420	7627350	M00			gneis(uinndelt)	2758	.00368	1.44	KK	85
507	232	12323	33	513000	7626550	M00			gneis(uinndelt)	2878	.07589	.28	KK	85
508	234	12323	33	515120	7622650	M00			gneis(uinndelt)	2862	.06076	.26	KK	85
509	235	12323	33	505820	7626230	M06			båndgneis	2688	.04278	.73	KK	85
510	238	12324	33	515700	7637350	M00			gneis(uinndelt)	2726	.00084	.84	KK	85
511	239	12324	33	513220	7639760	M00			gneis(uinndelt)	2731	.02938	.36	KK	85
512	241	12324	33	505760	7628460	M06			båndgneis	2692	.06291	.14	KK	85
513	242	12324	33	506820	7630620	M06			båndgneis	2758	.03046	.14	KK	85
514	244	12324	33	509750	7634650	M00			gneis(uinndelt)	2795	.02351	.45	KK	85
515	245	12324	33	510820	7637370	M00			gneis(uinndelt)	2784	.00702	1.28	KK	85
516	246	12324	33	511650	7641250	M00			gneis(uinndelt)	3085	.14889	.32	KK	85
517	247	12324	33	511800	7643100	M00			gneis(uinndelt)	2978	.00336	1.16	KK	85
518	248	12324	33	506330	7651300	M00			gneis(uinndelt)	2981	.07101	.83	KK	85
519	249	12333	33	506920	7655550	M00			gneis(uinndelt)	2716	.04062	.06	KK	85
520	250	12324	33	503340	7646520	I02			granitt	2646	.03435	.13	KK	85
521	251	12324	33	501200	7652920	M06			båndgneis	2815	.00591	10.63	KK	85
522	252	12324	33	500920	7651180	M00			gneis(uinndelt)	2930	.02946	.74	KK	85
523	253	12324	33	504050	7639550	M00			gneis(uinndelt)	2715	.03441	.35	KK	85
524	254	12324	33	506020	7637400	M00			gneis(uinndelt)	2740	.02440	.16	KK	85
525	255	11321	33	500720	7633940	M11			amfibolitt	3067	.00385	.68	KK	85
526	256	11322	33	488660	7620660	M00			gneis(uinndelt)	3078	.00961	.30	KK	85
527	257A	11322	33	487900	7620540	I02			granitt	2640	.02373	.24	KK	85
528	257B	11322	33	487900	7620540	I02			granitt	2627	.01674	.42	KK	85
529	258A	11322	33	487420	7620640	I02			granitt	2624	.01734	.38	KK	85
530	258B	11322	33	487420	7620640	I02			granitt	2631	.01863	.32	KK	85
531	259	11322	33	487550	7621940	I02			granitt	2665	.00492	10.50	KK	85
532	260	11322	33	487600	7621250	M00			gneis(uinndelt)	2803	.01390	2.94	KK	85
533	261	11322	33	486740	7622300	I28			mangeritt	2648	.03431	.94	KK	85
534	263	11322	33	488650	7626160	M00			gneis(uinndelt)	2828	.10125	.50	KK	85
535	264	11322	33	488020	7626280	I02			granitt	2611	.00016	.59	KK	85
536	268	11322	33	476820	7618700	I02			granitt	2632	.01431	.27	KK	85
537	269	11322	33	480800	7619100	M00			gneis(uinndelt)	3004	.17535	.26	KK	85
538	270	11322	33	483440	7620270	M00			gneis(uinndelt)	2827	.11451	.20	KK	85
539	271	11322	33	485730	7621060	I28			mangeritt	2770	.12127	.07	KK	85
540	272	11322	33	483300	7618380	M00			gneis(uinndelt)	2784	.07216	.08	KK	85

SIDE 11  
GEOL. ÅR  
ID.

NR.	PRØVNR.	KARTBL.	UTM-NR.	UTM-SONE	UTM-KOORD. ØST(m)	NORD(m)	LIT. KODE	STRAT. KODE	BERGARTSNVN	TETTHET KG/M**3	SUSCEPT. SI (lab)	Q-VERDI	
541	273	11322	33	486540	7616980	M00			gneis(uinndelt)	2886	.14110	.33	KK 85
542	274	11322	33	483810	7616420	M00			gneis(uinndelt)	2763	.07108	.06	KK 85
543	275	11322	33	480440	7610980	I28			mangeritt	2918	.08132	1.81	KK 85
544	276	11322	33	480880	7611430	I55			gabbro	2922	.09548	.43	KK 85
545	277	11322	33	481360	7611920	I55			gabbro	3048	.21850	.47	KK 85
546	278	11322	33	481740	7612180	I55			gabbro	3134	.19975	.33	KK 85
547	279	11322	33	482920	7612720	I55			gabbro	3158	.17867	.27	KK 85
548	280	11322	33	483700	7612810	I55			gabbro	3042	.06717	.79	KK 85
549	281	11322	33	484210	7612970	I55			gabbro	2933	.11609	.17	KK 85
550	282	11322	33	484580	7613100	I55			gabbro	2990	.13955	.09	KK 85
551	283	11322	33	484710	7613530	I28			mangeritt	2962	.14033	.39	KK 85
552	284	11322	33	484900	7613840	M00			gneis(uinndelt)	2758	.05701	.68	KK 85
553	285	11322	33	485000	7614170	I02			granitt	2635	.01728	.14	KK 85
554	286	11322	33	484750	7614640	M00			gneis(uinndelt)	2764	.08757	.27	KK 85
555	287	11322	33	484460	7615000	M00			gneis(uinndelt)	2689	.04060	.74	KK 85
556	288	11321	33	482100	7634100	I55			gabbro	3241	.01731	2.44	KK 85
557	289	11321	33	481260	7632330	I28			mangeritt	2667	.02048	.16	KK 85
558	290	11321	33	486420	7627660	M00			gneis(uinndelt)	2706	.04668	.23	KK 85
559	291	12323	33	510000	7613820	M11			amfibolitt	2787	.00039	.39	KK 85
560	293	12323	33	510350	7614420	M11			amfibolitt	2845	.00048	.05	KK 85
561	294	12323	33	506210	7622580	M11			amfibolitt	2786	.04984	1.91	KK 85
562	295	12323	33	506100	7622400	M11			amfibolitt	2788	.05798	1.44	KK 85
563	296	12323	33	505960	7622250	M11			amfibolitt	2833	.01802	3.20	KK 85
564	297	12323	33	501260	7617900	I80			anortositt	2822	.02056	3.13	KK 85
565	298	11322	33	499960	7617960	I80			anortositt	2913	.01295	.81	KK 85
566	299	11322	33	499110	7617020	I80			anortositt	2773	.01511	2.25	KK 85
567	300	11322	33	487820	7607720	I28			mangeritt	2931	.12222	1.63	KK 85
568	303	11322	33	498360	7601920	I28			mangeritt retro.	2718	.00064	.06	KK 85
569	304	11322	33	499220	7603060	I28			mangeritt retro.	2672	.00030	.43	KK 85
570	34	12323	33	514500	7610050	M00			gneis(uinndelt)	2823	.03021	.14	KK 85
571	35	12323	33	515100	7610050	M00			gneis(uinndelt)	2872	.04712	.32	KK 85
572	35-1	12323	33	515100	7610060	M00			gneis(uinndelt)	2938	.02816	.26	KK 85
573	35-2	12323	33	515100	7610060	M00			gneis(uinndelt)	2850	.02179	.05	KK 85
574	36	12323	33	515750	7609800	M00			gneis(uinndelt)	2867	.02461	.17	KK 85
575	36-1	12323	33	515740	7609850	M00			gneis(uinndelt)	2847	.03971	.31	KK 85
576	36-2	12323	33	515740	7609850	M00			gneis(uinndelt)	2839	.02566	.39	KK 85
577	37	12323	33	516550	7610900	M00			gneis(uinndelt)	2782	.02447	.06	KK 85
578	37-1	12323	33	516540	7610920	M06			båndgneis	2740	.01241	.49	KK 85
579	37-2	12323	33	516540	7610920	M06			båndgneis	2752	.03287	.26	KK 85
580	39	12323	33	516730	7611270	M06			båndgneis	2756	.02932	.18	KK 85
581	39-1	12323	33	516740	7611260	M06			båndgneis	2788	.04123	.21	KK 85
582	39-2	12323	33	516740	7611260	M06			båndgneis	2791	.04645	.44	KK 85
583	40	12323	33	516920	7611470	M00			gneis(uinndelt)	2913	.05507	.42	KK 85
584	64	12323	33	523670	7611400	M06			båndgneis	2746	.00037	.16	KK 85
585	65	12323	33	523380	7611800	M06			båndgneis	2687	.00038	.90	KK 85
586	66	12323	33	523100	7613220	M06			båndgneis	2711	.00673	.26	KK 85
587	67	12323	33	522950	7613400	M06			båndgneis	2733	.00031	1.08	KK 85
588	68	12323	33	522500	7613150	M06			båndgneis	2717	.00088	3.81	KK 85
589	69	12323	33	522000	7613220	M06			båndgneis	2696	.00015	.32	KK 85
590	70	12323	33	521370	7613230	M00			gneis(uinndelt)	2946	.00082	7.48	KK 85
591	71	12323	33	520550	7613000	M06			båndgneis	2782	.00182	.06	KK 85
592	72	12323	33	519770	7613000	M00			gneis(uinndelt)	2815	.00239	1.52	KK 85
593	73	12323	33	519360	7613050	M06			båndgneis	2761	.00056	.59	KK 85
594	74	12323	33	518610	7612950	M06			båndgneis	2713	.00269	.78	KK 85

## SIDE 12

NR.	PRØVNR.	KARTBL.	UTM-	UTM-KOORD.	ØST(m)	NORD(m)	LIT.	STRAT.	BERGARTSNVN	TETTHET	SUSCEPT.	Q-VERDI	GEOL.	ÅR
			NR.	SONE			KODE	KODE		KG/M**3	SI (lab)		ID.	
595	75	12323	33	517930	7612850	M06	båndgneis		2731	.00981	.21	KK	85	
596	76	12323	33	517800	7612720	M00	gneis(uinndelt)		2692	.00823	.18	KK	85	
597	77	12323	33	517750	7612560	M00	gneis(uinndelt)		2850	.01538	.34	KK	85	
598	78	12323	33	517450	7612100	M00	gneis(uinndelt)		2807	.03704	.20	KK	85	
599	78-1	12323	33	517450	7612090	M06	båndgneis		2773	.02181	.42	KK	85	
600	78-2	12323	33	517450	7612090	M06	båndgneis		2741	.02392	.31	KK	85	
601	91	12323	33	518310	7612920	M06	båndgneis		2739	.00232	.07	KK	85	
602	92	12323	33	518190	7612900	M06	båndgneis		2900	.00210	.52	KK	85	
603	94	12323	33	517750	7612640	M06	båndgneis		2832	.01539	.26	KK	85	
604	95	12323	33	517720	7612400	M06	båndgneis		2751	.01948	.32	KK	85	
605	96	12323	33	517610	7612180	M06	båndgneis		3229	.83697	.43	KK	85	
606	12/3	17332	33	768890	7692120	I70	NJA	ultramafitt	2942	.04345	.10	AK	85	
607	12/5	17332	33	769050	7693550	M21	NJA	fels	2704	.00018	1.90	AK	85	
608	12/6	17332	33	770600	7695110	I70	NJA	ultramafitt	2912	.00041	.89	AK	85	
609	12/7	17332	33	771000	7694140	V22	NJA	grønnskifer	2740	.03517	.15	AK	85	
610	13A	17332	33	770770	7693410	S24	NJA	skifer med granat	2966	.00096	.54	AK	85	
611	19	17352	33	770810	7791980	I55	SEI	gabbro	3290	.00325	10.10	DR	87	
612	22	17352	33	773050	7792700	I55	SEI	olivingabbro	2990	.00883	.98	DR	87	
613	23	17352	33	772040	7791800	I55	SEI	gabbro	3148	.00784	.82	DR	87	
614	24	17352	33	773120	7789990	I55	SEI	gabbro	3030	.00400	.90	DR	87	
615	27	17352	33	769680	7791160	I27	SEI	granat-syenitt	2706	.00056	.67	DR	87	
616	31	17352	33	772480	7795460	I73	SEI	peridotitt	3047	.03712	-99.99	DR	87	
617	32	17352	33	771290	7795250	I62	SEI	metadoleritt	3178	.03482	1.17	DR	87	
618	41	17352	33	766940	7784360	I55	SEI	gabbro-gneis	2989	.02942	3.91	DR	87	
619	44	17352	33	769740	7786540	S11	KLU	kvartsitt	2682	.00006	-99.99	DR	87	
620	45	17352	33	773520	7785910	S24	KLU	kvarts-glimmersk.	2650	.00019	16.49	DR	87	
621	46	17352	33	773460	7784500	S24	KLU	kvarts-glimmersk.	2701	.00030	.22	DR	87	
622	50	17352	33	772600	7787130	M06	KPG	båndet gneis	2651	.00017	1.50	DR	87	
623	51	17352	33	772970	7783340	M11	SEI	amfibolitt	3101	.00096	1.34	DR	87	
624	52	17352	33	773610	7783000	M11	SEI	amfibolitt	3119	.00119	.98	DR	87	
625	53	17352	33	772080	7784260	M11	SEI	amfibolitt	3123	.00120	.98	DR	87	
626	55	17352	33	767840	7788470	I27	SEI	syenittgneis	2614	.00037	-99.99	DR	87	
627	60	17352	33	773980	7789380	M00	KPG	granat-gneis	2886	.00040	.34	DR	87	
628	62	17352	33	771500	7790140	I55	SEI	gabbro	3261	.00836	20.53	DR	87	
629	72	18353	33	774170	7792610	I55	SEI	gabbro	2981	.00098	1.09	DR	87	
630	74	18353	33	774130	7792010	S41	SEI	kalkstein	2769	.00029	2.19	DR	87	
631	85	17352	33	774650	7783710	S24	KLU	kvarts-glimmerskifer	2696	.00661	-99.99	DR	87	
632	93	18353	33	774620	7788030	S11	KLU	kvartsitt	2772	.00087	2.39	DR	87	
633	96	18353	33	774670	7788540	S41	KRP	metakalkstein	2747	.00009	-99.99	DR	87	
634	323A	17332	33	770360	7694080	V22	NJA	grønnstein	2860	.00930	-99.99	IL	73	
635	323B	17332	33	770360	7694080	V22	NJA	grønnstein	2800	.04376	-99.99	IL	73	
636	323C	17332	33	770360	7694080	V22	NJA	grønnstein	2770	.06187	-99.99	IL	73	
637	323D	17332	33	770360	7694080	V22	NJA	grønnstein	2890	.30819	-99.99	IL	73	
638	324A	17332	33	770820	7694470	S24	NJA	glimmerskifer	2750	.00055	-99.99	IL	73	
639	325	17332	33	770510	7695050	V22	NJA	grønnstein	2740	.00039	-99.99	IL	73	
640	326A	17332	33	770480	7695400	M05	NJA	hornblendegegneis	2800	.00021	-99.99	IL	73	
641	326B	17332	33	770480	7695400	M05	NJA	hornblendegegneis	2740	.00026	-99.99	IL	73	
642	326C	17332	33	770480	7695400	M05	NJA	hornblendegegneis	2880	.00047	-99.99	IL	73	
643	327A	17332	33	770550	7695150	M05	NJA	hornblendegegneis	2990	.00162	-99.99	IL	73	
644	329	17332	33	771020	7695500	V22	NJA	grønnstein	3040	.00137	-99.99	IL	73	
645	331	17332	33	771040	7695300	V22	NJA	grønnstein	2960	.00098	-99.99	IL	73	
646	338	17332	33	771430	7694330	M00	RAS	gneis	2580	.00012	-99.99	IL	73	
647	339A	17332	33	772680	7693450	M05	RAS	hornblendegegneis	3010	.00092	-99.99	IL	73	
648	339B	17332	33	772680	7693450	M05	RAS	hornblendegegneis	2670	.00017	-99.99	IL	73	

NR.	PRØVENR.	KARTBL.	UTM-NR.	UTM-SONE	UTM-KOORD. ØST(m)	NORD(m)	LIT. KODE	STRAT. KODE	BERGARTSNAVN	TETTHET KG/M**3	SUSCEPT. SI (lab)	Q-VERDI	GEOL. ID.	ÅR
649	156A	17332	33	773400	7695780	I02	RAS	granitt	2560	.00014	-99.99	IL	74	
650	152A	17332	33	769540	7696710	I02	RAS	granitt	2580	.00016	-99.99	JG	73	
651	155A	17332	33	773510	7695740	M00	RAS	gneisgranitt	2860	.00105	-99.99	JG	73	
652	156A	17332	33	773400	7695780	I02	RAS	granitt	2560	.00014	-99.99	JG	73	
653	156B	17332	33	773400	7695780	I02	RAS	granitt	2590	.00067	-99.99	JG	73	
654	160	17332	33	772000	7694190	V22	RAS	grønnstein	2980	.00100	-99.99	JG	73	
655	162	17332	33	771250	7691600	M05	NJA	hornblendegneis	2960	.00100	-99.99	JG	73	
656	163	17332	33	770910	7693580	V22	NJA	grønnstein	3000	.00093	-99.99	JG	73	
657	251B	17332	33	771430	7688750	M21	RAS	fels	2720	.00020	-99.99	JG	73	
658	235	17332	33	769510	7694450	V04	RAS	tuff	2650	.00025	-99.99	JI	73	
659	238	17332	33	768880	7693230	I30	NJA	dioritt	2840	.10266	-99.99	JI	73	
660	251A	17332	33	771430	7688750	M21	RAS	fels	2730	.00043	-99.99	JI	73	
661	253	17332	33	772000	7689110	I55	NJA	forgneiset gabbro	2940	.00087	-99.99	JI	73	
662	255A	17332	33	770870	7689300	V00	RAS	agglomerat	2650	.00019	-99.99	JI	73	
663	257A	17332	33	771700	7690140	M21	NJA	fels	2570	.00032	-99.99	JI	73	
664	265B	17332	33	772440	7689710	S41	NJA	kalkstein	2670	.00009	-99.99	JI	73	
665	266A	17332	33	772440	7689710	V22	NJA	grønnstein	3080	.10752	-99.99	JI	73	
666	266B	17332	33	772440	7689710	V22	NJA	grønnstein	2870	.16637	-99.99	JI	73	
667	279	17332	33	770350	7693070	V00	NJA	agglomerat	2670	.00012	-99.99	JI	73	
668	280	17332	33	771020	7692380	V00	NJA	agglomerat	2660	.00017	-99.99	JI	73	
669	281A	17332	33	771250	7692660	V00	NJA	agglomerat	2590	.00011	-99.99	JI	73	
670	281B	17332	33	771250	7692660	V00	NJA	agglomerat	2560	.00009	-99.99	JI	73	
671	281C	17332	33	771250	7692660	V00	NJA	agglomerat	2660	.00011	-99.99	JI	73	
672	294	17332	33	771580	7686250	M01	RAS	granittisk gneis	2630	.00010	-99.99	JI	73	
673	js006	17341	33	769490	7772740	V24	KVE	meta-diabas	2958	.00835	-99.99	JSS	81	
674	js008	17341	33	769530	7772340	V24	KVE	meta-diabas	3050	.00148	-99.99	JSS	81	
675	js010	17341	33	769830	7772370	V25	KVE	meta-diabas	2996	.04610	-99.99	JSS	81	
676	js011	17341	33	769620	7772450	V25	KVE	meta-diabas	3040	.00070	-99.99	JSS	81	
677	js014	17341	33	768180	7772810	V25	KVE	meta diabas	3067	.00093	-99.99	JSS	81	
678	js015	17341	33	768180	7772810	V25	KVE	meta-diabas	3000	.00092	-99.99	JSS	81	
679	js016	17341	33	767980	7772790	V21	KVE	meta-basalt	2839	.00049	-99.99	JSS	81	
680	js017	17341	33	767000	7782750	V25	KVE	mmeta-diabas	3018	.00091	-99.99	JSS	81	
681	js021	17341	33	766790	7772570	S43	KVE	dolomitt	2853	.00018	-99.99	JSS	81	
682	js023	17341	33	7666790	7772570	V25	KVE	metadiabas	3007	.14966	-99.99	JSS	81	
683	js025	17341	33	766690	7772560	V25	KVE	meta-diabas	3012	.25862	-99.99	JSS	81	
684	js026	17341	33	766520	7772350	V21	KVE	metabasalit	2855	.00521	-99.99	JSS	81	
685	js027	17341	33	766400	7772530	V21	KVE	metabasalit	3011	.00162	-99.99	JSS	81	
686	js029	17341	33	767180	7773720	V24	KVE	tuff	2756	.00139	-99.99	JSS	81	
687	js030	17341	33	762950	7774810	V21	KVE	meta-basalt	2940	.00166	-99.99	JSS	81	
688	js031	17341	33	763050	7774820	V21	KVE	meta-basalt	3031	.00142	-99.99	JSS	81	
689	js032	17341	33	763290	7774440	V24	KVE	tuff	3020	.00091	-99.99	JSS	81	
690	js034	17341	33	763110	7774220	V25	KVE	meta-diabas	2902	.07544	-99.99	JSS	81	
691	js036	17341	33	763110	7774220	V25	KVE	meta-diabas	2817	.13398	-99.99	JSS	81	
692	js039	17341	33	763990	7769380	V21	KVE	meta-basalt	3092	.00096	-99.99	JSS	81	
693	js040	17341	33	764210	7770210	V25	KVE	meta-diabas	3124	.00092	-99.99	JSS	81	
694	js041	17341	33	764320	7770120	V25	KVE	meta-diabas	2994	.00091	-99.99	JSS	81	
695	js042	17341	33	764330	7770020	V24	KVE	tuff	2743	.00037	-99.99	JSS	81	
696	js044	17341	33	764100	7770300	V24	KVE	tuff	2952	.00094	-99.99	JSS	81	
697	js045	17341	33	764200	7770310	V25	KVE	meta-diabas	3122	.00228	-99.99	JSS	81	
698	js046	17341	33	764390	7770430	V21	KVE	meta-basalt	2918	.00000	-99.99	JSS	81	
699	js047	17341	33	764590	7770450	V21	KVE	meta-basalt	3007	.00434	-99.99	JSS	81	
700	js048	17341	33	764630	7769040	V25	KVE	meta-diabas	3081	.00117	-99.99	JSS	81	
701	js049	17341	33	764450	7768820	V24	KVE	tuff	2846	.00111	-99.99	JSS	81	
702	js052a	17341	33	765680	7769550	V25	KVE	meta-diabas	3035	.00086	-99.99	JSS	81	

NR.	PRØVNR.	KARTBL.	UTM-	UTM-KOORD.	LIT.	STRAT.	BERGARTSNAVN	TETTHET	SUSCEPT.	Q-VERDI	GEOL.	ÅR
		NR.	SONE	ØST(m) NORD(m)	KODE	KODE		KG/M³*3	SI (lab)		ID.	
703	j053	17341	33	765500 7769430	S40	KVE	karbonat	2786	.00010	-99.99	JSS	81
704	j058	17341	33	767470 7769820	V25	KVE	meta-diabas	3026	.00081	-99.99	JSS	81
705	j059	17341	33	767240 7770100	V25	KVE	meta-diabas	2856	.00059	-99.99	JSS	81
706	j060	17341	33	766780 7771670	V25	KVE	meta-diabas	2933	.49646	-99.99	JSS	81
707	j061	17341	33	766850 7770970	S21	KVE	leirskifer	2728	.00127	-99.99	JSS	81
708	j062	17341	33	766630 7771150	S21	KVE	leirskifer	2822	.00208	-99.99	JSS	81
709	j063	17341	33	766110 7771400	V21	KVE	meta-basalt	3058	.00109	-99.99	JSS	81
710	j064	17341	33	763240 7770920	V25	KVE	meta-diabas	3030	.00096	-99.99	JSS	81
711	j065	17341	33	763410 7771230	V25	KVE	meta-diabas	2971	.00111	-99.99	JSS	81
712	j067	17341	33	763900 7771280	V25	KVE	meta-diabas	2922	.00092	-99.99	JSS	81
713	j069	17341	33	763970 7771590	S21	KVE	leirskifer	2583	.00023	-99.99	JSS	81
714	j070	17341	33	763970 7771590	V25	KVE	meta-diabas	3030	.00131	-99.99	JSS	81
715	j071	17341	33	763970 7771590	V25	KVE	meta-diabas	2963	.00105	-99.99	JSS	81
716	j076	17341	33	766060 7768780	S21	KVE	leirskifer	2578	.00033	-99.99	JSS	81
717	j078	17341	33	766470 7768720	V24	KVE	tuff	2992	.00141	-99.99	JSS	81
718	j081	17341	33	766980 7768670	V25	KVE	meta-diabas	3022	.00086	-99.99	JSS	81
719	j083	17341	33	766790 7768550	M23	KVE	meta-diabas	2692	.01976	-99.99	JSS	81
720	j087	17341	33	766010 7767270	V25	KVE	meta-diabas	3035	.00085	-99.99	JSS	81
721	j090	17341	33	765320 7768100	V25	KVE	meta-diabas	3030	.00100	-99.99	JSS	81
722	j091	17341	33	765380 7767510	V21	KVE	meta-basalt	3003	.00129	-99.99	JSS	81
723	j093	17341	33	766750 7774080	V24	KVE	tuff	2757	.00039	-99.99	JSS	81
724	j094	17341	33	766530 7773250	V25	KVE	meta-diabas	2896	.00078	-99.99	JSS	81
725	j095	17341	33	766250 7773020	V21	KVE	meta-basalt	2918	.00196	-99.99	JSS	81
726	j096	17341	33	766170 7772810	V21	KVE	meta-basalt	3080	.00136	-99.99	JSS	81
727	j097	17341	33	766680 7772660	S40	KVE	karbonat	2620	.00015	-99.99	JSS	81
728	j099	17341	33	766690 7772560	V25	KVE	meta-diabas	3044	.41882	-99.99	JSS	81
729	j100	17341	33	765070 7774720	V25	KVE	meta-diabas	2997	.00130	-99.99	JSS	81
730	j101	17341	33	765490 7774560	V21	KVE	meta-basalt	2998	.00084	-99.99	JSS	81
731	j102	17341	33	765660 7774880	V21	KVE	meta-basalt	3061	.00096	-99.99	JSS	81
732	j103	17341	33	762920 7774100	V25	KVE	meta-diabas	2775	.00083	-99.99	JSS	81
733	j106	17341	33	762440 7773850	M41	KVE	magn. og kis	3178	.67925	-99.99	JSS	81
734	j108	17341	33	770300 7765580	V21	KVE	meta-basalt	2917	.00081	-99.99	JSS	81
735	j111	17341	33	770690 7765720	V21	KVE	meta-basalt	2816	.00106	-99.99	JSS	81
736	j112	17341	33	770690 7765720	V24	KVE	tuff	2876	.00146	-99.99	JSS	81
737	j18	17341	33	767890 7773690	V21	KVE	meta-basalt	2919	.00101	-99.99	JSS	81
738	j85001	17341	33	759580 7772260	S43	BOS	dolomitt	2856	.00008	-99.99	JSS	85
739	j85002	17341	33	759580 7772260	M41	BOS	kvartsitt sk. m.kis	2838	.00007	-99.99	JSS	85
740	j85003	17341	33	760190 7772220	M41	BOS	barytt	4358	.00016	-99.99	JSS	85
741	j85010	17362	33	763500 7848580	S41	FAL	kalkstein	2715	.00032	-99.99	JSS	85
742	j85011	17362	33	763500 7848580	S24	FAL	biot.skifer m/s.kis	2741	.00458	-99.99	JSS	85
743	j85022	18363	33	769310 7846750	I26	SEI	leukoratisk syenitt	2593	.01479	-99.99	JSS	85
744	j85024	18363	33	769330 7846550	S14	KLU	metaarkose	2693	.00026	-99.99	JSS	85
745	011	17341	33	754410 7768180	M06	KPG	båndet gneis	2613	.00351	-99.99	KBZ	87
746	013AB	17341	33	754010 7768140	S24	STV	glimmerskifer	3085	.00107	-99.99	KBZ	87
747	014AA	17341	33	753860 7768080	M30		mylonitt	2828	.00048	-99.99	KBZ	87
748	014BB	17341	33	753860 7768080	M30		mylonitt	2789	.00040	-99.99	KBZ	87
749	018A	17341	33	754190 7767810	S24	STV	glimmerskifer	2628	.00012	-99.99	KBZ	87
750	020	17341	33	760580 7755020	S11	KLU	kvartsitt	2656	.00014	-99.99	KBZ	87
751	023B	17341	33	759810 7760820	M11	KRP	amfibolitt	3153	.00103	-99.99	KBZ	87
752	024BC	17341	33	759720 7760710	M07	KPG	øyegneis m/biotitt	2755	.00045	-99.99	KBZ	87
753	025BB	17341	33	759580 7760600	M03	KPG	gneis,trondh.ittisk?	2647	.00023	-99.99	KBZ	87
754	035	17344	33	753070 7767400	S13	KLU	sandstein	2702	.00027	-99.99	KBZ	87
755	038A	17344	33	752530 7767800	S41	KVÆ	kalkstein	2698	.00009	-99.99	KBZ	87
756	039A	17344	33	752430 7767840	S24	KVÆ	glimmerskifer	2790	.00033	-99.99	KBZ	87

SIDE 15  
GEOL. ÅR  
ID.

NR.	PRØVENR.	KARTBL.	UTM-NR.	UTM-SONE	UTM-KOORD. ØST(m)	UTM-KOORD. NORD(m)	LIT. KODE	STRAT. KODE	BERGARTSNVN	TETTHET KG/M**3	SUSCEPT. SI (lab)	Q-VERDI	
757	042A	17344	33	752880	7768380	S14	KLU	metaarkose	2680	.00034	-99.99	KBZ	87
758	043	17344	33	752590	7768710	S14	KLU	metaarkose	2725	.00057	-99.99	KBZ	87
759	046B	17344	33	751720	7769380	M11	KRP	amfibolitt	3006	.00074	-99.99	KBZ	87
760	047	17344	33	751750	7769580	S14	KLU	metaarkose?	2617	.00027	-99.99	KBZ	87
761	0522A	17342	33	773530	7748650	M04	KPG	glimmergneis	2663	.00008	-99.99	KBZ	87
762	053	17341	33	754330	7766920	S14	KLU	metaarkose	2631	.00019	-99.99	KBZ	87
763	0544	17342	33	770340	7748890	S14	KLU	metaarkose	2655	.00006	-99.99	KBZ	87
764	0584	17342	33	772740	7748970	M04	KPG	glimmergneis	2747	.00021	-99.99	KBZ	87
765	0648	17342	33	759110	7749090	S11	KLU	kvartsitt	2682	.00070	-99.99	KBZ	87
766	0692	17342	33	772870	7730830	S14	KLU	metaarkose	2652	.00022	-99.99	KBZ	87
767	0712	17342	33	765670	7732940	S14	KLU	metaarkose	2627	.00225	-99.99	KBZ	87
768	0715	17342	33	767820	7734610	S14	KLU	metaarkose	2655	.00009	-99.99	KBZ	87
769	0729	17341	33	774140	7754740	S14	KLU	metaarkose	2740	.00013	-99.99	KBZ	87
770	072A	17344	33	753350	7766670	M00	KPG	granatgneis	2688	.00019	-99.99	KBZ	87
771	0746	17342	33	772740	7747010	M00	KPG	gneis	2668	.00023	-99.99	KBZ	87
772	078	17341	33	757480	7763560	S13	KLU	protokvartssandstein	2642	.00012	-99.99	KBZ	87
773	091	17341	33	755970	7763510	S14	KLU	metaarkose	2654	.00024	-99.99	KBZ	87
774	099	17344	33	752490	7761110	M01	KPG	granittisk gneis	2606	.00018	-99.99	KBZ	87
775	1002	17341	33	765010	7757510	M16	KRP	hornblende skifer	2905	.00021	-99.99	KBZ	87
776	1002B	17341	33	765010	7757510	M16	KRP	hornblendeskifer	2897	.00058	-99.99	KBZ	87
777	1006A	17341	33	765080	7758380	S14	KLU	metaarkose	2690	.00018	-99.99	KBZ	87
778	1011A	17341	33	764040	7758170	M01	KPG	granittisk gneis	2893	.19013	-99.99	KBZ	87
779	1016	17341	33	762870	7758310	S14	KLU	metaarkose	2636	.00011	-99.99	KBZ	87
780	1024	17341	33	764850	7756590	M16	KRP	hornblendeskifer	2979	.00103	-99.99	KBZ	87
781	1029	17341	33	762910	7755350	M20		skarn	3233	.00152	-99.99	KBZ	87
782	1031A	17341	33	762890	7754040	S11	KLU	kvartsitt	2664	.00030	-99.99	KBZ	87
783	1033	17341	33	763750	7754020	S11	KLU	kvartsitt	2661	.00008	-99.99	KBZ	87
784	1034	17341	33	763910	7753890	S24	STV	glimmerskifer	2795	.00038	-99.99	KBZ	87
785	1036	17341	33	764100	7754510	S14	KLU	metaarkose	2607	.00008	-99.99	KBZ	87
786	1042	17341	33	765420	7754940	M06	KPG	båndet gneis	2668	.00069	-99.99	KBZ	87
787	1056	17342	33	767050	7753140	S14	KLU	metaarkose	2685	.00014	-99.99	KBZ	87
788	1070	17342	33	767540	7751730	S24	STV	glimmerskifer	2655	.00039	-99.99	KBZ	87
789	1078	17342	33	768230	7750840	S24	STV	glimmerskifer	3057	.00084	-99.99	KBZ	87
790	1079	17342	33	768210	7750590	M06	KPG	båndet gneis	2717	.00034	-99.99	KBZ	87
791	110A	17341	33	755930	7760840	S24	STV	glimmerslifer	3082	.00100	-99.99	KBZ	87
792	111A	17341	33	755910	7760590	I55	KVT	gabbro	2943	.00077	-99.99	KBZ	87
793	1165	17341	33	757130	7752810	S24	STV	glimmerskifer	2924	.00088	-99.99	KBZ	87
794	1166A	17341	33	757960	7753100	M07	KPG	øyegneis	2726	.00028	-99.99	KBZ	87
795	1176	17341	33	760020	7755060	S11	KLU	kvartsitt	2664	.00031	-99.99	KBZ	87
796	1177	17341	33	760100	7755320	S11	KLU	kvartsitt	2658	.00046	-99.99	KBZ	87
797	1178C	17342	33	756850	7751580	M11	KRP	amfibolitt	3068	.00094	-99.99	KBZ	87
798	1179B	17342	33	756470	7750790	M00	KPG	gneis	2808	.00050	-99.99	KBZ	87
799	1181	17342	33	767960	7750060	M16	KRP	hornblendeskifer	2987	.00001	-99.99	KBZ	87
800	1182B	17341	33	755810	7752890	S14	KLU	metaarkose	2637	.00048	-99.99	KBZ	87
801	119	17341	33	758010	7760190	S22	STV	argillitt	2900	.00050	-99.99	KBZ	87
802	1228A	17343	33	755750	7745390	M06	KPG	båndet gneis	2909	.00050	-99.99	KBZ	87
803	1233A	17343	33	754800	7742730	M00	KPG	gneis	2630	.00025	-99.99	KBZ	87
804	1238B	17342	33	755700	7748950	S14	KLU	metaarkose	2661	.00011	-99.99	KBZ	87
805	1240B	17342	33	758160	7746480	M11	KRP	amfibolitt	2739	.00022	-99.99	KBZ	87
806	127A	17341	33	766100	7758170	S14	KLU	metaarkose lys	2664	.00020	-99.99	KBZ	87
807	1284A	17341	33	766710	7781110	M05	KPG	hornblendegneis	2861	.00051	-99.99	KBZ	87
808	140B	17341	33	759680	7759050	S11	KLU	kvartsitt	2636	.00004	-99.99	KBZ	87
809	150	17341	33	754530	7763400	S41	KVÆ	kalkstein	2669	.00002	-99.99	KBZ	87
810	152	17341	33	754630	7762980	S24	STV	glimmerskifer	2737	.00023	-99.99	KBZ	87

NR.	PRØVENR.	KARTBL.	UTM-NR.	UTM-KOORD. ØST(m)	UTM-KOORD. NORD(m)	LIT. KODE	STRAT. KODE	BERGARTSNAVN	TETTHET KG/M**3	SUSCEPT. SI (lab)	Q-VERDI	GEOL. ID.	ÅR
811	250B	17341	33	758460	7762750	M30		mylonitt	2659	.00025	-99.99	KBZ	87
812	253BB	17341	33	758270	7761680	I55		gabbro	3221	.00141	-99.99	KBZ	87
813	257	17341	33	757590	7761360	S14	KLU	metaarkose	2717	.00022	-99.99	KBZ	87
814	51	17344	33	753030	7769400	S13	KLU	protokvartsandstein	2646	.00030	-99.99	KBZ	87
815	649	17342	33	760100	7749180	I30	KPG	dioritt	3041	.35022	-99.99	KBZ	87
816	67	17341	33	753850	7766720	S11	KLU	kvartsitt	2643	.00008	-99.99	KBZ	87
817	10A	17351	33	768470	7836000	I55	SEI	metagaabro	3014	.00137	3.12 00	88	
818	11A	18363	33	768790	7843370	S10	KLU	metapsamitt	2765	.00039	.57 00	88	
819	13A	17362	33	763500	7848530	S42	FAL	marmor	2712	.00012	-99.99 00	88	
820	13B	17362	33	763500	7848530	S24	STV	glimmerskifer	2713	.00013	1.25 00	88	
821	19	18363	33	772020	7849880	I55	SEI	metagabbro	3081	.00094	.26 00	88	
822	20	18363	33	771730	7849750	I55	SEI	metagabbro	3111	.00116	.31 00	88	
823	21A	18363	33	769430	7844040	I55	SEI	metagabbro	3053	.00132	1.52 00	88	
824	22A	18363	33	769310	7843680	I55	SEI	metagabbro	3082	.04152	.11 00	88	
825	23A	18363	33	768360	7842630	I62	SEI	metadiabas	3016	.00071	.21 00	88	
826	23B	18363	33	768360	7842630	S10	KLU	metapsamitt	2742	.00037	.88 00	88	
827	24	18363	33	769340	7844430	I55	SEI	metagabbro	3016	.00107	.30 00	88	
828	25A	18363	33	769480	7845050	I55	SEI	metagabbro	3073	.00716	.22 00	88	
829	25B	18363	33	769480	7845050	S10	KLU	metapsamitt	2633	.03987	.08 00	88	
830	26	17351	33	766630	7835220	I55	SEI	metagabbro	3077	.00994	.79 00	88	
831	27	17362	33	760220	7849720	S24	STV	glimmerskifer	2700	.00015	1.93 00	88	
832	28	17362	33	761450	7848480	S24	STV	glimmerskifer	2741	.00034	.44 00	88	
833	29	17362	33	764520	7849440	S24	STV	glimmerskifer	2741	.00026	.78 00	88	
834	30	17362	33	766230	7849960	S10	KLU	metapsamitt	2709	.00022	1.15 00	88	
835	31	18363	33	768040	7849940	S10	KLU	metapsamitt	2684	.00014	1.07 00	88	
836	32	18363	33	770020	7847720	S10	KLU	metapsamitt	2800	.00049	.28 00	88	
837	33	18363	33	769220	7846130	S10	KLU	metapsamitt	2730	.00028	1.01 00	88	
838	34	17362	33	767800	7842170	S10	KLU	metapsamitt	2741	.00038	1.94 00	88	
839	35	17362	33	767140	7842260	S10	KLU	metapsamitt	2686	.00010	1.96 00	88	
840	36	17362	33	766630	7841300	S10	KLU	metapsamitt	2669	.00009	3.08 00	88	
841	37	17362	33	765700	7838490	S10	KLU	metapsamitt	2738	.00031	.64 00	88	
842	38	17351	33	765700	7836480	S10	KLU	metapsamitt	2711	.00061	1.26 00	88	
843	39	17351	33	766730	7835780	I55	SEI	metagabbro	3073	.00762	.53 00	88	
844	48	17352	33	772910	7797430	I70	SEI	ultramafitt	3376	.00712	4.72 SE	90	
845	69	17352	33	771320	7787350	I55	SEI	gabbrogneis	3031	.00110	4.75 SE	90	
846	804	17332	33	774600	7684140	V22	NJA	grønnsteink	3040	.00090	-99.99	TM	73
847	2000	15341	33	669880	7759690	I80	GBT	anorthosit	2738	.00055	.42	KBZ	89
848	2000A	15341	33	669880	7759690	I25	GBT	kvarstdioritt	2708	.00032	3.04	KBZ	89
849	2000B	15341	33	669880	7759690	I62	GBT	diabas	3046	.00117	.79	KBZ	89
850	2003	15341	33	669390	7757530	I04	GBT	tonalitt	2628	.00043	2.14	KBZ	89
851	2004	15341	33	667850	7754870	I04	GBT	tonalitt	2676	.00023	3.03	KBZ	89
852	2008	15341	33	667030	7752930	I04	GBT	tonalitt	2711	.00010	10.38	KBZ	89
853	2012	15341	33	665590	7750770	I04	GBT	tonalitt	2724	.00005	9.98	KBZ	89
854	2022	15341	33	669420	7760800	I80	GBT	anorthosit/nylonit	2622	.00019	12.88	KBZ	89
855	2025	15341	33	668850	7761500	I80	GBT	anorthosit/nylonit	3095	.00643	.24	KBZ	89
856	2027	15341	33	669050	7761520	I80	GBT	anorthosit	2674	.01852	.62	KBZ	89
857	2032	15341	33	669040	7760110	I80	GBT	anorthosit	2698	.00014	8.42	KBZ	89
858	2034	15341	33	668600	7759510	I04	GBT	tonalitt	2720	.00009	14.27	KBZ	89
859	2044	15344	33	659640	7747930	I25	GBT	kvarstdioritt	2655	.00016	8.05	KBZ	89
860	2048	15344	33	657660	7747630	I80	GBT	anorthosit	2975	.00005	13.98	KBZ	89
861	2052	15344	33	656080	7749380	M03	GBT	granatkv.dioritt	2903	.00178	5.28	KBZ	89
862	2053	15344	33	654940	7750730	I25	GBT	bi.hb.kv.dioritt	2783	.00028	4.70	KBZ	89
863	2053A	15344	33	654940	7750730	I20	GBT	kvarstdioritt	2743	.00056	4.88	KBZ	89
864	2057	15344	33	654250	7752620	I80	GBT	anorthositgang	2663	.00001	59.83	KBZ	89

NR.	PRØVENR.	KARTBL.	UTM-	UTM-KOORD.	LIT.	STRAT.	BERGARTSNAVN	TETTHET	SUSCEPT.	Q-VERDI	GEOL.	ÅR
		NR.	SONE	ØST(m) NORD(m)	KODE	KODE		KG/M**3	SI (lab)		ID.	
865	2060	15344	33	651980 7754210	I62	GBT	mørk gangb.a.	3033	.00079	.89	KBZ	89
866	2070	15344	33	648000 7758390	I25	GBT	gr.hb.kvartsdioritt	2793	.00046	1.44	KBZ	89
867	2074	15344	33	647440 7760540	I25	GBT	stripet bi.kv.diori	2771	.00025	1.52	KBZ	89
868	2075	15344	33	647050 7761410	I80	GBT	anorthositt	2847	.00361	.13	KBZ	89
869	2075A	15344	33	647050 7761410	I80	GBT	anorthositt	2829	.00010	12.08	KBZ	89
870	2090	15341	33	667100 7772630	I04	GBT	tonalitt	2675	.00009	18.52	KBZ	89
871	2096	15352	33	663820 7773770	I04	GBT	tonalitt	2709	.00017	5.44	KBZ	89
872	2097	15352	33	664040 7774140	I04	GBT	tonalitt	2672	.00017	3.39	KBZ	89
873	2098	15352	33	664120 7774300	I04	GBT	tonalitt	2669	.00010	11.87	KBZ	89
874	2107	15352	33	662920 7776790	I04	GBT	tonalitt	2673	.00010	14.79	KBZ	89
875	2110A	15344	33	651790 7752080	I00	GBT	tonalitt	2671	.00280	.16	KBZ	89
876	2110B	15344	33	651790 7752080	M00	GBT	migmatitt	2762	.00025	2.35	KBZ	89
877	2110C	15344	33	651790 7752080	I55	GBT		2991	.00099	.48	KBZ	89
878	2110D	15344	33	651790 7752080	I10	GBT	lys gang	2681	.00764	.08	KBZ	89
879	2110E	15344	33	651790 7752080	I62	GBT	mørk gang	3102	.00377	.13	KBZ	89
880	2110G	15344	33	651790 7752080	I62	GBT	eldre gang	3084	.19513	.10	KBZ	89
881	2110J	15344	33	651790 7752080	I62	GBT	ung gang	3134	.10112	.11	KBZ	89
882	2112	15344	33	651300 7751930	I80	GBT	anorthositt	2887	.00016	3.37	KBZ	89
883	2118	15344	33	650080 7752110	S24	GBT	granatbi.skifer	2773	.00089	1.33	KBZ	89
884	2120	15344	33	644420 7751900	M00	GBT	gneis	2858	.00152	1.04	KBZ	89
885	2120A	15344	33	644420 7751900	I80	GBT	anorthositt gang	2695	.00033	1.65	KBZ	89
886	2125	15344	33	647010 7753110	M04	GBT	bi.gneis	2840	.00056	1.83	KBZ	89
887	2125A	15344	33	647010 7753110	I10	GBT	tverrgang lys	2700	.00041	2.67	KBZ	89
888	2131	15344	33	646860 7754660	I13	GBT	granaatpegmatitt	2824	.00298	.56	KBZ	89
889	2143	15344	33	648780 7744390	I13	GBT	pegmatitt rosa	2645	.00002	53.90	KBZ	89
890	2143A	15344	33	648780 7744390	I13	GBT	pegmatitt lys grå	2669	.00011	3.88	KBZ	89
891	2144	15344	33	645660 7746450	I02	GBT	rød granitt	2644	.00621	.33	KBZ	89
892	2146	15344	33	645560 7746940	I02	GBT	rød granitt	2654	.00160	.25	KBZ	89
893	2147	15353	33	655280 7775240	I20	GBT	tverrgang lys	2851	.00248	.64	KBZ	89
894	2147A	15353	33	655280 7775240	I10	GBT	tverrgang fink	2662	.00035	2.09	KBZ	89
895	2149	15353	33	654680 7775730	S13	GBT	sandstein skifer	2750	.00034	1.84	KBZ	89
896	2149A	15353	33	654680 7775730	S13	GBT	sandstein	2673	.00009	16.43	KBZ	89
897	2152	15353	33	654200 7775980	M16	GBT	skifer	3047	.02003	.03	KBZ	89
898	2154	15353	33	653740 7776140	S20	GBT	skifer	2728	.00569	.06	KBZ	89
899	2155	15353	33	653360 7776860	M06	GBT	båndet gneis	2748	.01315	.05	KBZ	89
900	2155A	15353	33	653360 7776860	I13	GBT	pegmatitt rosa	2632	.00011	4.43	KBZ	89
901	2160	15353	33	651450 7778930	M00	GBT	gneis grå	2745	.00043	.56	KBZ	89
902	2160A	15353	33	651450 7778930	M00	GBT	pegmatitt rosa	2619	.00005	7.22	KBZ	89
903	2162	15353	33	650300 7777910	M00	GBT	gneis.grovk.migm.	2720	.00021	4.22	KBZ	89
904	2164	15353	33	650110 7777240	M16	GBT	hb.skifer	3150	.00150	.58	KBZ	89
905	2173	15353	33	647500 7775670	M00	GBT	gneis	2719	.00020	8.90	KBZ	89
906	2176	15353	33	646440 7775220	M00	GBT	gneis	2670	.00037	.98	KBZ	89
907	2179	15353	33	645380 7774710	M00	GBT	gneis	2731	.00024	2.17	KBZ	89
908	2182	15353	33	643480 7773670	M05	GBT	hb.gneis	2838	.00036	.72	KBZ	89
909	2188	15353	33	649700 7778350	S13	GBT	sandst.keratofyrisk	2565	.00017	4.91	KBZ	89
910	2189	15353	33	649610 7777740	M16	GBT	hb.skifer?	3051	.00419	.30	KBZ	89
911	2189A	15353	33	649610 7777740	V03	GBT	keratofyr	2628	.00024	2.99	KBZ	89
912	2190	15353	33	649190 7777350	S13	GBT	sandstein lys	2800	.00056	1.41	KBZ	89
913	2192	15353	33	649160 7776640	M00	GBT	gneis lys grå	2644	.00010	26.17	KBZ	89
914	2194	15353	33	649480 7776470	S13	GBT	sandstein lys	2776	.00020	5.18	KBZ	89
915	2731	11322	33	484850 7606200	M00	PLO	gneiss	2814	.07057	.23	CS	79
916	2751	11322	33	487650 7608200	M00	PLO	mangerite	2792	.07877	.21	CS	79
917	2761	11322	33	499000 7605000	I28	PLO	mangerite	2664	.00041	1.02	CS	79
918	2771	11322	33	498250 7601450	I28	PLO	mangerite	2730	.00151	.15	CS	79

SIDE 18  
GEOL. ÅR  
ID.

NR.	PRØVENR.	KARTBL.	UTM-NR.	UTM-KOORD. ØST(m)	UTM-KOORD. NORD(m)	LIT. KODE	STRAT. KODE	BERGARTSNVN	TETTHET KG/M**3	SUSCEPT. SI (lab)	Q-VERDI	GEOL.	ÅR
919	2772	11322	33	498250	7601450	I28	PLO	mangerite	2716	.00049	.24	CS	79
920	28101	11322	33	496200	7626000	M08	PLO	migmatite	2715	.02845	.44	CS	79
921	2811	11322	33	494000	7612000	I28	PLO	mangerite	2817	.07947	.18	CS	79
922	28111	11321	33	496700	7628750	M08	PLO	migmatite	2837	.03107	.74	CS	79
923	28121	11321	33	498550	7630200	M08	PLO	migmatite	2712	.02675	.16	CS	79
924	28131	11321	33	501050	7628550	M08	PLO	migmatite	2747	.04077	.34	CS	79
925	2821	11322	33	494000	7615400	I28	PLO	mangerite	3003	.14356	.88	CS	79
926	2831	11322	33	494400	7615100	I80	PLO	anorthosite	2870	.11192	.45	CS	79
927	2832	11322	33	494400	7615100	I80	PLO	anorthosite	2719	.03406	.33	CS	79
928	2861	11322	33	500500	7618250	M08	PLO	migmatite	2658	.00789	.52	CS	79
929	2862	11322	33	500500	7618250	M08	PLO	migmatite	3249	.13931	.33	CS	79
930	2871	11322	33	489050	7625550	M08	PLO	migmatite	2670	.03902	.34	CS	79
931	2881	11321	33	491400	7626900	M08	PLO	migmatite	2602	.00534	.20	CS	79
932	2891	11321	33	493600	7626750	M08	PLO	migmatite	2803	.03864	.32	CS	79
933	100s6	12323	33	507350	7620700	I55	VGR		2800	.00256	1.47	ET	91
934	101pt6	11321	33	487450	7642000	I28	VGR		2600	.01261	.26	ET	91
935	105moe6	11322	33	487850	7620250	M19	VGR		2620	.01981	.33	ET	91
936	115d4	12322	33	527350	7600250	M02	VGR		2628	.00089	21.85	ET	91
937	11looe6	12322	33	546500	7602950	I02	VGR		2661	.00911	.11	ET	91
938	11t4	12322	33	533610	7608080	I55	VGR		3055	.12856	6.94	ET	91
939	1239	12324	33	506450	7628120	I55	VGR		2958	.00696	.93	ET	91
940	125s6	12323	33	502600	7617330	V20	VGR		3064	.00179	.92	ET	91
941	129oe7	11321	33	499750	7630300	V00	VGR		2587	.00079	.42	ET	91
942	131oe6	12322	33	542600	7609250	I02	VGR		2622	.00019	2.72	ET	91
943	15k4	12322	33	525930	7610500	M02	VGR		2677	.00082	.88	ET	91
944	160oek7	12333	33	507400	7656030	V10	VGR		2827	.01411	1.53	ET	91
945	160pt6	11321	33	500150	7635800	M08	VGR		2844	.04778	.50	ET	91
946	161boe7	11322	33	481040	7618800	I28	VGR		2630	.01479	.16	ET	91
947	162boe7	11322	33	481280	7618660	M19	VGR		2600	.00882	.29	ET	91
948	172d4	12323	33	522520	7602370	V10	VGR		2854	.05895	9.52	ET	91
949	189bø7	11322	33	479450	7619500	M19	VGR		2609	.01989	.27	ET	91
950	191bø7	11322	33	479200	7619650	I28	VGR		2701	.05763	.12	ET	91
951	19v6	12324	33	503000	7650800	M06	VGR		2785	.01161	1.59	ET	91
952	214i4	12323	33	522650	7605840	M02	VGR		2771	.00758	5.32	ET	91
953	23n3	12323	33	515250	7603010	I28	VGR		2774	.14395	.40	ET	91
954	3231	12322	33	547050	7602900	I02	VGR		2647	.00063	.25	ET	91
955	43i2	12322	33	528450	7607600	M02	VGR		2632	.00054	1.01	ET	91
956	44oe7	11322	33	494200	7623500	M08	VGR		2760	.01701	.31	ET	91
957	50m3	12323	33	518700	7603650	I28	VGR		2751	.04874	.69	ET	91
958	55i4	12322	33	530030	7609030	M02	VGR		2611	.00393	8.60	ET	91
959	56i2	12322	33	527280	7604450	M02	VGR		2724	.00066	1.96	ET	91
960	6059	12322	33	531150	7602960	M02	VGR		2668	.00043	.23	ET	91
961	6062	12322	33	531780	7606300	M02	VGR		2656	.00074	.15	ET	91
962	6087	12323	33	501400	7607500	I28	VGR		2689	.00029	.63	ET	91
963	6096	12323	33	504000	7611300	I28	VGR		2674	.00022	1.01	ET	91
964	6110b	12322	33	529580	7610100	M02	VGR		2692	.00083	.13	ET	91
965	6124	11321	33	497400	7633500	M19	VGR		2627	.01950	.12	ET	91
966	62bø7	11322	33	487080	7624800	M19	VGR		2609	.00012	67.63	ET	91
967	63s6	12323	33	508220	7617180	I55	VGR		2797	.04658	12.75	ET	91
968	7304	12323	33	514980	7607900	M08	VGR		2644	.00540	3.06	ET	91
969	7367	12323	33	515900	7610430	M08	VGR		2753	.00973	.62	ET	91
970	7368	12323	33	516030	7610600	I28	VGR		2790	.01896	.26	ET	91
971	7397	12323	33	521110	7603600	V20	VGR		2999	.00185	2.09	ET	91
972	74moe6	11322	33	484030	7619820	V10	VGR		2701	.12859	5.26	ET	91

NR.	PRØVENR.	KARTBL.	UTM- NR.	UTM- SONE	UTM-KOORD. ØST(m)	NORD(m)	LIT. KODE	STRAT. KODE	BERGARTSNVN	TETTHET KG/M³	SUSCEPT. SI (lab)	Q-VERDI	GEOL.	ÅR ID.
973	71oe7	12322	33	547490	7604700	I02	VGR			2629	.00075	2.21	ET	91
974	81m3	12323	33	516110	7609430	M02	VGR			2778	.01462	.51	ET	91
975	8268	12323	33	519250	7609160	V30	VGR			3553	4.94550	.16	ET	91
976	8272	12323	33	523470	7606580	M02	VGR			2658	.01223	.47	ET	91
977	8293	12323	33	521040	7608630	M02	VGR			2702	.03762	1.53	ET	91
978	8294	12323	33	511600	7609900	I28	VGR			2835	.02043	.30	ET	91
979	8336	12323	33	508250	7626320	V10	VGR			2869	.08889	.60	ET	91
980	8541	12324	33	502430	7633500	M06	VGR			2762	.04518	.33	ET	91
981	85s6	12323	33	506840	7618850	M06	VGR			2675	.01026	.63	ET	91
982	88s6	12323	33	507530	7620550	I55	VGR			2843	.01072	1.62	ET	91
983	8pt6	12324	33	503940	7654010	M08	VGR			2728	.04235	.65	ET	91
984	91301	12324	33	506560	7627930	I55	VGR			2884	.01944	2.69	ET	91
985	9158	12324	33	511420	7627110	V25	VGR			2997	.04688	.16	ET	91
986	9167	12323	33	511220	7626700	M02	VGR			2860	.00067	1.26	ET	91
987	9168	12324	33	510930	7626730	M02	VGR			2786	.00046	.74	ET	91
988	91703	12332	33	533800	7678960	V23	VGR			3085	.04644	.25	ET	91
989	91704	12332	33	533580	7679650	M00	VGR			2710	.00041	.47	ET	91
990	91705	12332	33	533480	7676600	M00	VGR			2636	.00006	1.41	ET	91
991	91707	12332	33	530650	7671460	V23	VGR			3045	.00076	.23	ET	91
992	91708	12332	33	526600	7669300	M02	VGR			2694	.00036	.66	ET	91
993	91714a	12333	33	524600	7667420	M02	VGR			2645	.00010	1.05	ET	91
994	91714c	12333	33	524600	7667420	M02	VGR			2676	.00018	1.64	ET	91
995	91718	12333	33	522880	7658680	I55	VGR			2932	.00195	.29	ET	91
996	91719	12332	33	533850	7668300	I02	VGR			2628	.00022	.30	ET	91
997	91723	12332	33	533620	7666100	I55	VGR			2876	.00547	11.28	ET	91
998	9173	12323	33	509920	7626490	M00	VGR			2957	.00051	.56	ET	91
999	91730	12332	33	540800	7682050	I55	VGR			3047	.00129	69.59	ET	91
1000	91732	12332	33	541650	7682550	M00	VGR			2618	.00719	.64	ET	91
1001	91733	12332	33	539900	7682040	M02	VGR			2670	.00207	.23	ET	91
1002	91735	12331	33	539820	7685800	I55	VGR			3394	3.25256	.21	ET	91
1003	91755	12332	33	532300	7657500	M02	VGR			2714	.00035	.91	ET	91
1004	91764	12332	33	526750	7664250	I02	VGR			2628	.00514	.18	ET	91
1005	91767	12324	33	521600	7653600	I02	VGR			2639	.00828	.12	ET	91
1006	91777	12324	33	517310	7643950	M02	VGR			2699	.00036	.22	ET	91
1007	91780	12324	33	517750	7648750	I55	VGR			2718	.03362	.43	ET	91
1008	9182	12323	33	509500	7619550	V20	VGR			2983	.00505	1.79	ET	91
1009	9199	12324	33	506060	7628100	I56	VGR			3101	.00429	2.33	ET	91
1010	9200a	12324	33	507050	7628650	M06	VGR			2935	.12069	.15	ET	91
1011	9200b	12324	33	507050	7628650	M06	VGR			2868	.12087	.16	ET	91
1012	9200c	12324	33	507050	7628650	M06	VGR			2937	.00030	2.34	ET	91
1013	9200d	12324	33	507050	7628650	M06	VGR			2982	.06775	.58	ET	91
1014	9206	12324	33	508050	7628610	M06	VGR			2725	.02113	.42	ET	91
1015	9206a	12324	33	508030	7628560	V23	VGR			3081	.00100	.19	ET	91
1016	9206b	12324	33	508030	7628560	M06	VGR			2760	.00038	1.16	ET	91
1017	9209	12323	33	506080	7623200	I56	VGR			2871	.07107	.35	ET	91
1018	9215	12323	33	507910	7615800	M00	VGR			2626	.00330	.22	ET	91
1019	9224	12323	33	520650	7616430	S11	VGR			2669	.00007	5.90	ET	91
1020	9288	12324	33	513680	7642630	M02	VGR			2851	.00220	.68	ET	91
1021	9290	12324	33	513800	7644750	V23	VGR			3067	.00087	.08	ET	91
1022	9308	12323	33	520050	7607350	M06	VGR			2644	.01617	.72	ET	91
1023	9313	12323	33	521200	7607900	M06	VGR			2707	.03833	1.57	ET	91
1024	9314	12323	33	522180	7608250	M02	VGR			2673	.00355	.34	ET	91
1025	9315	12323	33	523150	7609180	M02	VGR			2777	.08944	.59	ET	91
1026	9322	12323	33	520680	7616350	V10	VGR			2791	.02502	.20	ET	91

## SIDE 20

NR.	PRØVNR.	KARTBL.	UTM-NR.	UTM-SONE	UTM-KOORD. ØST(m)	NORD(m)	LIT.	STRAT.	BERGARTSNAVN	TETTHET KG/M³*3	SUSCEPT. SI (lab)	Q-VERDI	GEOL.	ÅR
							KODE	KODE					ID.	
1027	9336	12324	33	501800	7638510	M08	VGR			2589	.00070	.50	ET	91
1028	9801	12323	33	516630	7623300	I55	VGR			2899	.08726	.19	ET	91
1029	9810a	12323	33	504950	7619420	V10	VGR			2758	.03140	.25	ET	91
1030	9810b	12323	33	504950	7619420	M00	VGR			2705	.06728	.79	ET	91
1031	9820	12323	33	516080	7621880	I02	VGR			2620	.00683	.10	ET	91
1032	9835	12323	33	507340	7619080	I55	VGR			2780	.01848	.30	ET	91
1033	9915	12323	33	509880	7614380	I55	VGR			2787	.00038	1.99	ET	91
1034	9932	12323	33	514750	7622700	V10	VGR			2876	.16115	.08	ET	91
1035	9936	12323	33	513180	7604800	V10	VGR			2741	.02157	4.56	ET	91
1036	9937	12323	33	513400	7603850	V10	VGR			2781	.02601	.92	ET	91
1037	9940	12323	33	509120	7602850	I28	VGR			2791	.02923	.26	ET	91
1038	9964	12323	33	514630	7605820	M06	VGR			2755	.03906	1.13	ET	91
1039	9965	12323	33	509550	7607540	I28	VGR			2721	.04443	.74	ET	91
1040	9968	12323	33	509000	7605300	I28	VGR			2713	.04774	.50	ET	91
1041	9969b	12323	33	510030	7607500	I55	VGR			2999	.19093	.57	ET	91
1042	9985	12323	33	509580	7616500	I55	VGR			2774	.00055	.00	ET	91
1043	9995	12323	33	510440	7617770	I55	VGR			2784	.00541	46.58	ET	91
1044	Gapey	12321	33	538760	7635250	I02	VGR			2617	.00009	1.76	ET	91
1045	X4	12323	33	501000	7618150	I80	VGR			2771	.01583	1.01	ET	91
1046	stø	12333	33	505200	7657030	M08	VGR			2677	.01476	.20	ET	91
1047	v1775	11321	33	498600	7646750	I28	VGR			2674	.03005	.61	ET	91
1048	vikán	11322	33	478500	7620900	M08	VGR			2736	.02608	.22	ET	91
1049	x7	11321	33	497500	7631550	M19	VGR			2610	.01665	.14	ET	91
1050	2000	15341	33	669900	7759710	I80	VGR	anorthositt		2722	.00030	7.02	KBZ	91
1051	2000B	15341	33	669900	7759710	I62	VGR	doleritt		3027	.00086	1.06	KBZ	91
1052	2005	15341	33	667810	7754260	I04	VGR	tonalitt		2638	.00009	5.39	KBZ	91
1053	2042	15344	33	661270	7748620	I04	VGR	tonalittisk gneis		2715	.00018	.00	KBZ	91
1054	2044	15344	33	659670	7747900	I25	VGR	kvartsdioritt		2635	.00006	.00	KBZ	91
1055	2045	15344	33	659390	7747790	I04	VGR	tonalitt		2706	.00013	3.02	KBZ	91
1056	2049	15344	33	657130	7747790	I80	VGR	anortositt		3026	.00029	1.15	KBZ	91
1057	2059	15344	33	652920	7753720	I55	VGR	foliert gabbro		2995	.00070	.52	KBZ	91
1058	2060	15344	33	652020	7754180	I62	VGR	doleritt		3018	.00089	.39	KBZ	91
1059	2080	15344	33	647870	7765790	I04	VGR	stripet tonalitt		2664	.00011	2.91	KBZ	91
1060	2081	15344	33	649310	7766800	I62	VGR	doleritt		2912	.00068	.57	KBZ	91
1061	2082	15344	33	654520	7749610	I55	VGR	foliert gabbro		3048	.01003	.34	KBZ	91
1062	2088	15344	33	652210	7752150	M02	VGR	foliert gneis		2722	.00029	.83	KBZ	91
1063	2090	15352	33	667110	7772640	I04	VGR	tonalitt		2647	.00018	2.08	KBZ	91
1064	2091	15352	33	667320	7773700	I04	VGR	tonal. migmatitt		2643	.00005	3.72	KBZ	91
1065	2092	15352	33	667480	7773850	I04	VGR	tonal. migmatitt		2682	.00010	6.60	KBZ	91
1066	2095	15352	33	664260	7773320	I04	VGR	tonal. migmatitt		2785	.00046	.38	KBZ	91
1067	2096	15352	33	663830	7773730	I04	VGR	tonal. migmatitt		2688	.00017	2.68	KBZ	91
1068	2097	15352	33	664060	7774120	I04	VGR	tonal. migmatitt		2709	.00016	1.53	KBZ	91
1069	2099	15352	33	664100	7774440	I04	VGR	tonal. migmatitt		2743	.00025	1.15	KBZ	91
1070	2100	15352	33	663690	7774880	I04	VGR	tonal. migmatitt		2720	.00023	1.37	KBZ	91
1071	2102	15352	33	663470	7775130	I04	VGR	tonal. migmatitt		2692	.00558	.04	KBZ	91
1072	2106	15352	33	662570	7775770	I04	VGR	tonal. migmatitt		2702	.00019	1.06	KBZ	91
1073	2110A	15344	33	651790	7752200	I04	VGR	tonal. gneis		2663	.00006	8.45	KBZ	91
1074	2110C	15344	33	651790	7752200	I55	VGR	gabbrogneis		2992	.00085	.39	KBZ	91
1075	2110F	15344	33	651790	7752200	I25	VGR	kvartsdioritt		2834	.11451	.03	KBZ	91
1076	2110G	15344	33	651790	7752200	I55	VGR	gabbro		3042	.17790	.09	KBZ	91
1077	2110H	15344	33	651790	7752200	I25	VGR	kvartsdioritt		2742	.00079	1.09	KBZ	91
1078	2110J	15344	33	651790	7752200	I62	VGR	mylon. doleritt		3114	.12872	.08	KBZ	91
1079	2112	15344	33	651350	7751910	I80	VGR	anorthositt		2863	.00020	1.33	KBZ	91
1080	2113A	15344	33	651320	7751900	I55	VGR	foliert gabbro		2893	.00089	.16	KBZ	91

NR.	PRØVENR.	KARTBL.	UTM-NR.	UTM-SONE	UTM-KOORD. ØST(m)	UTM-KOORD. NORD(m)	LIT. KODE	STRAT. KODE	BERGARTSNAVN	TETTHET KG/M³	SUSCEPT. SI (lab)	Q-VERDI	GEOL.	ÅR ID.
1081	2113B	15344	33	651320	7751900	M02	VGR		granodior. gneis	2758	.00028	.50	KBZ	91
1082	2113C	15344	33	651320	7751900	I04	VGR		foliert tonalitt	2634	.00011	5.10	KBZ	91
1083	2113D	15344	33	651320	7751900	I25	VGR		kvartsdioritt	2775	.00042	.59	KBZ	91
1084	2113E	15344	33	651320	7751900	I04	VGR		foliert tonalitt	2699	.00021	1.19	KBZ	91
1085	2114	15344	33	651040	7751620	I04	VGR		foliert tonalitt	2679	.00006	5.28	KBZ	91
1086	2117	15344	33	650130	7752010	I55	VGR		foliert gabbro	3124	.00120	.29	KBZ	91
1087	2118	15344	33	650110	7752100	S24	VGR		skifergneis	2736	.00128	1.86	KBZ	91
1088	2119	15344	33	649930	7752260	I80	VGR		anortositt	2820	.00142	1.15	KBZ	91
1089	2120	15344	33	649450	7752410	M02	VGR		granodior. gneis	2827	.00095	1.20	KBZ	91
1090	2120A	15344	33	649450	7752410	I80	VGR		anorthositgang	2670	.00043	1.53	KBZ	91
1091	2123	15344	33	648290	7753280	I13	VGR		pegmatitt	2659	.00006	5.20	KBZ	91
1092	2125	15344	33	647030	7753080	M04	VGR		glimmergneis	2820	.00069	1.03	KBZ	91
1093	2125A	15344	33	647030	7753080	I13	VGR		pegmatitt	2685	.00007	21.89	KBZ	91
1094	2135	15344	33	655630	7747440	I55	VGR		gabbro	3024	.00067	.27	KBZ	91
1095	2137A	15344	33	655900	7747020	M05	VGR		amfib. gneis	2903	.00153	.89	KBZ	91
1096	2137B	15344	33	655900	7747020	I04	VGR		tonalittisk gneis	2731	.00057	.58	KBZ	91
1097	2140A	15344	33	656400	7745950	M04	VGR		foliert bi. gneis	2828	.00048	.38	KBZ	91
1098	2140B	15344	33	656400	7745950	M05	VGR		foliert hb. gneis	3046	.00083	.29	KBZ	91
1099	2141	15344	33	655930	7744340	I04	VGR		tonalittisk gneis	2734	.00013	.00	KBZ	91
1100	2142	15344	33	649180	7743570	I04	VGR		tonalittisk gneis	2678	.00003	4.45	KBZ	91
1101	2143B	15344	33	648800	7744270	I04	VGR		stripet gneis	2774	.00020	1.17	KBZ	91
1102	2143D	15344	33	648800	7744270	M05	VGR		foliert hb. gneis	2971	.00066	.35	KBZ	91
1103	2144A	15344	33	648650	7746720	I02	VGR		r. d. granitt	2629	.00039	.00	KBZ	91
1104	2145	15344	33	645530	7746660	I02	VGR		klorittisert granitt	2662	.00022	1.87	KBZ	91
1105	2146A	15344	33	645600	7746890	I02	VGR		bi.-rik grå granitt	2713	.00433	.57	KBZ	91
1106	2179	15353	33	645380	7774730	I04	VGR		biotittgneis	2721	.00024	2.15	KBZ	91
1107	2180	15353	33	645140	7774540	I04	VGR		biotittgneis	2660	.00028	.42	KBZ	91
1108	2182	15353	33	643380	7773610	M05	VGR		hornblende gneis	2826	.00036	.50	KBZ	91
1109	2188	15353	33	649820	7777680	S11	VGR		rustkvartsitt	2526	.00007	8.35	KBZ	91
1110	2189	15353	33	649570	7777740	M16	VGR		hornblendeskifer	3029	.00100	.88	KBZ	91
1111	2189A	15353	33	649570	7777740	S11	VGR		rustkvartsitt	2609	.00010	7.12	KBZ	91
1112	2190	15353	33	649220	7777300	S24	VGR		semipelitt	2770	.00041	.95	KBZ	91
1113	2192A	15353	33	649240	7776700	I04	VGR		hvit tonalitt	2610	.00006	11.79	KBZ	91
1114	2194	15353	33	649510	7776500	I04	VGR		hvit tonalitt	2761	.00020	2.96	KBZ	91
1115	2211A	15353	33	657330	777920	I04	VGR		tonalitt	2701	.02473	.29	KBZ	91
1116	2229	15352	33	667770	7787380	I55	VGR		gabbro	3022	.00110	.33	KBZ	91
1117	2230A	15352	33	667790	7787620	I04	VGR		tonalitt	2620	.00003	12.09	KBZ	91
1118	2232	15352	33	668140	7787570	I04	VGR		tonalitt	2647	.00003	15.79	KBZ	91
1119	2238	15352	33	668520	7786260	I55	VGR		gabbro	2941	.00083	1.25	KBZ	91
1120	2238A	15352	33	668520	7786260	I04	VGR		tonalitt	2683	.00021	2.08	KBZ	91
1121	3290A	15353	33	655330	7797910	I62	VGR		doleritt	2993	.00082	.89	KBZ	91
1122	3290B	15353	33	655330	7797910	I04	VGR		tonalittisk gneis	2659	.00017	1.91	KBZ	91
1123	3294	15351	33	658130	7800340	I04	VGR		tonalittisk gneis	2676	.00032	1.26	KBZ	91
1124	3368	15353	33	645500	7771910	M06	VGR		båndet gneis	2681	.00025	1.86	KBZ	91
1125	3370	15353	33	647320	7773660	M04	VGR		mylonittisk gneis	2639	.00019	2.07	KBZ	91
1126	3430A	15353	33	653570	7777380	I41	VGR		nefelin syenitt	2646	.00505	.14	KBZ	91
1127	3430B	15353	33	653570	7777380	I41	VGR		nefelin syenitt	2706	.02628	.12	KBZ	91
1128	3462	15353	33	655380	7784380	I04	VGR		tonalitt	2684	.00006	7.15	KBZ	91
1129	3466	15352	33	660060	7786130	I04	VGR		tonalittisk gneis	2672	.00011	1.52	KBZ	91
1130	3475B	15353	33	653830	7776530	S24	VGR		metapelitt	2889	.00046	.75	KBZ	91
1131	3476G2	15353	33	653670	7776640	M04	VGR		mylonitt	2643	.00029	1.63	KBZ	91
1132	3480A	15353	33	657440	7779610	M04	VGR		skjærsonegneis	2676	.00003	16.23	KBZ	91
1133	3487	15353	33	644390	7779020	M04	VGR		mylonittisk gneis	2690	.00026	1.63	KBZ	91
1134	3488A	15353	33	644340	7779190	M06	VGR		båndet gneis	2883	.00094	.92	KBZ	91

SIDE 22  
GEOL. ÅR  
ID.

NR.	PRØVENR.	KARTBL.	UTM-	UTM-KOORD.	LIT.	STRAT.	BERGARTSNAVN	TETTHET	SUSCEPT.	Q-VERDI	GEOL.	ÅR
		NR.	SONE	ØST(m) NORD(m)	KODE	KODE		KG/M**3	SI (lab)		ID.	
1135	3494	15353	33	644250 7783460	I04	VGR	gneistonalitt	2662	.00009	3.70	KBZ	91
1136	3500	14341	33	634760 7766970	S11	VGR	kvartsitt	2644	.00004	10.65	KBZ	91
1137	3500B	14341	33	634760 7766970	I13	VGR	pegmatitt	2659	.00003	17.18	KBZ	91
1138	3508A	14352	33	633630 7781790	I02	VGR	gneisgranitt	2662	.03154	.06	KBZ	91
1139	3512	15341	33	665320 7750450	I04	VGR	gneistonalitt	2709	.00185	.42	KBZ	91
1140	3517	15344	33	656510 7748570	I80	VGR	anortositt	2838	.00066	1.51	KBZ	91
1141	3525A	16353	33	684030 7779440	I04	VGR	tonalitt	2631	.00020	1.32	KBZ	91
1142	3525B	16353	33	684030 7779440	I04	VGR	gneistonalitt	2715	.00031	.72	KBZ	91
1143	3535	16353	33	689870 7782320	V22	VGR	grønnstein	2867	.00025	2.64	KBZ	91
1144	3537	16353	33	690210 7783240	I30	VGR	dioritt	3058	.01520	.12	KBZ	91
1145	3539B	16353	33	691910 7787010	I04	VGR	tonalittisk gneis	2745	.00015	2.08	KBZ	91
1146	3539C	16353	33	691910 7787010	I04	VGR	tonalittisk gneis	2664	.00010	.00	KBZ	91
1147	3550	15353	33	651390 7779530	I04	VGR	tonalitt	2739	.00026	5.19	KBZ	91
1148	3554	15353	33	650020 7777110	M04	VGR	mylonittisk gneis	2654	.00018	1.47	KBZ	91
1149	3558	15353	33	648480 7775580	I04	VGR	tonalitt	2712	.00010	2.73	KBZ	91
1150	3566	15353	33	644770 7774360	M06	VGR	båndet gneis	2687	.00021	1.20	KBZ	91
1151	3577	15353	33	642600 7774270	M06	VGR	båndet gneis	2750	.00016	.00	KBZ	91
1152	3578	15353	33	642300 7774400	I04	VGR	tonalittisk gneis	2654	.00000	-99.99	KBZ	91
1153	3582	15353	33	641640 7773740	I04	VGR	tonalittisk gneis	2626	.00007	11.80	KBZ	91
1154	3585A	15353	33	653420 7777770	M04	VGR	glimmergneis	2788	.00037	1.35	KBZ	91
1155	3585B	15353	33	653420 7777770	I04	VGR	tonalitt	2621	.00014	3.72	KBZ	91
1156	1002a	14323	33	618000 7603300	S13	RAU	sandstein	2624	.00002	8.99	00	91
1157	1002b	14323	33	618000 7603300	S22	RAU	leirskifer	2791	.00023	.37	00	91
1158	1002c	14323	33	618000 7603300	S22	RAU	leirskifer	2806	.00046	.32	00	91
1159	1003	14323	33	614600 7602050	I02	ABI	granitt	2593	.00007	.00	00	91
1160	1021	13323	33	554000 7606700	I02	LØD	granitt	2723	.06314	.11	00	91
1161	1022a	13323	33	563400 7613200	M00	ABI	gneis	2669	.00254	.13	00	91
1162	1022b	13323	33	563400 7613200	S44	SLG	dolomittmarmor	2695	.00003	3.61	00	91
1163	1024a	13322	33	580300 7602200	S24	SLG	granatglimmerskifer	2866	.00040	.00	00	91
1164	1024b	13322	33	580300 7602200	S24	SLG	granatglimmerskifer	2822	.00041	.66	00	91
1165	1025a	14323	33	603000 7606000	S44	SLG	dolomittmarmor	2699	.00001	13.34	00	91
1166	1025b	14323	33	603000 7606000	S20	SLG	skifer	2742	.00649	.11	00	91
1167	1025c	14323	33	603000 7606000	S20	SLG	skifer	2730	.00014	1.28	00	91
1168	1025d	14323	33	603000 7606000	S11	SLG	kvartsitt	2640	.00001	6.58	00	91
1169	1026a	14323	33	609650 7618350	M00	NDE	gneis	2644	.00014	1.33	00	91
1170	1026b	14323	33	609650 7618350	M00	NDE	gneis	2699	.00012	1.51	00	91
1171	1027a	14323	33	598100 7625300	S24	NII	granatglimmerskifer	2857	.00038	.26	00	91
1172	1027b	14323	33	598100 7625300	S24	NII	granatglimmerskifer	2850	.00040	.00	00	91
1173	1027c	14323	33	598100 7625300	S24	NII	granatglimmerskifer	2851	.00043	.28	00	91
1174	1028a	14323	33	610250 7618800	S24	NDE	granatglimmerskifer	2896	.00038	.43	00	91
1175	1028b	14323	33	610250 7618800	S24	NDE	granatglimmerskifer	2547	.00035	.21	00	91
1176	1029a	14332	33	642970 7674730	S24	MAU	glimmerskifer	2749	.00014	.73	00	91
1177	1029b	14332	33	642970 7674730	V23	MAU	amfibolitt	3080	.00094	.10	00	91
1178	1030a	15333	33	647410 7673000	S13	MÅL	metasandstein	2718	.00010	1.32	00	91
1179	1030b	15333	33	647410 7673000	S13	MÅL	metasandstein	2738	.00024	5.35	00	91
1180	1031a	15333	33	655610 7672350	S13	MÅL	metasandstein	2645	.00001	12.67	00	91
1181	1031b	15333	33	655610 7672350	V23	SEN	amfibolitt	3073	.00083	.25	00	91
1182	1032a	15333	33	660760 7675270	M15	NRD	kalksilikatgneis	3077	.00029	.78	00	91
1183	1032b	15333	33	660760 7675270	M15	NRD	kalksilikatgneis	2873	.00027	.54	00	91
1184	1033a	15333	33	660950 7675340	M00	NRD	gneis	2811	.00056	1.09	00	91
1185	1033b	15333	33	660950 7675340	M00	NRD	gneis	2807	.00032	.65	00	91
1186	1034a	15333	33	661080 7678110	S24	NRD	glimmerskifer	2698	.00008	2.43	00	91
1187	1034b	15333	33	661080 7678110	V23	LYN	amfibolitt	3006	.00146	1.40	00	91
1188	1035a	15333	33	661860 7682410	S44	LYN	dolomittmarmor	2852	.00001	23.46	00	91

NR.	PRØVENR.	KARTBL.	UTM- NR	UTM-KOORD. ØST(m)	UTM-KOORD. NORD(m)	LIT. KODE	STRAT. KODE	BERGARTSNAVN	TETTHET KG/M**3	SUSCEPT. SI (lab)	Q-VERDI	GEOL. ID.	ÅR
1189	1035b	15333	33	661860	7682410	S44	LYN	dolomittmarmor	2840	.00004	6.85	00	91
1190	1036a	15332	33	667520	7681560	S00	LYN	konglomerat	2769	.00027	4.00	00	91
1191	1036b	15332	33	667520	7681560	S00	LYN	konglomerat	2686	.00009	14.11	00	91
1192	1037a	15333	33	663130	7682790	S44	LYN	dolomittmarmor	2818	.00002	5.74	00	91
1193	1037b	15333	33	663130	7682790	S44	LYN	dolomittmarmor	2784	.00003	12.71	00	91
1194	1038a	15343	33	652120	7729390	M00	TRO	gneis	2734	.00000	-99.99	00	91
1195	1038b	15343	33	652120	7729390	M00	TRO	gneis	2759	.00001	19.29	00	91
1196	1039a	15343	33	655470	7737160	M00	TRO	gneis	3137	.00542	.39	00	91
1197	1039b	15343	33	655470	7737160	M00	TRO	gneis	2843	.00044	.49	00	91
1198	1040a	16343	33	687000	7734440	S23	LYN	fyllitt	2691	.00028	1.65	00	91
1199	1040b	16343	33	687000	7734440	S23	LYN	fyllitt	2787	.00041	1.41	00	91
1200	1041a	16334	33	701910	7711680	S46	NRD	marmor	2932	.00000	-99.99	00	91
1201	1041b	16334	33	701910	7711680	M00	NRD	gneis	2685	.00008	.00	00	91
1202	1041c	16334	33	701910	7711680	M00	NRD	gneis	2678	.00014	.55	00	91
1203	1042a	16331	33	714680	7696250	M00	KPG	gneis	2792	.00042	.40	00	91
1204	1042b	16331	33	714680	7696250	M00	KPG	gneis	2890	.00051	.18	00	91
1205	234a	14323	33	604900	7603500	M00	NDE	granatkyanittgneis	2902	.00044	.00	RB	91
1206	235b	14323	33	604800	7603850	M00	NDE	granatgneis	3001	.00072	.17	RB	91